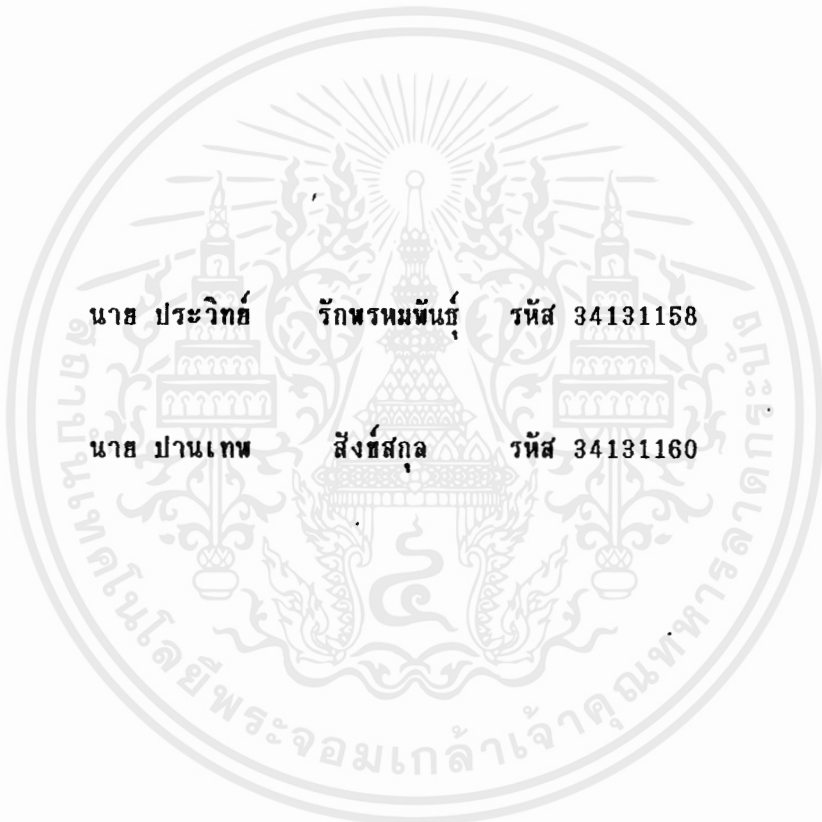




เครื่องทดสอบเพาเวอร์ซัพพลายอัตโนมัติ

AUTOMATIC POWER SUPPLY TESTER



นาย ประวิทย์ รักพรหมพันธ์ รหัส 34131158

นาย ปานเทพ สังข์สกุล รหัส 34131160

ปริญญานิพนธ์นี้เป็นส่วนหนึ่งของการศึกษา

ตามหลักสูตรอุตสาหกรรมศาสตรบัณฑิต

ภาควิชาเทคโนโลยีอุตสาหกรรม คณะวิศวกรรมศาสตร์

สถาบันเทคโนโลยีพระจอมเกล้าเจ้าคุณทหารลาดกระบัง

ปีการศึกษา 2535

เอกสารนี้เป็นเอกสารที่สงวนไว้สำหรับการใช้งานเพื่อการศึกษาเท่านั้น ไม่อนุญาตให้นำไปใช้ประโยชน์ด้านการค้า  
ไม่ว่ากรณีใดๆ ทั้งสิ้น อีกทั้งห้ามมิให้ดัดแปลงเนื้อหาและต้องอ้างอิงถึงเจ้าของเอกสารทุกครั้งที่มีการนำไปใช้

032615

เครื่องทดสอบเพาเวอร์ซัพพลายอัตโนมัติ  
AUTOMATIC POWER SUPPLY TESTER

ได้รับอนุมัติให้เป็นส่วนหนึ่งของการศึกษาตามหลักสูตรอุตสาหกรรมศาสตรบัณฑิต  
ปีการศึกษา 2535

คณะวิศวกรรมศาสตร์ ภาควิชาเทคโนโลยีอุตสาหกรรม สาขาวิชาเทคโนโลยีอิเล็กทรอนิกส์  
สถาบันเทคโนโลยีพระจอมเกล้า เจ้าคุณทหารลาดกระบัง

คณะกรรมการตรวจปริญญาบัณฑิต

..... ประธานกรรมการ  
(.....)

..... กรรมการ  
(..... นฤตกร วัฒนทรัพย์)

..... กรรมการ  
(.....)

..... กรรมการ  
(.....)

..... กรรมการ  
(.....)

เอกสารนี้เป็นเอกสารที่สงวนไว้สำหรับการใช้งานเพื่อการศึกษาเท่านั้น ไม่อนุญาตให้นำไปใช้ประโยชน์ด้านการค้า  
ไม่ว่ากรณีใดๆ ทั้งสิ้น อีกทั้งห้ามมิให้ดัดแปลงเนื้อหาและต้องอ้างอิงถึงเจ้าของเอกสารทุกครั้งที่มีการนำไปใช้

AUTOMATIC POWER SUPPLY TESTER

นายปานเทพ สิงห์สกุล 34131160

นายประวิทย์ รักพรหมพันธุ์ 34131158

อาจารย์ที่ปรึกษา

อาจารย์ ผศ.ดร.กนก เจนจิระพงศ์เวช

อาจารย์ ประภากร สุวรรณะ

บทคัดย่อ

ปัจจุบันอุปกรณ์ทางอิเล็กทรอนิกส์ถูกสร้างขึ้นมากมาย แต่มีอุปกรณ์อย่างหนึ่งที่จำเป็นต้องใช้ในวงการอิเล็กทรอนิกส์คือ POWER SUPPLY โดยที่ศึกษาไฟฟ้าส่วนใหญ่ นิยมใช้ REGULATED IC และ POWER SUPPLY เนื่องจากมีการใช้งานอย่างกว้างขวาง ดังนั้น จึงต้องมีอุปกรณ์ที่ใช้ทดสอบประสิทธิภาพในการทำงานในโรงงานผลิต

ปรักฎานิพนธ์ฉบับนี้ได้นำเสนอโครงการเกี่ยวกับเครื่องมือตรวจสอบ POWER SUPPLY ในที่นี้ใช้ชื่อว่า AUTOMATIC POWER SUPPLY TESTER ซึ่งเป็นอุปกรณ์ตรวจสอบ POWER SUPPLY และ REGULATED IC ว่าสามารถจ่ายกระแสไฟฟ้าตามที่เราต้องการหรือไม่ ซึ่งการตรวจสอบจะมีการตรวจสอบอยู่ 2 ลักษณะ คือ เมื่อจ่ายกระแส เป็น CONTINUOUS CURRENT และ PULSE CURRENT ซึ่งในโครงการนี้จะใช้ PC (PERSONAL COMPUTER) มาใช้เป็นตัวควบคุมการทำงาน (CONTROL) ของเครื่องที่ใช้ตรวจสอบและแสดงผลการทำตรวจสอบที่จอเครื่อง PC (MONITORING) ซึ่งจะทำการจ่ายต่อการตรวจสอบ

# AUTOMATIC POWER SUPPLY TESTER

Mr. PARNTAPE      SANGSAKUN      34131160

Mr. PRAVIT      LUXPHOMPHAM      34131158

## ADVISOR

Dr. KANOK      JANCHITRAPONGVEJ

Mr. PRAPAKORN      SUWANNA

## ABSTRACT

In this day, many of electronic equipments are made. But a part that is necessary is power supply or voltage source which is always a regulated IC and power supply. Because of many using of power supply or regulate IC so there must have an equipment that using to test the efficient.

This thesis present a project, name AUTOMATIC POWER SUPPLY TESTER, which is used for tester current that can provide. In this a project use personal computer for control and display thus it easy for testing.

เอกสารนี้เป็นเอกสารที่สงวนไว้สำหรับการใช้งานเพื่อการศึกษาเท่านั้น ไม่อนุญาตให้นำไปใช้ประโยชน์ด้านการค้า  
ไม่ว่ากรณีใดๆ ทั้งสิ้น อีกทั้งห้ามมิให้ดัดแปลงเนื้อหาและต้องอ้างอิงถึงเจ้าของเอกสารทุกครั้งที่มีการนำไปใช้

## สารบัญ

บทที่ 1	บทนำ.....	1
บทที่ 2	หลักการของเครื่อง AUTOMATIC POWER SUPPLY TESTER.....	2
	2.1 หลักการทำงานของมอสเฟต (MOSFET).....	2
	2.2 หลักการ DRIVE POWER MOSFET.....	10
	2.3 หลักการของ TL494 ตัวกำเนิดพัลส์.....	11
	2.4 หลักการและการออกแบบ LF398.....	14
	2.5 PROCESS CONTROL SYSTEM.....	15
	2.6 การจัดโครงสร้างบนไมโครคอมพิวเตอร์.....	16
	2.7 8255 พอร์ทแบบขนานที่โปรแกรมได้.....	20
บทที่ 3	การออกแบบเครื่อง AUTOMATIC POWER SUPPLY TESTER.....	28
	3.1 ส่วนดึงกระแสไฟฟ้าคงที่ (CONTINUOUS CURRENT SINK).....	28
	3.2 ส่วนควบคุมและับรีเลย์ (RELAY CONTROL).....	31
	3.3 ส่วนดึงกระแสไฟฟ้าชั่วขณะ (PLUSE CURRENT SINK).....	33
	3.4 การ INTERFACE.....	40
บทที่ 4	การทดลองและผลการทดลอง.....	50
บทที่ 5	วิจารณ์และสรุปผล.....	51
ภาคผนวก	คุณสมบัติและการทำงานของเครื่อง AUTOMATIC POWER SUPPLY TESTER... คุณสมบัติทั่วไป (SPECIFICATION).....	52 52
	การทำงานของเครื่อง AUTOMATIC POWER SUPPLY TESTER.....	53
	กิตติกรรมประกาศ.....	59
	หนังสืออ้างอิง.....	60

# บทที่ 1

## บทนำ

เครื่องตรวจสอบ POWER SUPPLY (AUTOMATIC POWER SUPPLY TESTER) เป็นเครื่องที่ใช้ในการตรวจสอบ POWER SUPPLY หรือ REGULATED IC ว่าสามารถจ่ายกระแสไฟฟ้าได้ตาม SPEC หรือไม่ โดยสามารถตรวจสอบได้ 2 ลักษณะ คือ

1. กระแสไฟฟ้าคงที่ (CONTINUOUS CURRENT)

2. กระแสไฟฟ้าชั่วขณะ (PULSE CURRENT) ซึ่งสามารถเลือกความถี่ได้ 4 ความถี่ คือ 1 KHz, 10KHz, 50KHz และ 100 KHz และสามารถปรับค่าความกว้างของพัลส์ (DUTY CYCLE) คือ 50%, 45%, 40%, 35%, 30%, 25%, 20% และ 15%

เครื่องตรวจสอบ POWER SUPPLY นี้ใช้หลักการของวงจรแปลงค่าศักดาไฟฟ้าเป็นกระแสไฟฟ้า (VOLTAGE TO CURRENT CONVERTER) ซึ่งเอาท์พุทจะเป็น SINK CURRENT คือจะเป็นการดึงกระแสไฟฟ้าจาก POWER SUPPLY หรือ REGULATED IC ที่จะทำการตรวจสอบโดยจะมีตัวช่วยดึงกระแสไฟฟ้าในโครงการนี้ใช้ POWER MOSFET ในการดึงกระแสไฟฟ้าคงที่ และดึงกระแสไฟฟ้าชั่วขณะ

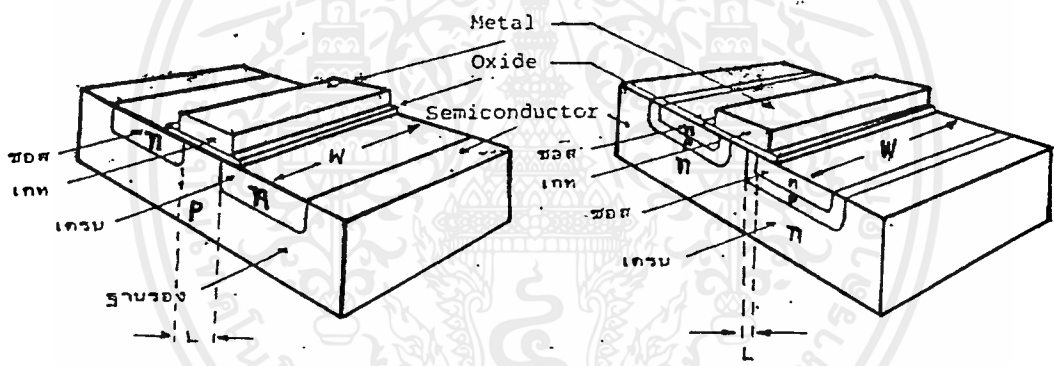
ในการตรวจสอบกระแสไฟฟ้าที่ POWER SUPPLY หรือ REGULATED IC สามารถจ่ายได้นั้นอาจใช้โพลความต้านทานที่มีค่าความต้านทานน้อยๆหลายๆ วัดต่อมาเป็นโพลแล้ววัดกระแสไฟฟ้าที่จ่ายออกมาว่าได้ตาม SPEC หรือไม่ แต่วิธีนี้มีข้อจำกัดคือ เมื่อเปลี่ยนค่าศักดาไฟฟ้าที่ POWER SUPPLY หรือเปลี่ยนค่ากระแสไฟฟ้าที่ต้องการจะตรวจสอบก็จะต้องทำการเปลี่ยนค่าความต้านทานของโพลความต้านทานด้วย ซึ่งจะเป็นการไม่สะดวกและการใช้โพลความต้านทานก็ไม่สามารถตรวจสอบกระแสไฟฟ้าชั่วขณะที่ POWER SUPPLY สามารถจ่ายได้

## บทที่ 2

### หลักการของเครื่อง AUTOMATIC POWER SUPPLY TESTER

#### 2.1 หลักการทำงานของมอสเฟต ( MOSFET )

ในอดีตอุปกรณ์ประเภทกำลังส่วนมากจะเป็นอุปกรณ์ประเภทไบโพลาร์ได้แก่ ไบโพลาร์ทรานซิสเตอร์, SCRs , triacs เป็นต้น เทคโนโลยีของมอสเฟตยังคงจำกัด อยู่ที่โวลต์เตจและกระแสต่ำอยู่ อย่างไรก็ตามปัจจุบันอุปกรณ์กำลังที่นิยมใช้ได้มีการเปลี่ยนรูปโฉมไป



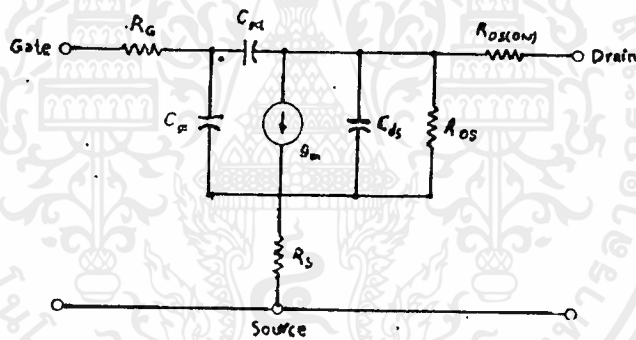
(ก) มอสเฟตธรรมดา

(ข) มอสเฟตชนิดดีมอส

รูปที่ 2.1

จากรูปที่ 2.1 (ข) จะเห็นได้ว่า คีมอสเป็นมอสเฟตที่ต้องมีการแพร์ส่ารเจือ 2 ครั้ง เช่นเดียวกับไบโพลาร์ทรานซิสเตอร์ กระแสที่ไหลในคีมอสจะไหลทั้งในแวนดิ่งและแวนอน ซึ่งต่างจากมอสเฟตธรรมดาที่มีกระแสไหลในแวนอนเท่านั้น ทำให้คีมอสทนกำลังสูงๆ ได้

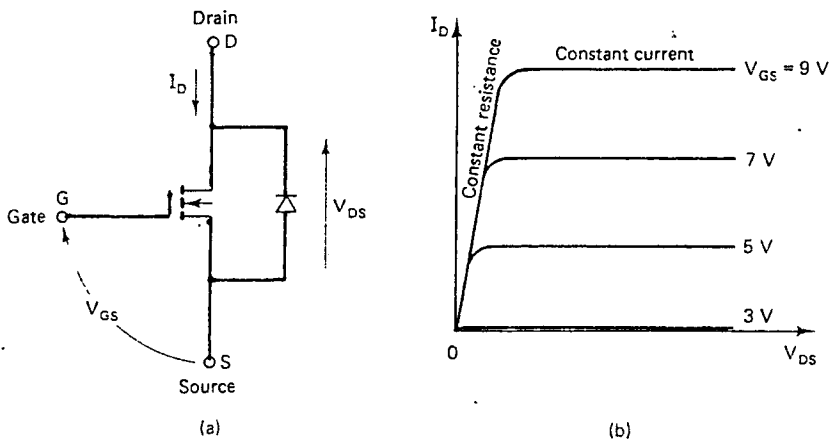
การใช้งานของคีมอสที่พบบ่อย ๆ ได้แก่ การใช้งานเป็นสวิตช์และการใช้ในวงจรขยาย ในการใช้งานเป็นสวิตช์จะเกิดพลังงานสูญเสียไม่มากนักแต่ในการนำไปใช้งานในวงจรขยายจะมีการสูญเสียพลังงานสูงมาก ดังนั้นจึงต้องคำนึงถึงขอบเขตความปลอดภัย(SOA) ของคีมอสด้วย การใช้งานวงจรสมมูลของคีมอส อธิบายการทำงานและปรากฏการณ์ที่เกิดขึ้นนั้น จะพบว่าวงจรสมมูลที่ใช้จะมีลักษณะที่แตกต่างกันออกไปตามการใช้งานไม่มีวงจรสมมูลใดที่สามารถอธิบายการทำงานได้หมด ถึงจะมีก็จะต้องมีความซับซ้อนมากหากต้องการเข้าใจ วงจรสมมูลแบบง่าย ๆ ของคีมอสสามารถแสดงได้ดังรูปที่ 2.2



รูปที่ 2.2 วงจรสมมูลแบบง่าย ๆ ของคีมอส

### 2.1.1 คุณสมบัติทางเข้าที่พุก

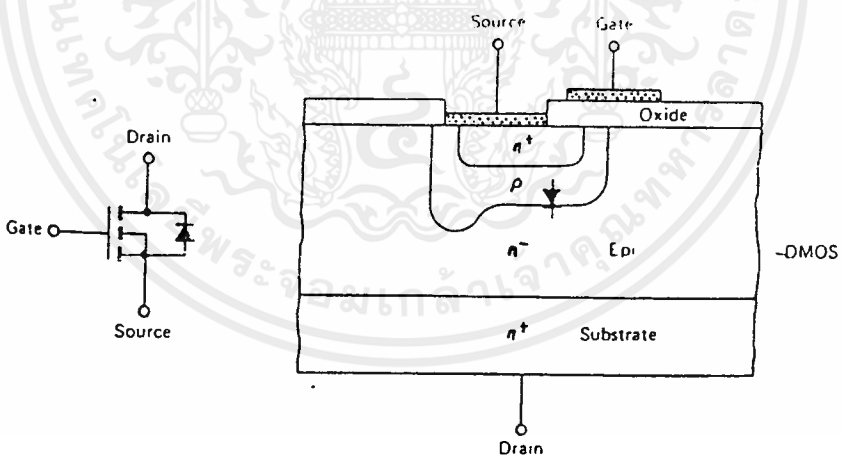
คุณสมบัติทางเข้าที่พุกจะให้ข้อมูลที่สำคัญกับเรามากมาย คุณสมบัติดังกล่าวจะพิจารณาความสัมพันธ์ ระหว่างกระแสเดรนและศักดาที่เดรนสามารถแสดงความสัมพันธ์ได้ ดังรูปที่ 2.3 ขณะศักดาที่เดรนมีค่าต่ำๆ กระแสเดรนจะแปรผันตามศักดาที่เดรน เรียกว่า ช่วงเชิงเส้นส่วนช่วงที่กระแสเดรนมีค่าค่อนข้างคงที่ไม่แปรผันตามศักดาที่เดรนจะเรียกว่าช่วงอิ่มตัว



รูปที่ 2.3 กราฟคุณสมบัติของดีมอส

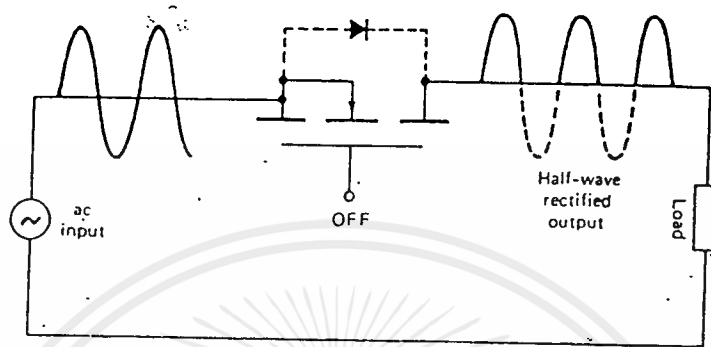
2.1.2 ลักษณะแ่งในดีมอส

ไดโอดแ่ง ไดโอดแ่งได้รับการไบอัสตรง กระแสจะสามารถไหลผ่านรอยต่อนี้ได้อย่างมากมาย แต่ถ้าศักดาไบอัสกลับขั้วอย่างทันทีทันใดจะทำให้ไดโอดได้รับการไบอัสย้อนกลับ มีผลทำให้ประจุพาหะที่บริเวณรอยต่อถูกกวาดออกจากบริเวณปลอดพาหะเวลาที่ใช้ในการกวาดประจุพาหะนี้จะมีผลสำคัญต่อการทำงานของดีมอส



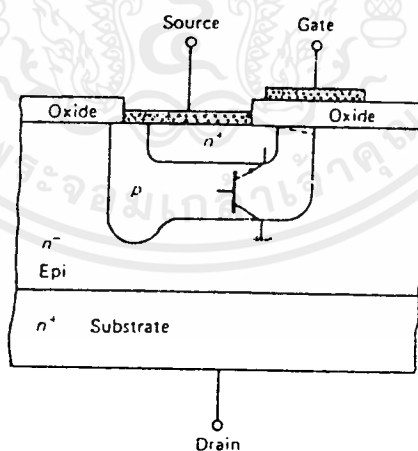
รูปที่ 2.4 ไดโอดแ่งในดีมอส

ปัญหาอีกอย่างหนึ่งของไดโอดแฝงในดีมอส คือ เมื่อเราใช้ดีมอสเป็นอนาล็อก สวิตช์ ( analog switch ) จะทำให้ดีมอสแสดงคุณสมบัติของการเรกติไฟเออร์ ( Rectified ) ดังแสดงในรูปที่ 2.5 ทำให้ดีมอสไม่ได้แสดงคุณสมบัติของการสวิตช์ อย่างแท้จริง



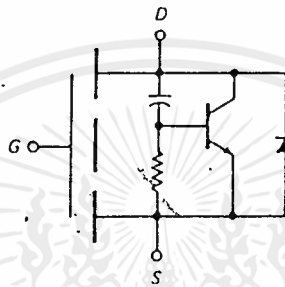
รูปที่ 2.5 ผลกระทบของไดโอดแฝง

ทรานซิสเตอร์แฝง ในเอ็นแชนแนลดีมอสจะพบว่าทรานซิสเตอร์แฝงเป็น NPN ทรานซิสเตอร์ ส่วนในพีแชนแนลดีมอสจะมีทรานซิสเตอร์แฝงเป็น PNP ทรานซิสเตอร์ ในรูปที่ 2.6 แสดงให้เห็นทรานซิสเตอร์แฝงดังกล่าว



รูปที่ 2.6 ทรานซิสเตอร์แฝงในดีมอส

ทรานซิสเตอร์แฉงดังกล่าวจะต่ออยู่ในลักษณะขนานกับดีมอส เพื่อลดผลกระทบของทรานซิสเตอร์แฉงดังกล่าวจึงมีการชื้อระหว่างหัวซอสกับบอดี อย่างไรก็ตามผลของทรานซิสเตอร์แฉงดังกล่าวยังไม่หมดไปเลยที่เดียว ดังนั้นในการใช้งานดีมอส จึงควรระมัดระวังผลดังกล่าวด้วย จากที่กล่าวมาจะสามารถแสดงวงจรสมมูลย์ของดีมอสได้ดังรูปที่ 2.7

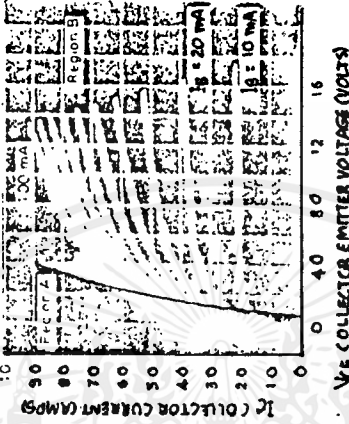
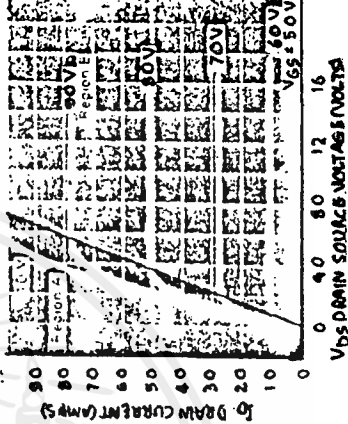


รูปที่ 2.7 วงจรสมมูลย์ของดีมอส

### 2.1.3 ข้อเปรียบเทียบระหว่างไบโพลาร์เพาเวอร์ทรานซิสเตอร์กับเพาเวอร์มอสเฟต

เพาเวอร์มอสเฟตเป็นอุปกรณ์ที่อาศัยการทำงานของประจุพาหะส่วนมาก ทำให้ไม่มีเวลาหน่วงที่เกิดจากประจุพาหะส่วนน้อย ดังนั้นจึงมีความเร็วในการสวิตช์ที่ดีกว่าไบโพลาร์ทรานซิสเตอร์ เพาเวอร์มอสเฟตจะมีค่าทรานคอนดักแตนซ์ที่คงที่ในช่วงของกระแสและโวลท์ใช้งาน

ไบโพลาร์ทรานซิสเตอร์จะพบปัญหาของ thermal runaway และ Secondary breakdown ทำให้การใช้งานมีข้อจำกัดลงไป แต่ในเพาเวอร์มอสเฟต กระแสจะมีค่าลดลงเมื่ออุณหภูมิมีค่าสูงขึ้น มีผลทำให้ลดปัญหาของ thermal runaway เพราะว่าเพาเวอร์มอสเฟตมีสัมประสิทธิ์ของอุณหภูมิเป็นลบ ทำให้เพาเวอร์มอสเฟตสามารถนำมาต่อขนานกันได้อย่างง่ายตายเพื่อเพิ่มกำลังทางเอาท์พุทให้สูงขึ้น

คุณสมบัติ	ไบโพลาร์เพาเวอร์ ทรานซิสเตอร์	เพาเวอร์มอสเฟต
คุณสมบัติทาง เชิงที่พหุ		
ราคา	ตั้งแต่ต่ำจนถึง	โครงสร้างซับซ้อนกว่าราคา จึงยังสูงกว่า
DRIVE	ยุ่งยาก, มีผลต่อความเร็ว และพื้นที่ปลอดภัย (SOA)	ง่าย, อีส์ระจากกระแสไหล, ภาคขั้วไม่มีผลต่อพื้นที่ปลอดภัย
ความเร็ว	ถูกจำกัดด้วย Storage Time และค่า C ภายใน ที่สูงกว่า	เร็วกว่าเพราะไม่มี Storage Time, ไม่ ไวต่ออุณหภูมิ

เอกสารนี้เป็นเอกสารที่สงวนไว้สำหรับการใช้งานเพื่อการศึกษาเท่านั้น ไม่อนุญาตให้นำไปใช้ประโยชน์ด้านการค้า  
ไม่ว่ากรณีใดๆ ทั้งสิ้น อีกทั้งห้ามมิให้ดัดแปลงเนื้อหาและต้องอ้างอิงถึงเจ้าของเอกสารทุกครั้งที่มีการนำไปใช้

คุณสมบัติ	ไบโพลาร์เพาเวอร์ ทรานซิสเตอร์	เพาเวอร์มอสเฟต
พื้นที่ปลอดภัย (SOA)	ถูกจำกัดอยู่ที่ Second breakdown	กำลังงานถูกจำกัดที่ $I_{DM}/V_{DSS}$ ในสภาวะ "on"
blocking voltage	2 เท่าของ $V_{CEO}$	จำกัดอยู่ที่ $BV_{DSS}$ ทุก เงื่อนไข
On-voltage	มีค่าต่ำลงสำหรับอุปกรณ์ ที่ใช้กับแรงดันสูง มี สัมประสิทธิ์ทางอุณหภูมิ เป็นบวก	สัมประสิทธิ์อุณหภูมิเป็น ลบมีค่าต่ำลงได้สำหรับ อุปกรณ์ใช้แรงดันต่ำ
การต่อขาน	ซับซ้อนกว่า	ต่อขานกันได้โดยตรง โดยมีการป้องกันเล็กน้อย
เสถียรภาพทาง อุณหภูมิ	ต้องมีการป้องกันไว้ล่วงหน้า	ไม่ไวต่อการเกิด thermal runaway

เอกสารนี้เป็นเอกสารที่สงวนไว้สำหรับการใช้งานเพื่อการศึกษาเท่านั้น ไม่อนุญาตให้นำไปใช้ประโยชน์ด้านการค้า  
ไม่ว่ากรณีใดๆ ทั้งสิ้น อีกทั้งห้ามมิให้คัดแปลงเนื้อหา 8. ต้องอ้างอิงถึงเจ้าของเอกสารทุกครั้งที่มีการนำไปใช้

เปรียบเทียบพารามิเตอร์

COLLECTOR.....	DRAIN
EMITTER.....	SOURCE
BASE.....	GATE
$V_{(BR)CES}$ .....	$V_{(BR)DSS}$
$V_{CBO}$ .....	$V_{DGO}$
$I_C$ .....	$I_D$
$I_{CES}$ .....	$I_{DSS}$
$I_{EBO}$ .....	$I_{GSS}$
$V_{BE(ON)}$ .....	$V_{GS(th)}$
$V_{CE(sat)}$ .....	$V_{DS(on)}$
$C_{IB}$ .....	$C_{ISS}$
$C_{OB}$ .....	$C_{OSS}$
$h_{fe}$ .....	$g_{fs}$

## 2.2 หลักการ DRIVE POWER MOSFET

POWER MOSFET มีคุณลักษณะสมบัติหลายประการแตกต่างไปจากอุปกรณ์ไบโพลาร์ซึ่งปกติต้องการสัญญาณขับในลักษณะแรงดันต่ำแต่กระแสสูง ในขณะที่ POWER MOSFET ต้องการสัญญาณแรงดันสูงโดยดึงกระแสอินพุตต่ำ ซึ่งในการออกแบบวงจรที่ขับ POWER MOSFET นั้น จะต้องพิจารณาถึงสิ่งต่าง ๆ ต่อไปนี้

1. ความต้านทานเอาต์พุตของวงจรขับ POWER MOSFET ต้องมีค่าต่ำ เนื่องจาก POWER MOSFET ใช้พื้นที่ขั้วค่อนข้างใหญ่ดังนั้นการ DRIVE POWER MOSFET จึงเสมือนการขับวงจร CAPACITIVE REACTANCE NETWORK เนื่องจาก C ที่ขาเกตของตัวอุปกรณ์นั่นเอง

2. แรงดันไฟฟ้าที่ป้อนเข้าที่ขาเกตต้องมีค่าไม่เกิน 10 หรือ 20 โวลต์ ขึ้นอยู่กับอุปกรณ์ เนื่องจากขึ้นฉนวนที่ทำเป็นเกตนั้นใช้สารออกไซด์ที่มีความหนาน้อยกว่า 0.001 นิ้วจึงอาจจะขาดในได้หากป้อนแรงดันเข้าระหว่างเกตกับซอร์สเกิน 10 หรือ 20 โวลต์

3. ค่า POWER LOSS ที่ POWER MOSFET ( $P_D$ ) ต้องมีค่าเป็นไปตามสมการ

$$T_c + P_D * r(t) * R_{\theta Jc} < T_{Jmax}$$

ค่า  $T_{Jmax}$ ,  $R_{\theta Jc}$  ดูจาก DATA BOOK

$r(t)$  ดูจาก THERMAL RESPONSE CURVE

สำหรับการเลือก POWER MOSFET ในการใช้งานต่าง ๆ นั้นมีข้อพิจารณา ดังนี้

1. ค่าสัปดาห์ไฟฟ้สูงสุ่ระหว่างเดรนกับบอร์ส ซึ่งในการใช้งานจริงนั้น จะต้องระวัง TRANSIENT VOLTAGE จาก POWER SUPPLY โดยส่วนมากแล้วจะนิยมเผื่อค่าใน SPEC ไว้ประมาณ 3 เท่าเมื่อเทียบกับค่าที่ใช้งานจริง

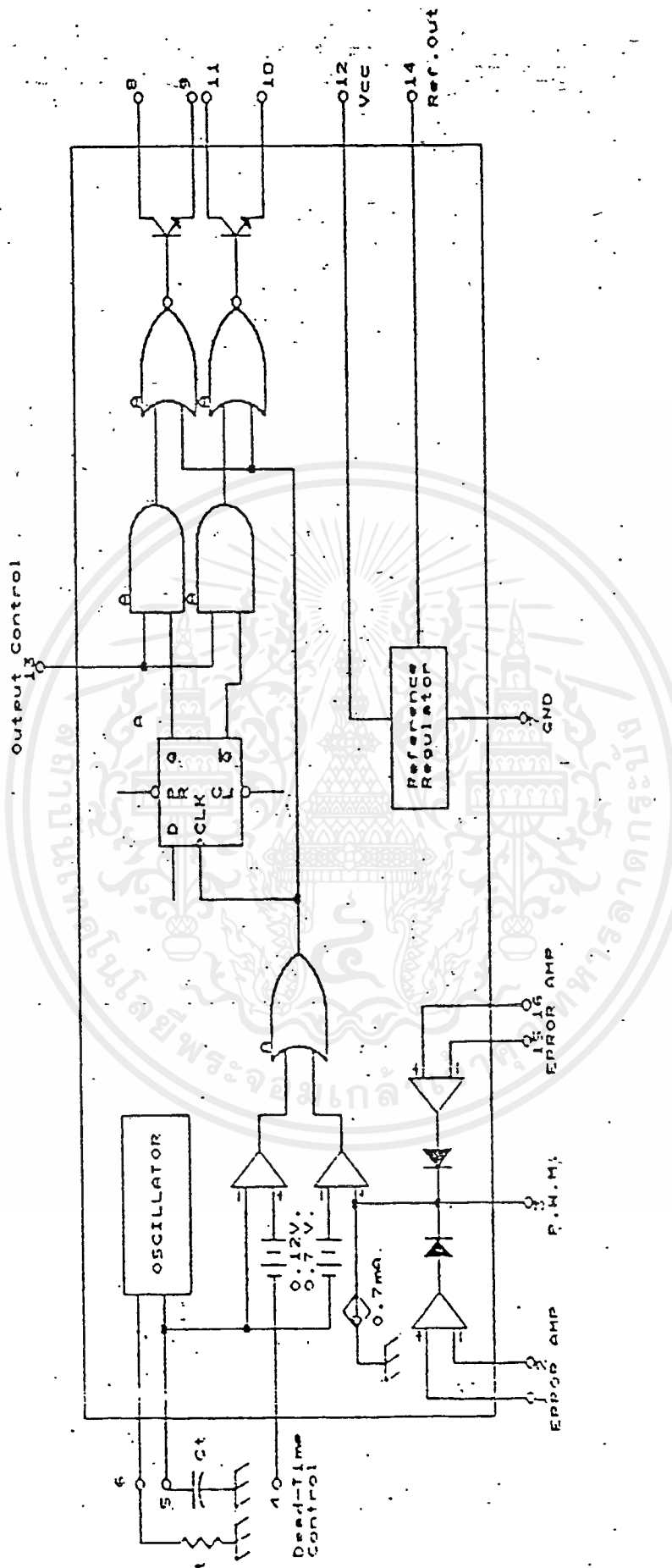
2. ศักดาสูงสุดของกระแสเดรน ซึ่งมีค่าขึ้นกับค่าความกว้างของพัลส์ คุณสมบัติของอุปกรณ์และ THERMAL RESISTANCE
3. ค่าความต้านทานขณะทำงานระหว่างขาเดรนกับซอร์ส (DRAIN-TO-SOURCE RESISTANCE) ซึ่งเป็นตัวจำกัดกระแสไฟฟ้าเมื่อศักดาไฟฟ้าระหว่างขาเดรนกับซอร์สมีค่าต่ำ
4. อุณหภูมิที่ตัวถัง

### 2.3 TL 494 ตัวกำเนิดคลื่นพัลส์

TL 494 เป็นวงจรรวมควบคุม PULSE WIDTH MODULATION โดยความถี่ไม่เปลี่ยนแปลง ซึ่งเป็นส่วนประกอบที่สำคัญใน SWITCHING POWER SUPPLY ภายในจะมีวงจรกำเนิดสัญญาณ SAW TOOTH โดยสามารถเลือกค่าความถี่ของสัญญาณได้จากค่า R และ C ที่ต่อจากภายนอกโดยค่าความถี่ของสัญญาณ SAW TOOTH จะเท่ากับ

$$f_{osc} = 1.1 / (R_t * C_t)$$

BLOCK DIAGRAM ของ TL 494 แสดงได้ดังรูปที่ 2.8 ซึ่งสามารถอธิบายได้ดังนี้ เที่ยบขนาดของสัญญาณ SAW TOOTH ด้านบวกกับสัญญาณควบคุม 2 สัญญาณ ได้แก่ สัญญาณ FEEDBACK / P.W.M. COMPARATOR INPUT และ สัญญาณ DEAD-TIME CONTROL โดยเมื่อใดที่ขนาดของสัญญาณ SAW TOOTH มีค่ามากกว่าขนาดของสัญญาณควบคุม 2 สัญญาณนี้แล้ว ก็จะทำให้มีสัญญาณเอาท์พุทเกิดขึ้น คือ ทรานซิสเตอร์ Q1 ทำงาน ( ทรานซิสเตอร์ Q1 และ Q2 จะสลับช่วงการทำงานกัน ) ซึ่งการเพิ่มขนาดของสัญญาณควบคุม 2 สัญญาณนี้จะทำให้เกิดการลดลงของความกว้างของสัญญาณพัลส์เอาท์พุทอย่าง LINEAR



รูปที่ 2.8 BLOCK DIAGRAM ของ TL 494

เอกสารนี้เป็นเอกสารที่สงวนไว้สำหรับการใช้งานเพื่อการศึกษาเท่านั้น ไม่อนุญาตให้นำไปใช้ประโยชน์ด้านการค้า  
 ไม่ว่ากรณีใดๆ ทั้งสิ้น อีกทั้งห้ามมิให้ดัดแปลงแก้ไข - 12 - และต้องอ้างอิงถึงเจ้าของเอกสารทุกครั้งที่มีการนำไปใช้

สัญญาณควบคุม 2 สัญญาณนี้เป็นสัญญาณที่ป้อนจากภายนอก โดยสามารถป้อนเข้าทางขา DEADTIME CONTROL (ขา 4) , ขา ERROR AMPLIFIER INPUT (ขา 1,2,15,16) หรือขา FEEDBACK INPUT (ขา 3) เนื่องจาก DEAD TIME CONTROL COMPARATOR มีค่าออฟเซ็ทประมาณ 120 mV ซึ่งจะทำให้ค่าสูงสุดของ DUTY CYCLE ของสัญญาณเอาต์พุตมีค่าไม่ถึง 100 เปอร์เซ็นต์ คือ จะมีค่าประมาณ 96 เปอร์เซ็นต์เมื่อขา OUTPUT CONTROL (ขา 13) ต่อกับกราวด์ และเป็น 48 เปอร์เซ็นต์เมื่อขา OUTPUT CONTROL ต่อกับ REFERENCE LINE (Verf) นอกจากนี้ค่า DEAD TIME ของสัญญาณเอาต์พุตของ TL 494 อาจถูกควบคุมด้วยสัญญาณอินพุตที่ป้อนที่ขา DAED TIME CONTROL โดยตั้งค่าศักดาไฟฟ้าที่ป้อนเข้าที่ขาให้มามีค่าอยู่ในช่วง 0 ถึง 3.5 VOLT

เอาต์พุตของ PWM COMPARATOR จะเป็นค่าเฉลี่ยของเอาต์พุตของ ERROR AMP ซึ่งค่าศักดาไฟฟ้าที่จุดนี้จะมีผลต่อค่าความกว้างของพัลส์เอาต์พุต ซึ่งการปรับค่าเวลา ON TIME จากค่าสูงสุดถึงศูนย์ทำได้โดยปรับค่าศักดาไฟฟ้าที่ขา FEEDBACK INPUT ให้มีค่าจาก 0.5 ถึง 3.5 โวลต์ โดยที่ ERROR AMPLIFIER 2 ตัวนี้ สามารถ SENSE เอาต์พุตได้ทั้งศักดาไฟฟ้าเอาต์พุตและกระแสไฟฟ้าเอาต์พุต วงจร TL 494 นี้สามารถทำงานได้ 2 ลักษณะ คือ

#### 1. PUSH-PULL MODE

เป็นลักษณะการทำงานที่ทรานซิสเตอร์ Q1 และ Q2 สลับกันทำงาน ซึ่งจะให้ค่า DUTY CYCLE สูงสุดของสัญญาณเอาต์พุตมีค่าประมาณ 50 เปอร์เซ็นต์ และความถี่ของสัญญาณ เอาต์พุตจะเป็นคั้งหนึ่งของความถี่ของสัญญาณ SAW TOOTH นั่นคือสัญญาณเอาต์พุตจะมีความถี่เท่ากับ

$$F_o = 1.1 / ( 2 * R_t * C_t )$$

ซึ่งทำได้โดยการต่อขา OUTPUT CONTROL (ขา 13) เข้าที่ Verf

## 2. SINGLE-END MODE

เป็นลักษณะการทำงานที่ทรานซิสเตอร์ Q1 และ Q2 แยกกันทำงาน คือ จะเอาสัญญาณเอาท์พุทออกจากทรานซิสเตอร์ตัวใดก็ได้ แต่ลักษณะของสัญญาณเอาท์พุทที่ได้จะกลับเฟสกัน ค่าความถี่ของสัญญาณเอาท์พุทจะเท่ากับค่าความถี่ของสัญญาณ SAW TOOTH นั้น คือสัญญาณเอาท์พุทจะมีความถี่เท่ากับ

$$F_o = 1.1 / ( R_t * C_t )$$

ซึ่งค่า DUTY CYCLE สูงสุดของสัญญาณจะมีค่าประมาณ 50 เปอร์เซ็นต์ ซึ่งทำได้โดยการต่อขา OUTPUT CONTROL ลงกราวด์ในลักษณะการทำงานแบบ SINGLE-END นี้สามารถเพิ่มปริมาณกระแสไฟฟ้าที่จ่ายได้ และสามารถเพิ่มค่าสูงสุดของ DUTY CYCLE เป็นประมาณ 90 % ได้โดยการนำทรานซิสเตอร์ Q1 และ Q2 มาต่อขนานกัน

### 2.4 หลักการและการออกแบบ LF398

สำหรับการแสดงกระแสไฟฟ้าชั่วขณะ สัญญาณเอาท์พุทที่ออกมาจะมีลักษณะเป็น PULSE ด้วย สำหรับส่วนแสดงผลของส่วนดึงกระแสไฟฟ้าชั่วขณะจะต้องมีส่วนที่ทำการคงค่า PEAK CURRENT ไว้ในช่วงที่ไม่ได้ดึงกระแสไฟฟ้า (PULSE ที่ช่วง OFF) เพื่อให้สัปดาห์หน้าก่อนที่เข้าตัวแสดงผลมีลักษณะเป็นระดับไฟฟ้าคงที่

ในโครงการนี้ใช้ไอซี LF 398 ซึ่งภายในเป็นวงจรร SAMPLE AND HOLD โดย LF398 แสดงค่า PEAK VOLTAGE ( $PEAK CURRENT * R_s$ ) ของสัญญาณอินท์พุทซึ่งมีลักษณะเป็นพัลส์ออกเป็นระดับสัปดาห์ไฟฟ้าที่คงที่ โดยหลักการทำงาน 2 ช่วง คือ

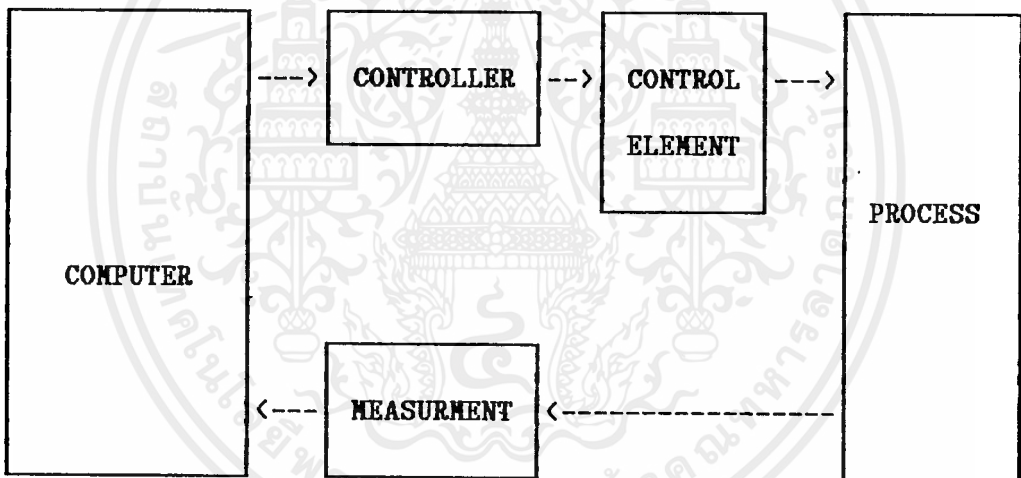
1. ช่วง SAMPLE จะอ่านสัปดาห์ไฟฟ้าอินท์พุทเข้าที่ขา 3 ของ LF398 แสดงออกที่ เอาท์พุท (ขา5)
2. ช่วง HOLD ช่วงนี้ LF 398 จะทำหน้าที่คงค่าสัปดาห์ไฟฟ้าอินท์พุทที่อ่านมาไว้ใน ช่วง SAMPLE แล้วแสดงออกที่เอาท์พุท

ข้อจำกัดของ LF 398 คือจะใช้ไม่ได้ที่เมื่อสัญญาณอินพุตที่มีค่า DUTY CYCLE ลดลงถึง 0 เปอร์เซ็นต์

การทำงานของ LF 398 นั้นต้องป้อนสัญญาณ LOGIC ซึ่งมีลักษณะเหมือนหรือกลับเฟสกับสัญญาณอินพุต (คือต้องมีความถี่เท่ากัน) เข้าที่ขา 8 หรือขา 7 ของ LF398 ตามลำดับเพื่อให้ได้เอาต์พุตแสดงค่า PEAK VOLTAGE INPUT

LF 398 สามารถกำหนดการอ่านค่า จากสัญญาณอินพุต (ACQUISITION TIME) ได้จากค่า HOLD CAPACITOR ( $C_H$ ) ซึ่งต่อกับขา 6 ขา LF 398 ซึ่งค่า  $C_H$  น้อย ค่าเวลาในการอ่านก็น้อย แต่ถ้า  $C_H$  มีค่ามากเวลาในการอ่านก็มาก โดยปกติเพื่อป้องกันความผิดพลาดจากสาเหตุ HOLD CAPACITOR ชนิดที่ใช้เป็นพวก POLYASTYENE, POLYPROPYLENE หรือ TEFLON

## 2.5 PROCESS CONTROL SYSTEM

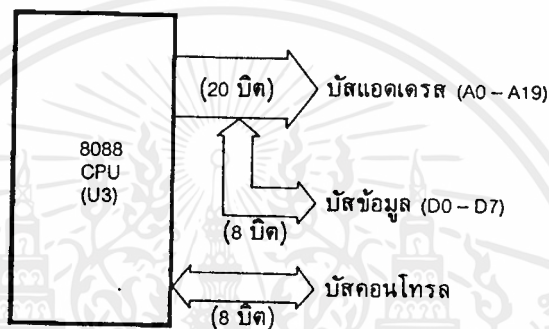


รูปที่ 2.9 แสดง BLOCK DIAGRAM ของ PROCESS CONTROL SYSTEM

- Process                    process block จะแสดงถึง process ทั้งหมด
- Measurement            measurement block จะแสดงถึงการกระทำที่จำเป็นในการกำหนดการแสดงค่า output ของ process นี้จะเป็น voltage, current or digital signal ก็ได้
- Control Element        เป็นส่วนที่ส่งสัญญาณควบคุม process

## 2.6 การจัดโครงสร้างบนไมโครคอมพิวเตอร์

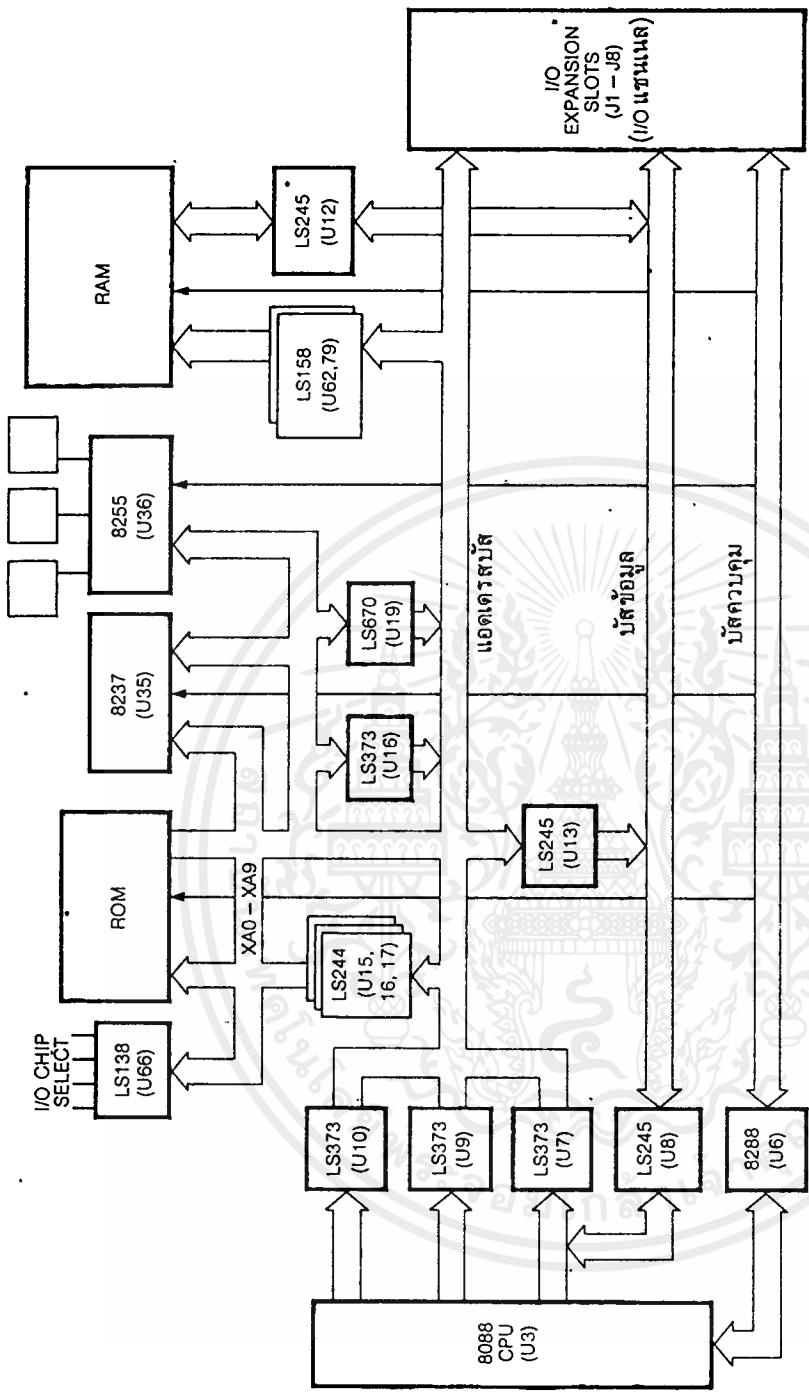
8088 เป็นชิพเดียวที่ได้รับการพัฒนาให้มีการรับส่งข้อมูลผ่านบัสข้อมูลเพียง 8 bit โครงสร้างบัสที่ออกจากชิพนี้จะแยกกลุ่มออกเป็น 3 กลุ่มคือบัสข้อมูล (Databus) บัสแอดเดรสและบัสควบคุมบัส ข้อมูลแยกออกมาจากแอดเดรสคยมีขนาดเพียง 8 bit ส่วนบัสควบคุมก็มี 8 bit เช่นกัน แต่สำหรับแอดเดรสจะมีทั้งสิ้น 20 bit



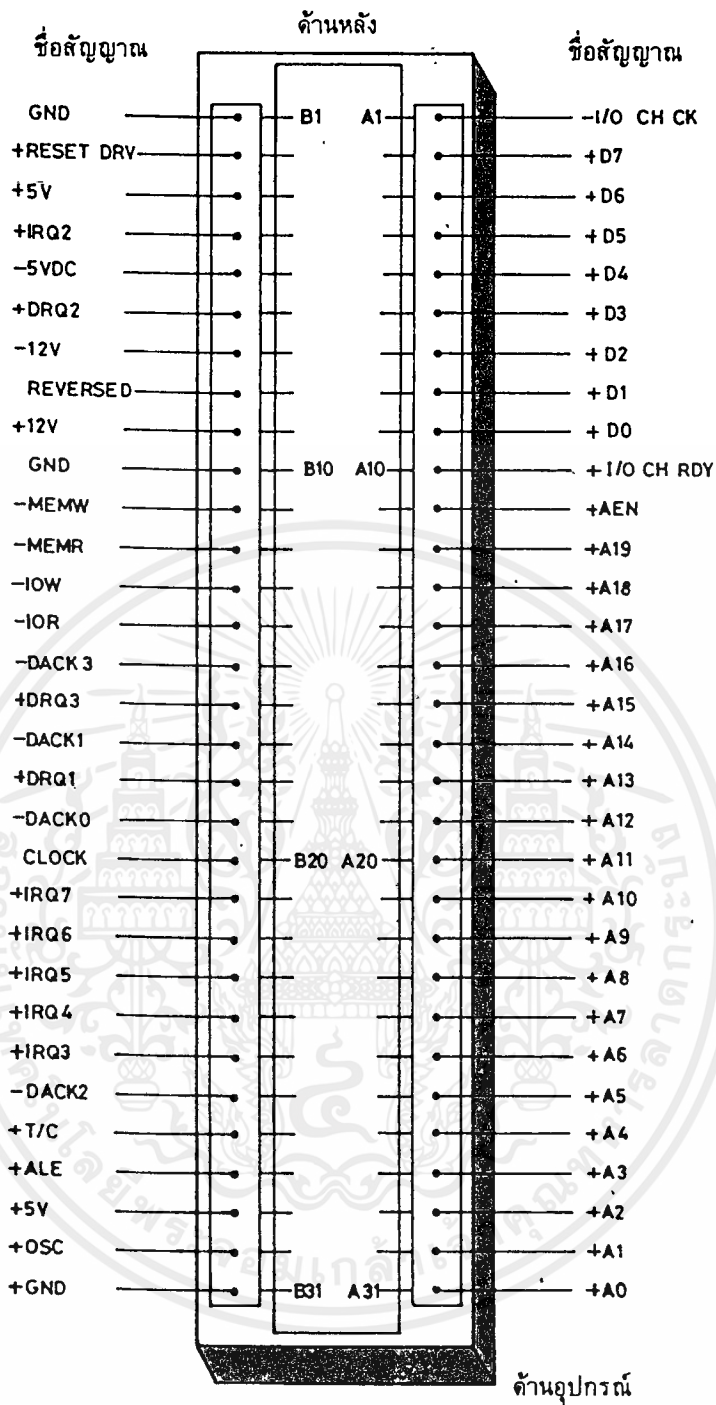
รูปที่ 2.10 โครงสร้างระบบบัสของ CPU 8088

ระบบบัสทั้งหมดของเครื่อง IBM PC ทุกเครื่องจะมีการผ่านบัสเฟอ์อีกครั้ง โครงสร้างของบัสเมื่อเขียนเป็นไดอะแกรมได้ดังรูป 2.11

โครงสร้างของบัสจะเชื่อมต่อเพื่อให้ผู้ใช้สามารถขยายเพิ่มเติมได้ โดยมี การต่อเชื่อมกับสล็อต โครงสร้างของสล็อตที่ออกแบบโดยออบีเอ็มนี้เน้นรูปแบบให้อินพุต เอาต์พุตเชื่อมเข้ากับระบบได้ง่าย โดยมีบัสข้อมูลแบบสองทิศทาง 8 bit แอดเดรส 20 bit มีอินเทอร์รัพต์ 6 ระดับ มีส่วนสัญญาณควบคุม สำหรับการเขียน อ่าน อินพุตเอาต์พุต และหน่วยความจำ มีสัญญาณนาฬิกาและสายสัญญาณกำหนดเวลา มีแชนเนลการกำหนด DMA มีสัญญาณการควบคุมการรีเฟรชหน่วยความจำ มีสายตรวจสอบสล็อต สายไฟเลี้ยง ขนาดของสล็อตเป็นสล็อตขนาด 62 ขาโดยมีการจัดเรียงตำแหน่งขาดังรูป 2.12



รูปที่ 2.11 โครงสร้างระบบบัสของไอเอ็มพีพี



รูปที่ 2.12 แสดงสายสัญญาณเชื่อมต่อที่สล๊อต

ตารางที่ 2.1 ความหมายของสัญญาณต่างๆ

ชื่อสัญญาณ	i/o	ความหมาย
OSC	o	สัญญาณนาฬิกาที่มีความกว้าง 70 ns ความถี่ 14.31818 MHz
CLK	o	สัญญาณนาฬิกาของระบบ มีความถี่ 4.77 MHz มีช่วงคาบ 210 ns
RESET DRV	o	สายสัญญาณนี้ใช้ในการรีเซ็ตระบบ ในขณะเริ่มเปิดเครื่อง
A0-A19	o	แอดเดรสบัส A0-A19
D0-D7	I/o	บัสข้อมูลบิต 0-7
ALE	o	ทำการแลทซ์แอดเดรสเป็นสัญญาณที่กำหนดค่าแอดเดรส
I/O CHCK	I	เป็นสัญญาณตรวจสอบเช่นเนล I/O สัญญาณนี้จะมีผลต่อเนื่องมา เพื่อควบคุมระบบโดยส่งผลมาในลักษณะ Parity Error
I/O CHARD	I	สัญญาณนี้ปกติเป็น "0" สัญญาณนี้จะทำให้เกิดการชิงโครไนซ์อุปกรณ์อินพุตเอาต์พุตที่ทำงานช้าให้เข้ากับระบบได้
IRQ2-IRQ7	I	เป็นสัญญาณของอินเทอร์รัพต์ 2 ถึง 7
IOR	o	สัญญาณอ่านอินพุต เอาต์พุต
IOW	o	สัญญาณการเขียนอินพุต เอาต์พุต
MEMR	o	สัญญาณอ่านหน่วยความจำ
MEMW	o	สัญญาณการเขียนหน่วยความจำ
DRQ1-DRQ3	I	สัญญาณตอบรับการขอ DMA 1 ถึง 3
DACK0-DACK3	o	สัญญาณตอบรับการขอ DMA 0 ถึง 3
AEN	o	สัญญาณการรีนาเบิ้ลแอดเดรส
T/C	o	สัญญาณการนับเทอร์มินัล
CARD SLCTD	I	สัญญาณเลือกการ์ด

สายสัญญาณที่เหลือคือ สายสัญญาณไฟเลี้ยงที่จ่ายให้กับระบบที่จะเชื่อมต่อและสายกราวนด์

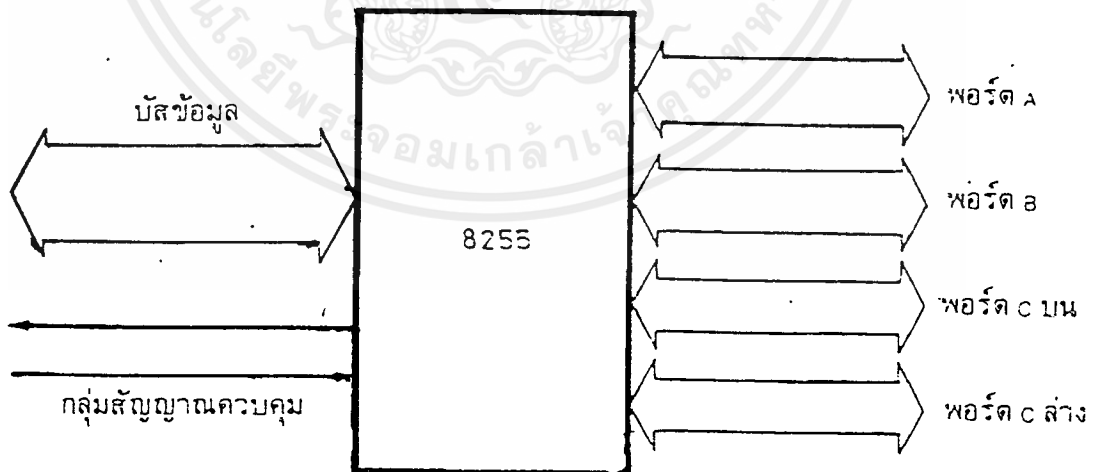
## 2.7 8255 พอร์ตแบบขนานที่โปรแกรมได้

ในการนำเอาไมโครโปรเซสเซอร์ไปใช้งานนั้น จำเป็นต้องให้ไมโครโปรเซสเซอร์สามารถติดต่อกับโลกภายนอกได้ ซึ่งก็คือ ให้มันสามารถส่งสัญญาณมาควบคุมอุปกรณ์ต่าง ๆ ได้ เช่น เสาตีปิงมอเด็ม, ควบคุมอุปกรณ์ไฟฟ้าต่าง ๆ ส่วนที่ทำได้ไมโครโปรเซสเซอร์สามารถติดต่อกับโลกภายนอกที่รู้จักกันดี คือ พอร์ต (Port) มีบริษัทต่าง ๆ เล็งเห็นความสำคัญของการติดต่อระหว่าง CPU กับอุปกรณ์ภายนอกนี้ จึงได้ทำไอซีสำเร็จรูปขึ้นหลายเบอร์ และที่จะชื่อน่ามากว่าในที่นี่คือ ไอซีเบอร์ 8255 ซึ่งเป็นของบริษัทอินเทล ซึ่งได้ออกแบบมาใช้ CPU เบอร์ 8080 แต่เราสามารถนำมาประยุกต์ใช้กับเบอร์อื่น ๆ ได้โดยไม่มีขาด

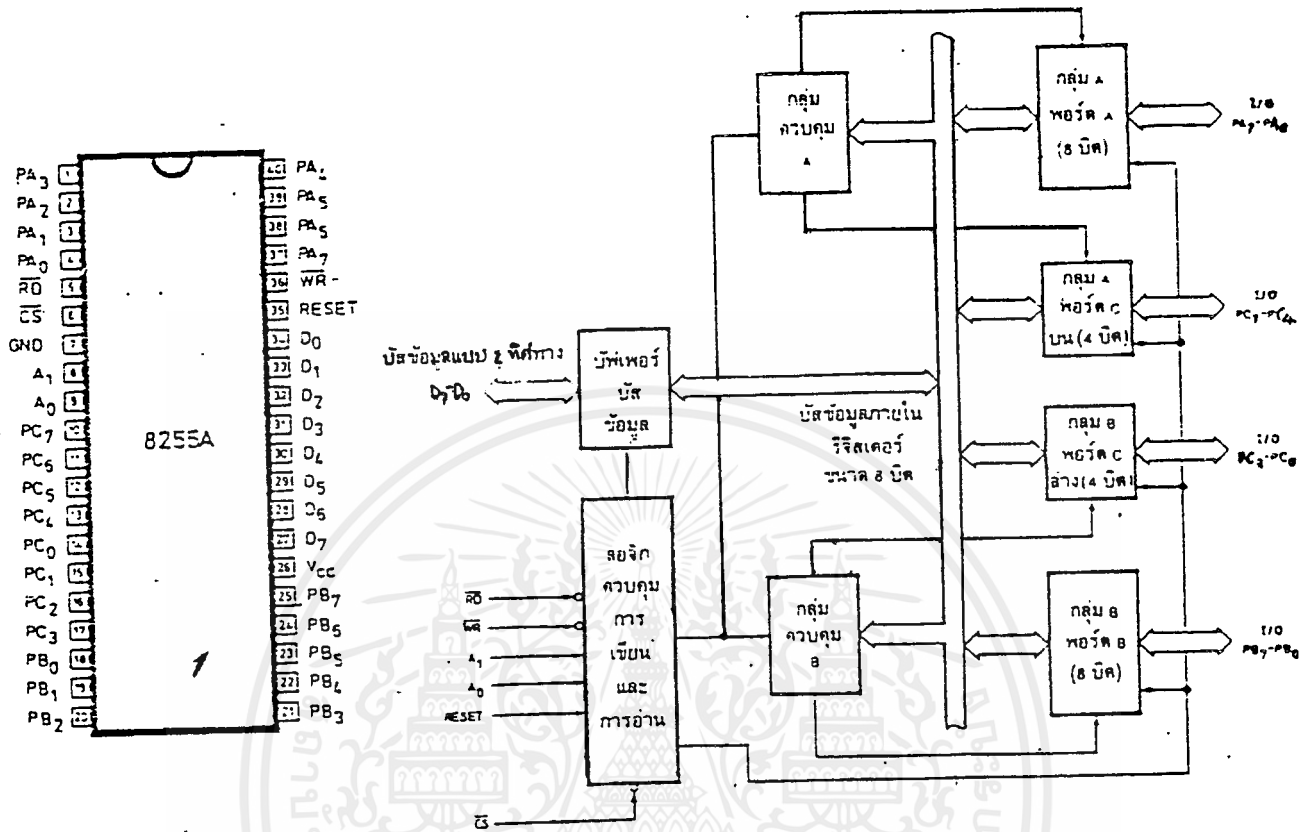
สาเหตุที่ 8255 เป็นที่นิยมมากก็เพราะว่ามันสามารถถูกโปรแกรมให้ทำงานในลักษณะต่าง ๆ ไม่ว่าจะเป็น อินพุต, เอาพุต หรือแม้แต่นับแบบ แฮนด์เชคกิ้ง (Handshaking) ได้ทั้งยังราคาถูกอีกต่างหาก

### 2.7.1 ลักษณะทั่วไปของ 8255

เป็นไอซีขนาด 40 ขา ตัวแบบ โดยแยกเป็นลักษณะของบล็อกง่าย ๆ ดังรูปที่ 2.13 คือจะมีพอร์ตให้ใช้งานได้ถึง 3 พอร์ต (เป็นขนาด 8 บิต) พอร์ต A, พอร์ต B, พอร์ต C โดยพอร์ต C นี้สามารถแยกได้เป็น 2 ส่วน คือ พอร์ต C บน ตั้งแต่  $PC_4-C_7$  จำนวน 4 บิต และ พอร์ต C ล่าง ตั้งแต่  $PC_0-PC_3$  โดยพอร์ตทุกพอร์ต (A, B, C) สามารถโปรแกรมได้ให้เป็น อินพุตหรือเอาพุต ซึ่งจะได้กล่าวถึงการโปรแกรมในรายละเอียดต่อไป



รูปที่ 2.13 แสดงบล็อกเส้นทางของพอร์ต 8255



รูปที่ 2.14 แผนผังวงจรภายในและการจัดขาของ IC8255

ในรูปที่ 2.14 จะเห็นโครงสร้างภายในที่แสดงถึงกลุ่มควบคุมที่มีอยู่ 3 กลุ่มคือ

- กลุ่มควบคุมชุด A จะควบคุมพอร์ต A และพอร์ต C บน
- กลุ่มควบคุมชุด B จะควบคุมพอร์ต B และพอร์ต C ล่าง
- กลุ่มควบคุมลอจิกการเขียนและอ่าน

การทำงานของ 8255 จะใช้สัญญาณควบคุมจากตัวไมโครโปรเซสเซอร์มาควบคุมโดยจะมีการส่งคำสั่ง (Control word) มาที่กลุ่มควบคุมชุด A,B แล้วกลุ่ม

เป็นอินพุท พอร์ต B เป็นเอาต์พุทเหล่านี้เป็นต้น ส่วนกรณีเมื่อมีการอ่านเขียนพอร์ตจาก CPU นั้น กลุ่มควบคุมลอจิกการเขียนอ่านจะเป็นตัวที่ส่งสัญญาณไปบอกแก่กลุ่มควบคุมชุด ในแต่ละชุดอีกที ทั้งนี้แล้วแต่ว่า CPU จะมีการอ่านเขียนพอร์ตของกลุ่มควบคุมชุดใด

ต่อไปเรามาดูถึงความหมายของ ขาต่าง ๆ ของไอซี 8255 เพื่อจะได้ต่อกำหนดใช้งานได้อย่างถูกต้องต่อไป

- DO-D7 เป็นขาข้อมูลของ 8255 ที่ใช้ติดต่อกับตัวไมโครโปรเซสเซอร์ซึ่งข้อมูลที่จะ ให้ออกสู่พอร์ตต่าง ๆ ของ 8255 จะต้องผ่านขาข้อมูลนี้
- CS เป็นขาอินพุทที่รับสัญญาณลอจิก "0" จากภายนอกเพื่อแสดงว่าต้องการเลือกใช้ไอซีเบอร์หากได้รับลอจิก "1" ก็จะทำให้ไอซีตัวนี้ไม่ทำงานคือไม่รับสัญญาณใด ๆ ทั้งสิ้น
- RD เป็นขาอินพุทที่รับสัญญาณจากตัวไมโครโปรเซสเซอร์โดยหากมีลอจิกเป็น "0" จะเป็นการแสดงว่า CPU ต้องการที่จะอ่านข้อมูลจากตัว 8255
- WR เป็นขาอินพุทที่รับสัญญาณจากตัวไมโครโปรเซสเซอร์โดยหากมีลอจิกเป็น "0" ก็ จะเป็นการแสดง CPU ต้องการที่จะเขียนข้อมูลจากตัว 8255
- AO-A1 เป็นอินพุทที่รับแอดเดรสจาก ตัวไมโครโปรเซสเซอร์ที่ถอดรหัสตำแหน่งของ 8255 เรียบร้อยแล้วโดยจะมีตำแหน่งใช้งาน 4 ตำแหน่ง เพื่ออ่านเขียนรีจิสเตอร์ (พอร์ต) ของ 8255 ที่มีอยู่ด้วยกัน 4 ตัว
- RESET เป็นขาอินพุทที่รับสัญญาณจากภายนอกเข้ามาทำการรีเซ็ตตัว 8255 โดยหาก ได้รับลอจิก "1" จะทำให้พอร์ตทุกพอร์ตเป็นอินพุทพอร์ตหมดทั้งนี้เพื่อไม่ต้อง การให้มีสัญญาณออกไปกวนต่อระบบภายนอกเมื่อ 8255 ได้รับสัญญาณรีเซ็ต

- $PA_0-PA_7$  เป็นขาสัญญาณพอร์ท A ที่ใช้ติดต่อกับโลกภายนอก  
 $PB_0-PB_7$  เป็นขาสัญญาณพอร์ท B ที่ใช้ติดต่อกับโลกภายนอก  
 $PC_0-PC_7$  เป็นขาสัญญาณพอร์ท C ที่ใช้ติดต่อกับโลกภายนอก ซึ่งพอร์ทนี้จะแบ่งออกเป็น 2 กลุ่มคือ  $PC_0-PC_3$  และ  $PC_4-PC_7$  ซึ่งสามารถโปรแกรมแยกกันได้อีกต่างหาก

## 2.72 การโปรแกรม 8255

ตัว CPU มอง 8255 เป็น 4 พอร์ท หากมีการอ่านเขียนจะใช้ร่วมกับสัญญาณ RD, WR โดย WR หมายถึงเข้าพุทข้อมูล และ RD หมายถึง อินพุทข้อมูล

ตารางที่ 2.2 แสดงโลจิกเมื่อติดต่อกับ 8255

RD	WR	A1	A2	ความหมาย
1	0	0	0	เขียนพอร์ท A ซึ่งเป็นข้อมูล
0	1	0	0	อ่านพอร์ท A ซึ่งเป็นข้อมูล
1	0	0	1	เขียนพอร์ท B ซึ่งเป็นข้อมูล
0	1	0	1	อ่านพอร์ท B ซึ่งเป็นข้อมูล
1	0	1	0	เขียนพอร์ท C ซึ่งเป็นข้อมูล
0	1	1	0	อ่านพอร์ท C ซึ่งเป็นข้อมูล
1	0	1	1	เขียนข้อมูล ซึ่งเป็นรหัสควบคุม
0	1	1	1	อ่านเข้ามา ซึ่งไม่มีความหมาย

## รหัสควบคุม(control code) ไปยังพอร์ตควบคุม

D <sub>7</sub>	D <sub>6</sub>	D <sub>5</sub>	D <sub>4</sub>	D <sub>3</sub>	D <sub>2</sub>	D <sub>1</sub>	D <sub>0</sub>
----------------	----------------	----------------	----------------	----------------	----------------	----------------	----------------

บิต D7 เป็นบิตที่แสดงว่าในไบต์นี้เป็นรหัสควบคุม ถ้าเป็น "1" โดยแต่ละบิตจะมีผลต่อการเปลี่ยนแปลงโหมดต่าง ๆ ของ 8255 หากเป็น "0" จะเป็นการเซตบิตของพอร์ต C

บิต D6, D5 เป็นการเลือกโหมดของพอร์ต A ซึ่งจะมีอยู่ด้วยกัน 3 โหมด คือ 0, 1, 2

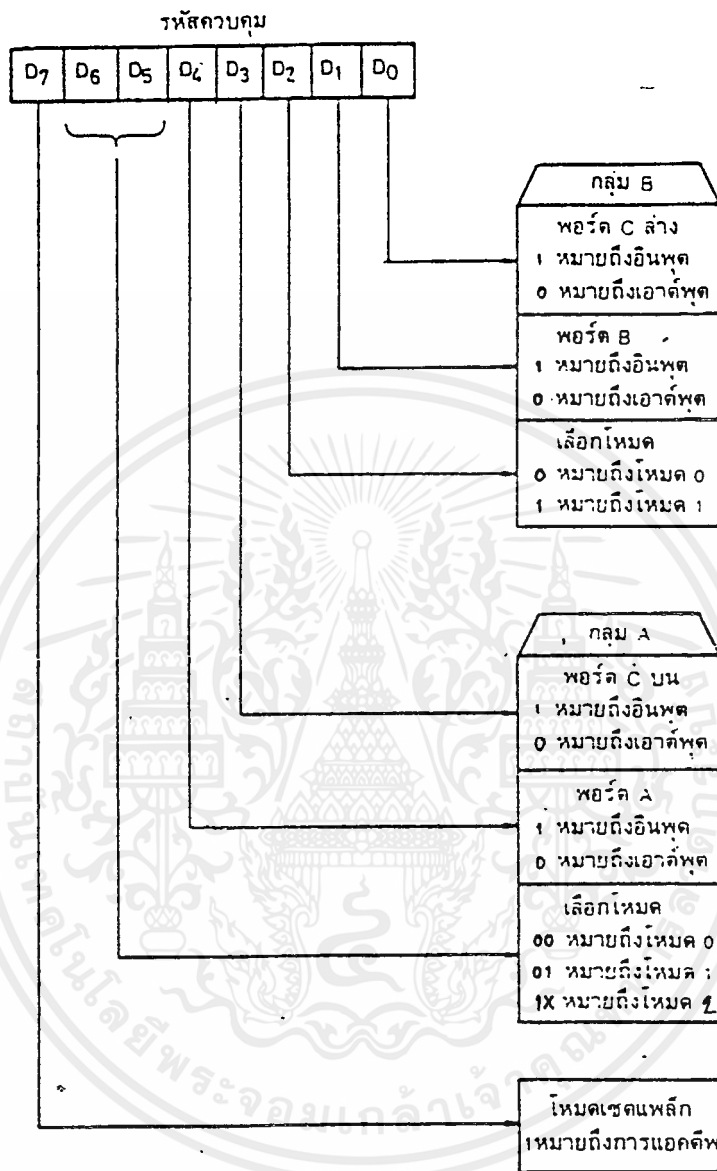
บิต D4 เป็นการกำหนดให้พอร์ต A ให้เป็นอินพุตหรือเอาพุต โดยหากเป็น "1" ก็จะเป็น อินพุต หากเป็น "0" ก็แสดงว่าให้เป็น เอาพุต

บิต D3 เป็นการกำหนดให้พอร์ต C บน ให้เป็นอินพุตหรือเอาพุต โดยหากเป็น "1" ก็จะเป็นอินพุต หากเป็น "0" ก็แสดงว่าให้เป็นเอาพุต

บิต D2 เป็นการกำหนดโหมดการทำงานของ พอร์ต B โดยหากเป็น "0" หมายถึงเลือกให้พอร์ต B ทำงานในโหมด 0 หากเป็น "1" เป็นการเลือกให้พอร์ต B ทำงานในโหมด 1

บิต D1 เป็นการกำหนดให้พอร์ต B ให้เป็นอินพุตหรือเอาพุต โดยหากเป็น "1" ก็จะเป็นอินพุต หากเป็น "0" ก็แสดงว่าให้เป็นเอาพุต

บิต D0 เป็นการกำหนดให้พอร์ต C ล่างให้เป็นอินพุตหรือเอาพุต โดยหากเป็น "1" ก็จะเป็นอินพุต หากเป็น "0" ก็แสดงว่าให้เป็น เอาพุต



รูปที่ 2.15 ความหมายของแต่ละบิตในรหัสควบคุม

เอกสารนี้เป็นเอกสารที่สงวนไว้สำหรับการใช้งานเพื่อการศึกษาเท่านั้น ไม่อนุญาตให้นำไปใช้ประโยชน์ด้านการค้า  
ไม่ว่ากรณีใดๆ ทั้งสิ้น อีกทั้งห้ามมิให้ดัดแปลงเนื้อหาและต้องอ้างอิงถึงเจ้าของเอกสารทุกครั้งที่มีการนำไปใช้

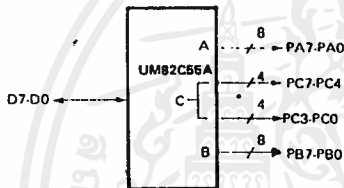
## การใช้งาน IC 8255

IC 8255 นี้จะเป็น IC ซึ่งประกอบด้วย PORT ใช้งาน 3 PORT และอีก 1 PORT ควบคุมก่อนที่จะใช้งาน 8255 เราจะต้องส่งข้อมูลไปให้อัง PORT ควบคุมก่อนว่าจะให้ PORT ทั้ง 3 PORT ของ 8255 ที่เหลือนี้ทำหน้าที่อะไร เป็น INPUT หรือ OUTPUT PORT เราจะต้องเป็นผู้กำหนด CONTROL, CODE PORT ควบคุมดังรูป

### Mode 0 Configurations

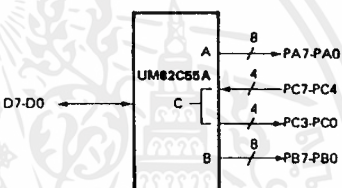
CONTROL WORD #0

D7 D6 D5 D4 D3 D2 D1 D0  
1 0 0 0 0 0 0 0



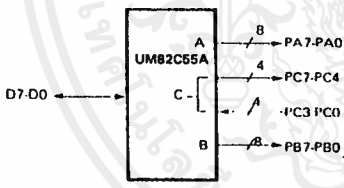
CONTROL WORD #4

D7 D6 D5 D4 D3 D2 D1 D0  
1 0 0 0 1 0 0 0



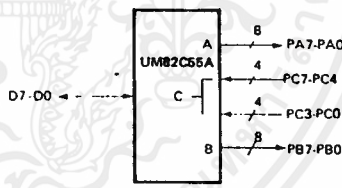
CONTROL WORD #1

D7 D6 D5 D4 D3 D2 D1 D0  
1 0 0 0 0 0 0 1



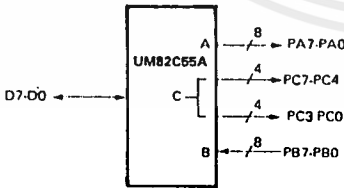
CONTROL WORD #5

D7 D6 D5 D4 D3 D2 D1 D0  
1 0 0 0 1 0 0 1



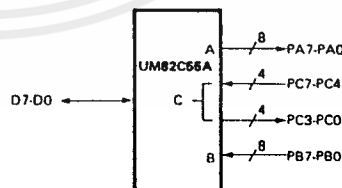
CONTROL WORD #2

D7 D6 D5 D4 D3 D2 D1 D0  
1 0 0 0 0 0 1 0



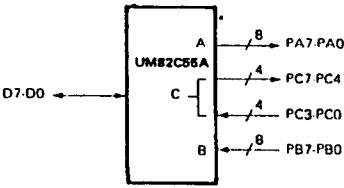
CONTROL WORD #6

D7 D6 D5 D4 D3 D2 D1 D0  
1 0 0 0 1 0 1 0



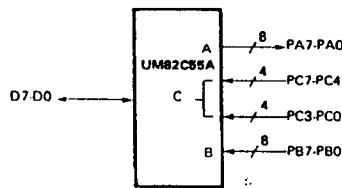
CONTROL WORD #3

D7 D6 D5 D4 D3 D2 D1 D0  
1 0 0 0 0 0 0 1 1



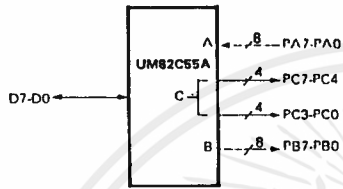
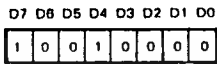
CONTROL WORD #7

D7 D6 D5 D4 D3 D2 D1 D0  
1 0 0 0 1 0 1 1

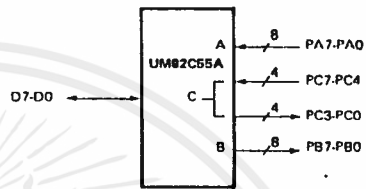
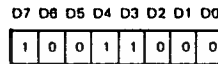


เอกสารนี้เป็นเอกสารที่สงวนไว้สำหรับการใช้งานเพื่อการศึกษาเท่านั้น ไม่อนุญาตให้นำไปใช้ประโยชน์ด้านการค้า ไม่ว่าจะกรณีใดๆ ทั้งสิ้น อีกทั้งห้ามมิให้ดัดแปลงเนื้อหาและต่ออ้างอิงถึงเจ้าของเอกสารทุกครั้งที่มีการนำไปใช้

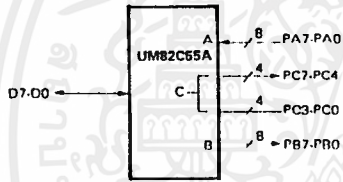
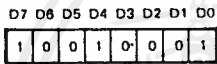
CONTROL WORD #8



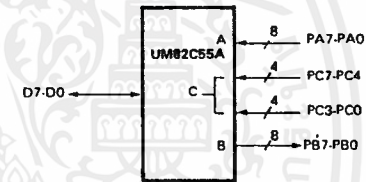
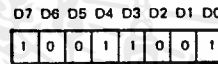
CONTROL WORD #12



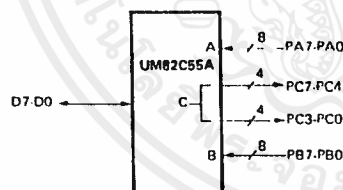
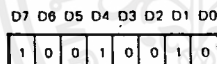
CONTROL WORD #9



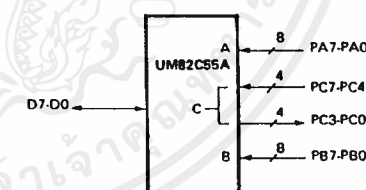
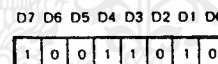
CONTROL WORD #13



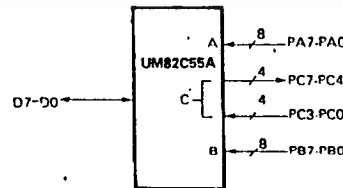
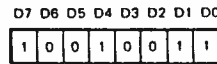
CONTROL WORD #10



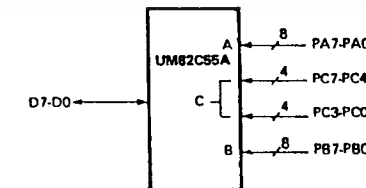
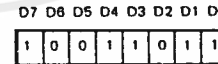
CONTROL WORD #14



CONTROL WORD #11



CONTROL WORD #15



## บทที่ 3

### การออกแบบเครื่อง AUTOMATIC POWER SUPPLY TESTER

การออกแบบเครื่อง AUTOMATIC POWER SUPPLY TESTER นี้ มีด้วยกันทั้งหมด 4 ส่วนคือ

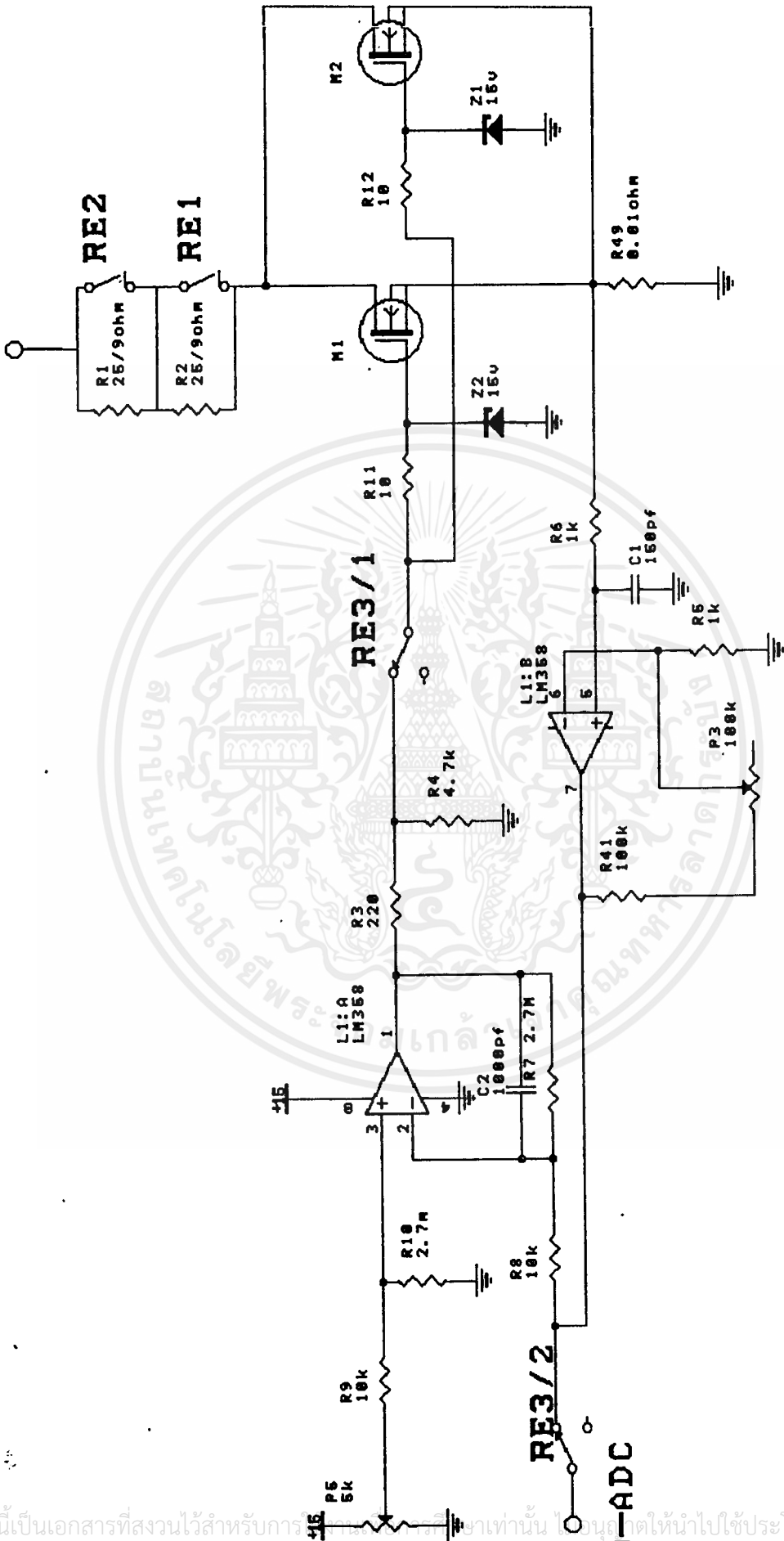
1. ส่วนดึงกระแสไฟฟ้าคงที่ (CONTINUOUS CURRENT SINK)
2. ส่วนควบคุมรีเลย์ (RELAY CONTROL)
3. ส่วนดึงกระแสไฟฟ้าชั่วขณะ (PLUS CURRENT SINK)
4. ส่วนการ INTERFACE กับคอมพิวเตอร์

#### 3.1 ส่วนดึงกระแสไฟฟ้าคงที่ (CONTINUOUS CURRENT SINK )

ตัวดึงกระแสไฟฟ้านี้ จะใช้ลักษณะ วงจรตามรูปที่ 3.1 ซึ่งจากรูปสัณยดาไฟฟ้ของ POWER SUPPLY ที่จะนำมา TEST ได้ 0 - 50 V. และสามารถดึงกระแสได้ 0 - 5 A. ซึ่งจากรูปเราจะใช้ OPAMP L1:A (LM 358) เป็นตัว DRIVE POWER MOSFET ซึ่ง POWER MOSFET เราจะใช้เบอร์ IRF250 จำนวน 2 ตัว ที่เราใช้ POWER MOSFET 2 ตัว เพื่อให้ใช้ได้ดีกับ POWER ที่สูงขึ้น โดย P5 เป็น VR ปรับค่าได้จ่ายแรงดันให้กับขา 3 ของ OPAMP เพื่อให้ได้ค่ากระแสต่าง ๆ ที่เหมาะสมในการ TEST POWER SUPPLY VOLTAGE ที่ตกคร่อม R49 (Rsense) จะสัมพันธ์กับ LOAD CURRENT ซึ่งจะถูกนำไปใช้กับ OPAMP L1:B (LM 358) และ OUTPUT ของ L1:B นี้ จะ FEED BACK ไปที่ L1:A ซึ่งความสัมพันธ์ ที่ VOLTAGE ที่ตกคร่อม R49 เปลี่ยนไปทำให้เกิดการเปลี่ยนแปลง INPUT (-) ของ L1:A ทำให้ LOAD CURRENT มีค่าคงที่ ส่วน P3 (VR100K) ใช้สำหรับควบคุม VOLT/AMP ของการ FEED BACK เพื่อให้ได้ OUTPUT ที่เหมาะสมกับภาคแสดงผล

เนื่องจากเครื่องตรวจสอบ POWER SUPPLY นี้สามารถดึงกระแสไฟฟ้ถึง 5 แอมป์ และใช้งานที่ระดับสัณยดาไฟฟ้อินพุท (จาก POWER SUPPLY ที่ทำการ TEST) มีค่า 0 - 50 โวลท์ จะเห็นได้ว่าจะเกิด POWER LOSS ที่ POWER MOSFET ในกรณีที่ไม่มี R1 และ R2 (R ควบคุมรีเลย์) ซึ่งอาจทำให้ POWER MOSFET เสียหายได้ ดังนั้น จึงต้องนำความต้านทาน มาช่วยแบ่งแรงดันที่ตกคร่อม POWER MOSFET เพื่อให้สามารถ TEST POWER SUPPLY ที่มีค่าสัณยดาสูง ๆ ได้

TO TEST SUPPLY [0V-50V]



รูปที่ 3.1 แสดงวงจรกรัดกระแสไฟฟ้าคงที่ (CONTINUOUS CURRENT SINK)

เอกสารนี้เป็นเอกสารที่สงวนไว้สำหรับการใช้ภายในเท่านั้น กรุณาอย่าเผยแพร่โดยไม่ได้รับอนุญาตให้นำไปใช้ประโยชน์ด้านการค้า  
ไม่ว่ากรณีใดๆ ทั้งสิ้น อีกทั้งห้ามมิให้ดัดแปลงเนื้อหา และต้องอ้างอิงถึงเจ้าของเอกสารทุกครั้งที่มีการนำไปใช้

ในที่นี้ความต้านทาน (R1 และ R2) ต่อคร่อม CONTACT ของ RELAY โดยเมื่อถึงค่าระดับแรงดันไฟฟ้าที่กำหนดก็ให้ CONTACT ของ RELAY เปิดออก ให้กระแสไหลผ่านตัวความต้านทานแทน ในที่นี้ออกแบบ RELAY ON หรือ OFF ในช่วง สักค่า INPUT ต่าง ๆ ดังนี้

สักดาไฟฟ้าอินพุท	RELAY1	RELAY2
น้อยกว่า 20 V	OFF	OFF
20 - 35 V	OFF	ON
35 - 50 V	ON	ON

- หมายเหตุ
1. OFFในที่นี้หมายถึง CONTACTปิดและ ON หมายถึง CONTACTเปิด
  2. CONTACT ของ RELAY มีลักษณะ NORMALLY CLOSE

จากช่วง ON และ OFF ของ RELAY ที่แสดงจะเห็นว่าความค่าความต้านทานที่ เหมาะสมที่จะใช้จะต้องมีค่าประมาณ  $25/9$  OHM โดยจะเห็นว่าเมื่อ RELAY ตัวที่ 2 ON ที่ระดับไฟฟ้า 20 VOLT จะเกิดสักดาไฟฟ้าคร่อมความต้านทาน  $25/9$  OHM มากที่สุด 13.89 โวลท์ ขณะที่ดึงกระแสไฟฟ้า 5 แอมป์ นั่นคือ ยังมีสักดาตกคร่อม FET และ R 49 เพียงพอที่จะทำให้ FET ดึงกระแสไฟฟ้าต่อไปโดยค่ากระแสไฟฟ้าที่ดึงไม่ตกเช่นกันเนื่องจากความต้านทาน R  $25/9$  OHM นี้ต้องทนกระแสไฟฟ้าสูงสุด 5 แอมป์ ดังนั้น ค่าความต้านทาน  $25/9$  OHM นี้ ต้องทนกำลังไฟฟ้าได้ประมาณ 69 WATT ( $5^2 * 25/9 = 69 \text{ WATT}$ ) แต่เพื่อเป็นการป้องกันจึงควรเพื่อค่ากำลังไฟฟ้าที่ตัวความต้านทานทนได้ ให้มีค่ามากกว่านี้ ในที่นี้ใช้ความต้านทานที่ทนกำลังไฟฟ้าได้ 90วัตต์

โดยใช้ตัวความต้านทาน 25 OHM 10 WATT มาต่อขนานกัน 9 ตัว สำหรับค่า  $R_{SENSE}$  (R49) จะต้องใช้ค่าความต้านทานที่มีค่าต่ำที่สุด เพื่อให้ค่าศักย์ดาไฟฟ้าคร่อมตัวมันมีค่าน้อย ๆ ซึ่งจะทำให้ค่าศักย์ดาไฟฟ้า INPUT (จาก POWER SUPPLY) ที่สามารถ TEST ได้มีค่าต่ำที่สุด ในที่นี้ใช้  $R_s$  หรือ R49 เท่ากับ 0.01 OHM

### 3.2 ส่วนควบคุมและขับรีเลย์(RELAY CONTROL)

หลักการของวงจรในส่วนที่แสดง ในรูปที่ 3.2 ในโครงงานนี้ใช้ COMPARATOR (L311) เป็นตัวควบคุมการทำงานของ RELAY เนื่องจากเป็น COMPARATOR ที่ใช้ ไฟเลี้ยงบวกเพียงอย่างเดียว (ใช้ไฟเลี้ยงบวก 5 V.) และมีราคาถูกในที่นี้ได้ออกแบบไว้ ให้ RELAY ON หรือ OFF ที่ระดับศักย์ดาไฟฟ้าอินพุตต่าง ๆ ดังแสดงไว้ในหัวข้อ 3.1.1 ซึ่งการกำหนดระดับศักย์ดาไฟฟ้าที่ RELAY จะ ON หรือ OFF นี้กำหนดโดยพิจารณาถึงค่า POWER LOSS ที่ FET ซึ่งเราสามารถคำนวณหาค่า POWERLOSS ที่ FET ในแต่ละช่วง ดังนี้

$$VIN = < 20 ; P = (VIN - 0.01*I)*I = VIN*I - 0.01* I^2$$

$$20 < VIN = < 35 ; P = (VIN - 2.7878*I)*I = VIN*I - 2.7878*I^2$$

$$35 < VIN = < 50 ; P = (VIN - 5.5656*I)*I = VIN*I - 5.5656*I^2$$

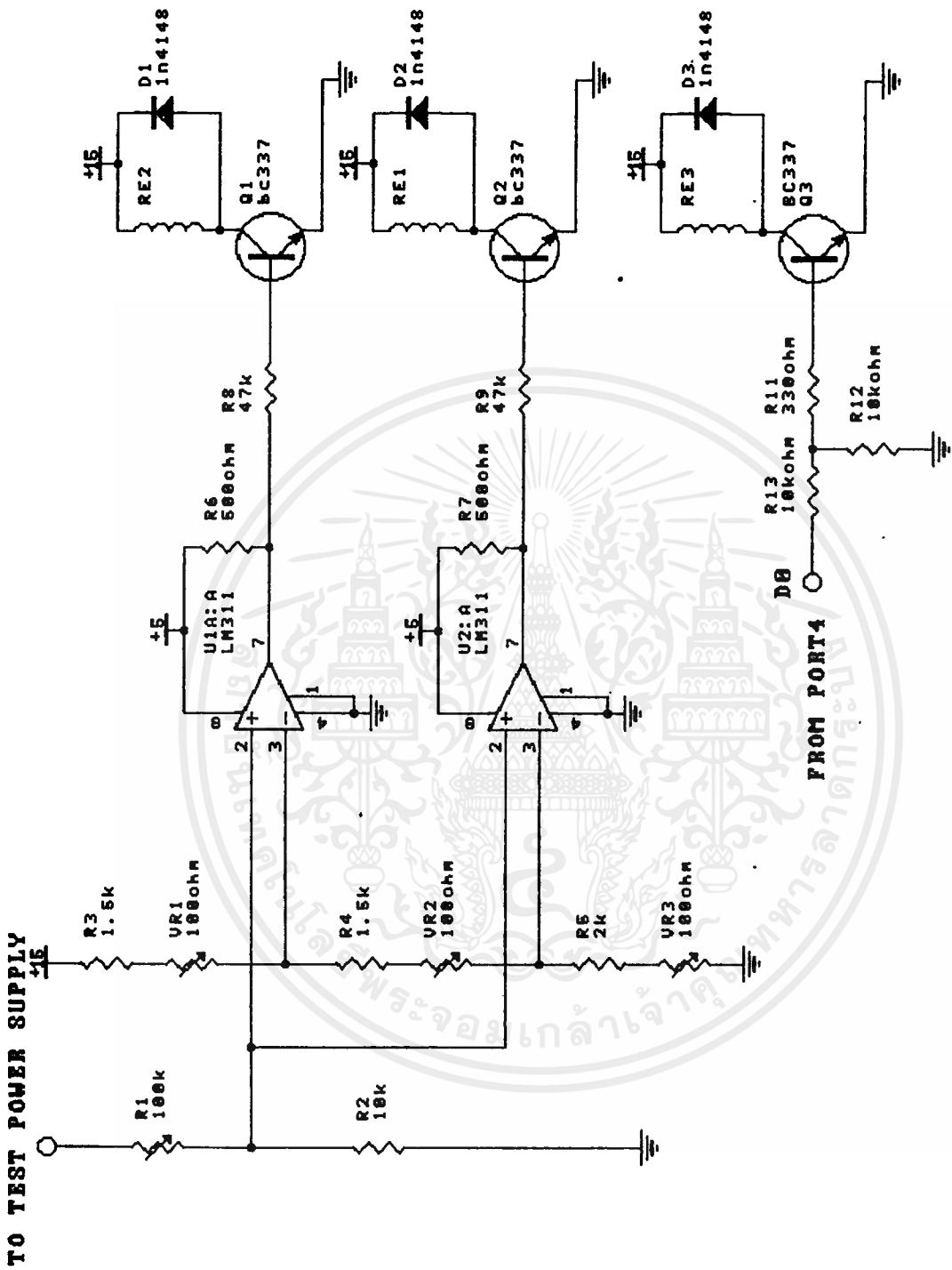
จะได้ Pmax ของ POWER MOSFET ในแต่ละช่วง ดังนี้

$$VIN = < 20 ; Pmax = 99.75 W$$

$$20 < VIN = < 35 ; Pmax = 105.305 W$$

$$35 < VIN = < 50 ; Pmax = 110.86 W$$

จาก DATASHEET ของ POWER MOSFET นั้น FET แต่ละตัวสามารถทนกำลังได้ 150 WATT ซึ่งในวงจรเราให้ Pmax ของ FET 2 ตัว เท่ากับ 110.86 WATT เพราะฉะนั้น FET 1 ตัว Pmax = 55.43 WATT ซึ่งก็สามารถแน่ใจได้ว่า FET จะไม่เกิดความเสียหายในการทำงาน จากการเขียน SOFTWARE เมื่อ VOLTAGE เกิน 50 V. จะมีสัญญาณเตือน จากเครื่องคอมพิวเตอร์



รูปที่ 3.2 ส่วนควบคุมและขับรีเลย์ (RELAY CONTROL)

จากรูป 3.2 จะเห็นว่าเรานำศักย์ค่าไฟฟ้า 5 V. มาทำการ DEVIDER แล้วป้อนเข้าขา INVERTING ของ COMPARATOR เพื่อเป็น Vref นั้นเพราะว่าในการใช้งาน วงจร COMPARATOR นั้นค่า Vref จะมีค่ามากกว่าไฟเลี้ยงไม่ได้ (ไฟเลี้ยง COMPARATOR มีค่า 5 V.) ซึ่งถ้า Vref มีค่ามากกว่าไฟเลี้ยงที่จ่ายให้แก่ COMPARATOR จะทำให้ COMPARATOR ตัวนั้นไม่ทำงานหรือทำงานผิดพลาดในวงจรจะมีค่าความต้านทาน R2 และ R1 ซึ่งมีค่า 10 KHOM และ 90 KHOM ตามลำดับมาเป็นตัว DEVIDER ศักย์ค่าไฟฟ้า INPUT และป้อนเข้าที่ขา NONINVERTING ของ COMPARATOR ทุกตัว โดยเมื่อใดก็ตามที่ศักย์ค่าไฟฟ้า INPUT ที่ขา NONINVERTING นี้มีค่ามากกว่าระดับศักย์ค่าไฟฟ้าที่ขา INVERTING ของ COMPARATOR (Vref) ก็จะทำให้ RELAY ตัวนั้น ๆ ทำงาน

สำหรับส่วนขับ RELAY ก็มีลักษณะเหมือนกัน ๆ ไป คือ มี TRANSISTER เป็นตัวขับกระแสไฟฟ้าให้แก่ขดลวดของ RELAY โดยที่ไดโอดต่อคร่อมขดลวด RELAY เพื่อป้องกันกระแสไฟฟ้าไหลกลับเป็นตัวป้องกันตัว RELAY ไม่ให้เกิดความเสียหาย และมีตัวความต้านทาน R6, R7 และ R8 ซึ่งมีค่าประมาณ 47 KOHM เป็นตัวจำกัดกระแสไฟฟ้าที่ไหลผ่านขดลวด RELAY

### 3.3 การออกแบบวงจรส่วนดึงกระแสชั่วขณะ

จากรูป 3.3 เป็นวงจรใช้งานของวงจรกำเนิด PLUSE โดยใช้ TL494 เป็นตัวกำเนิดความถี่โดยให้ความถี่ 4 ความถี่ จากสูตรความถี่ของสัญญาณพัลส์ ONPUT ของ TL494 (เมื่อมีการใช้งานในลักษณะ SINGLE-END ที่เอาท์พุททรานซิสเตอร์ต่อขนานกัน)

$$FO = 1.1 / (Rt * Ct)$$

จากสูตรจะเห็นว่าค่าความถี่ของสัญญาณนั้นถูกกำหนดโดยอุปกรณ์ที่ต่อจากภายนอก คือ Rt และ Ct ในที่นี้กำหนดให้ค่า Ct คงที่แล้วเปลี่ยนค่าความถี่ โดยเปลี่ยนค่า Rt ซึ่งใช้ความต้านทานปรับค่าได้มาต่ออนุกรมกับตัวต้านทานคงที่ เพื่อให้ความถี่ถูกต้องแน่นอน โดยกำหนด Ct = 0.01 uF



จากสูตรข้างต้น จะได้ค่าความต้านทาน ( $R_t$ ) มีความถี่ต่าง ๆ ดังนี้

$$R_T = 110 \text{ KOHM ที่ความถี่สัญญาณเข้าที่พืท 1 KHz}$$

$$R_T = 11 \text{ KOHM ที่ความถี่สัญญาณเข้าที่พืท 10 KHz}$$

$$R_T = 2.2 \text{ KOHM ที่ความถี่สัญญาณเข้าที่พืท 50 KHz}$$

$$R_T = 1.1 \text{ KOHM ที่ความถี่สัญญาณเข้าที่พืท 100 KHz}$$

หมายเหตุ  $R_T$  คือ  $R$  ที่ ขา 6 กับ GND

โดยใช้ ELECTRONIC SWITCH IC เบอร์ 4066(L4:A) เป็นตัวเลือกความถี่ โดยใช้สัญญาณจาก PORT2 เป็นตัวควบคุม ส่วน DUTY CYCLE จะแบ่งออกเป็น 8 ช่วง คือ 50%, 45%, 40%, 35%, 30%, 25%, 20%, 15% โดยใช้ ELECTRONIC SWITCH L2:A และ L3:A เป็นตัวเลือก โดยใช้สัญญาณจาก PORT1 เป็นตัวควบคุม

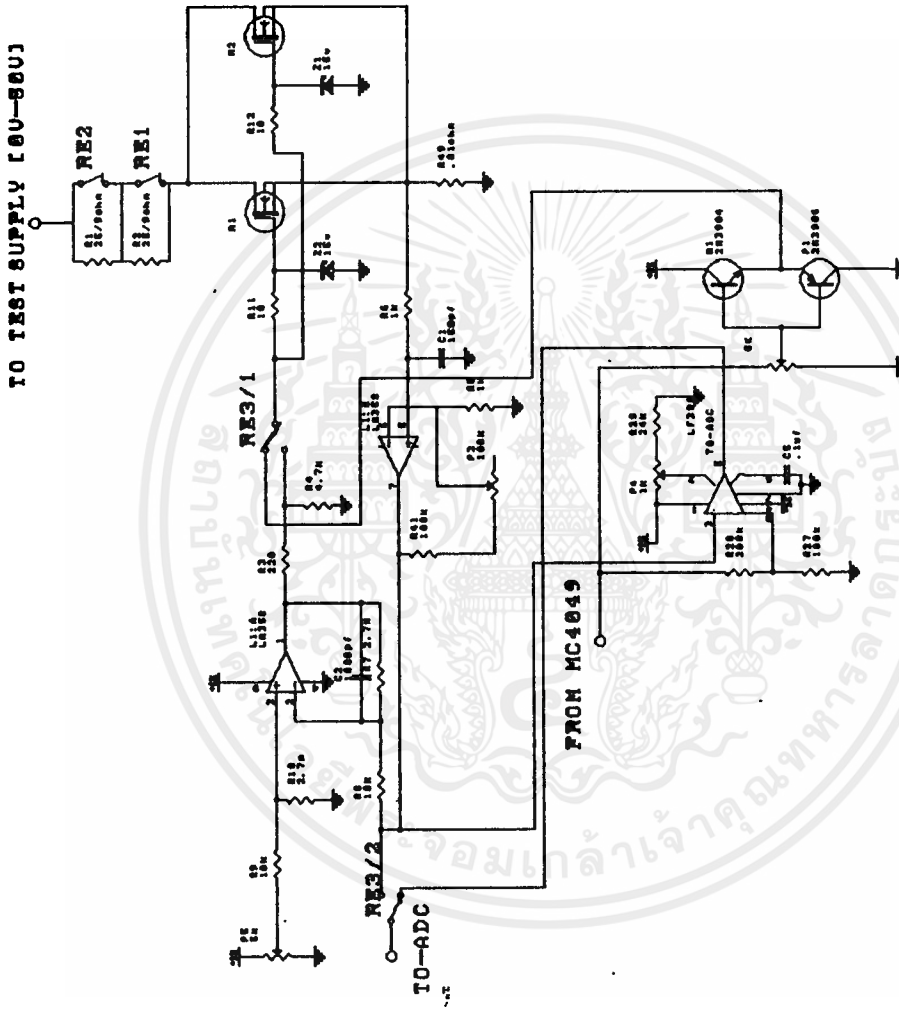
ในการปรับ DUTY CYCLE นั้นใช้การปรับค่าศักย์ดาไฟฟ้าที่ขา 4 (ขา DEAD TIME CONTROL) โดยใช้รูปแบบการใช้งาน TL494 ในลักษณะวงจร DEAD TIME CONTROL ซึ่ง จะได้ว่า

$$\text{MAXIMUM ON TIME} = 90 - [80 / 1 - (R_1 / R_2)]$$

หมายเหตุ จากวงจร  $R_1$  คือค่า  $R$  ที่ต่อระหว่างขา 4 กับขา 14 ส่วน  $R_2$  คือ  $R_{13}$  ที่ต่อขา 4 กับ GND ซึ่งเรากำหนดคงที่ไว้ 1 KOHM

ดังนั้น เมื่อปรับค่า DUTY CYCLE จะต้องให้  $R_1$  เป็นความต้านทานที่สามารปรับค่าได้ และจะต้องมีค่ามากกว่า  $R_2$  มาก ๆ เมื่อต้องการให้ DUTY CYCLE มีค่าเข้าใกล้ 90 เปอร์เซ็นต์ แต่ในที่นี้เราออกแบบให้วงจรมี DUTY CLCLE สูงสุดที่ 50% เนื่องจากถ้าให้ DUTY CYCLE สูง ๆ กระแสเฉลี่ยจะสูงตามจะทำให้เครื่องไม่สามารถ TEST ได้ถึง 10 แอมป์

จากรูป 3.4 เป็นวงจรขณะที่เราเลือกดึงกระแสแบบชั่วขณะ ซึ่งวงจรนี้สามารถดึงกระแส ชั่วขณะได้ถึง 10 แอมป์ ที่ 50 วัตต์ วงจรนี้จะใช้ IC เบอร์ TL494 เป็นตัวกำเนิดพัลส์ที่ความถี่ 1KHz, 10KHz, 50KHz และ 100KHz และมี Duty CYCLE 85%, 80%, 75%, 70%, 65%, 60%, 55%, 50% จากนั้นนำสัญญาณ PLUSE จาก TL494 มาผ่าน BUFFER MC 4049 ซึ่งเป็น INVERTER จะทำให้ DUTY CYCLE เปลี่ยนเป็น 15%, 20%, 25%, 30%, 35%, 40%, 45%, 50%



รูปที่ 3.4 แสดงวงจรการดึงกระแสพัลส์ (PULSE CURRENT SINK)

และMC14049 ยังทำการ DRIVE ให้สัญญาณ PLUSE มีกระแสสูงขึ้นเพื่อไม่ให้เกิดการ LOAD สัญญาณจาก TL494 จากวงจรอื่นที่นำมาต่อ จาก MC 4049 ส่ง PLUSE เข้าไปที่ VR 5KOHM เพื่อปรับระดับ VOLTAGEก่อนที่จะมาเข้าขา BASE ของ TRANSISTOR N1 และ P1 ซึ่งต่อแบบ COMPLEMENTARY ซึ่งเป็นวงจรที่มี OUTPUT IMPEDANCE ต่ำ เนื่องจากขา GATE ของ POWER MOSFET เปรียบเสมือนเป็นตัว CAPACITOR

ดังนั้น ในการ DRIVE POWER MOSFET จึงเปรียบเสมือนการ CHARGE และ DISCHARGE CAPACITOR นั้นเอง ดังนั้นเมื่อส่วนขับ POWER MOSFET มีค่า OUTPUT IMPEDANCE ต่ำ แล้วจะทำให้การ CHARGE และ DISCHARGE เป็นไปได้อย่างรวดเร็ว ทำให้รูปสัญญาณ ออกมาดีและขยายกระแสที่จ่ายให้ POWER MOSFET มีค่าสูงขึ้นด้วย และนำ VOLTAGE ที่ Rs หรือ R49 มาผ่าน LF398 เพื่อให้ได้ VOLTAGE เฉลี่ยเพื่อที่จะส่งไปภาคแสดงผล โดยที่LF398ภายในจะประกอบด้วยวงจร SAMPLE AND HOLD โดย LF398 จะ แสดงค่า PEAK VOLTAGE ( $PEAK CURRENT * R_s$ ) ของสัญญาณอินพุตซึ่งมีลักษณะเป็นพัลส์ ออกเป็นระดับศักย์ไฟฟ้าคงที่ โดยจะแบ่งการทำงานออกเป็น 2 ช่วง คือ

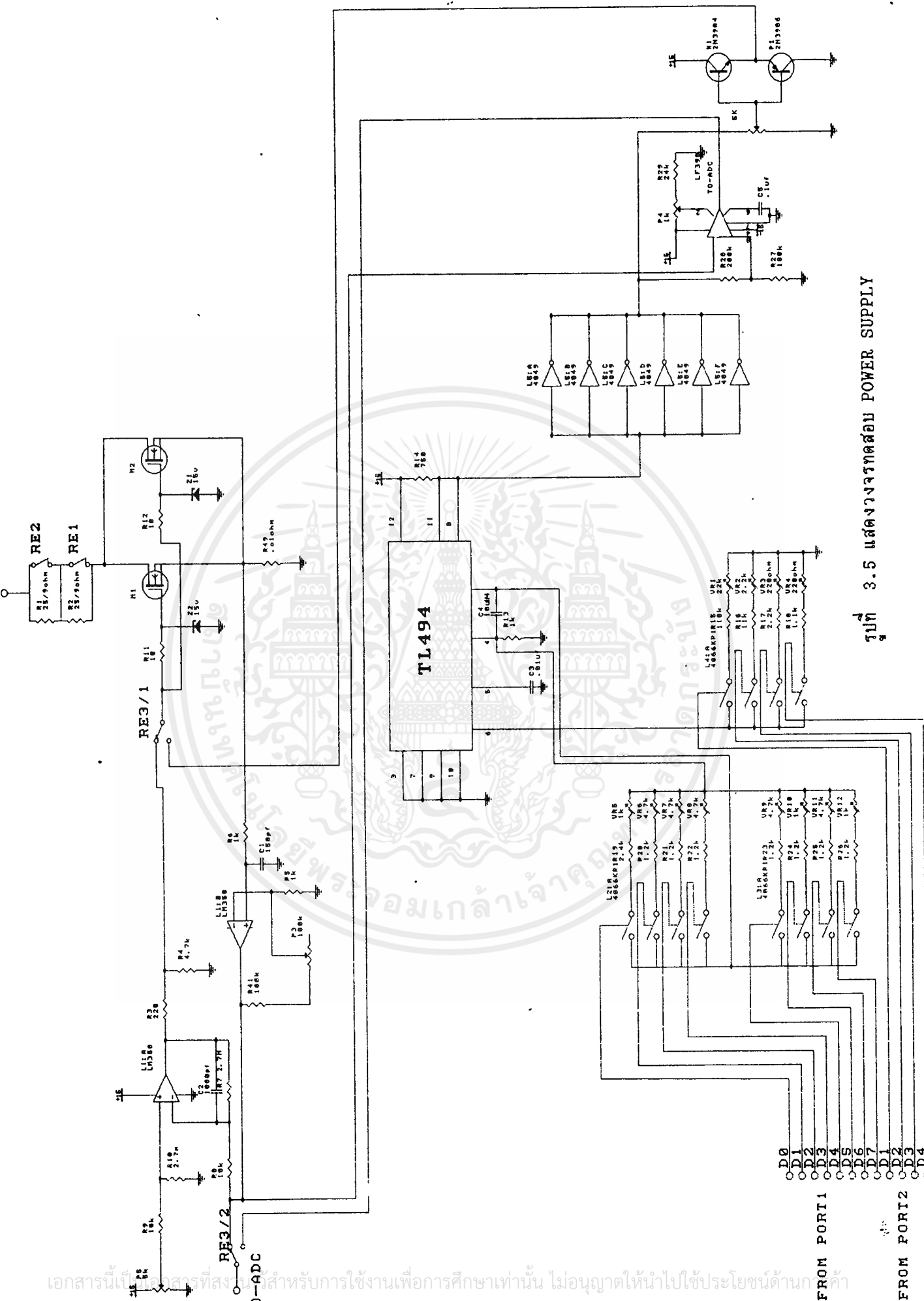
1. ช่วงSAMPLE ช่วงนี้LF398จะอ่านศักย์ไฟฟ้าอินพุตที่ป้อนเข้าที่ขา 3 ของ LF398 มาแสดงออกที่เข้าที่พุก (ขา5)

2. ช่วง HOLD ช่วงนี้ LF398 จะทำหน้าที่คงค่าศักย์ไฟฟ้าอินพุตที่อ่านมาไว้ใน ช่วง SAMPLE แล้วแสดงออกที่เข้าที่พุก

จากนั้นนำค่าศักย์ไฟฟ้าที่ขา 5 เข้าไปที่วงจร ADC เพื่อที่จะทำการแสดงผลออกทาง จอMONITOR ของคอมพิวเตอร์ต่อไป

จากรูปที่ 3.5 เป็นวงจร TEST POWER SUPPLY ทั้งกระแสคงที่ และกระแสชั่วขณะ ในสภาวะปกติ RELAY3 จะต่ออยู่ดังรูป ซึ่งอยู่ในลักษณะที่ใช้ TEST กระแสคงที่เริ่มจาก เมื่อเรานำ POWER SUPPLY มา TEST เราจะต้องทำให้ FET ดึงกระแส ได้โดยปรับค่า P5 (VR5K) เพื่อให้ได้ VOLTAGE ที่เหมาะสมเข้ามาขยายเข้าไป DRIVE POWER MOSFET ซึ่งเราใช้ OPAMP เบอร์ LM 358 และจะ นำ VOLTAGE ที่ตกคร่อม RS หรือ R49 ที่มีความสัมพันธ์กับ LOAD CURRENT ซึ่งจะถูกนำไปใช้กับ OPAMP L1:B และ OUTPUT L1:B นี้จะ FEED BACK ไปที่ L1:A ซึ่งความสัมพันธ์ที่ VOLTAGE ที่ตกคร่อมR49 เปลี่ยนไปทำให้เกิดการเปลี่ยนแปลง INPUT (-) ของ L1:A ทำให้ LOAD CURRENT มีค่าคงที่

TO TEST SUPPLY [0U-50U]



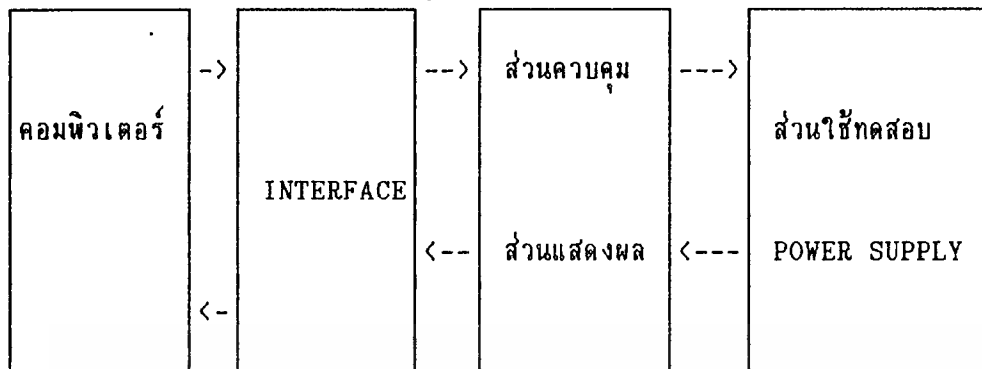
รูปที่ 3.5 แสดงวงจรทดสอบ POWER SUPPLY

เอกสารนี้เป็นเอกสารที่สงวนไว้สำหรับการใช้งานเพื่อการศึกษาเท่านั้น ไม่อนุญาตให้拿去ไปใช้ประโยชน์ด้านค้า  
 ไม่ว่ากรณีใดๆ ทั้งสิ้น อีกทั้งยังมีให้ดัดแปลงเนื้อหาและข้อมูลอ้างอิงถึงเจ้าของเอกสารทุกครั้งที่มีการนำไปใช้

ส่วน P3 (VR100K) ใช้สำหรับควบคุม VOLT/AMP ของการ FEED BACK เพื่อให้ได้ OUTPUT ที่เหมาะสม เพื่อที่จะส่งไป ADC เพื่อแสดงผลที่ MONITOR ต่อไป

ในช่วงที่ต้องการดึงกระแสแบบชั่วขณะ transistor Q3 จะถูกทริกโดยกระแสจาก DO ทำให้ RELAY3 ON ทำให้ RELAY RE3/1 SWITCH มาต่อที่ขา 3 ของ LF 398 และ RE3/2 จะ SWITCH มาต่อที่ขา 5 ของ LF 398 ซึ่ง TL 494 จะเป็นตัวกำหนดความถี่ในที่นี้ใช้ความถี่ 1K, 10K, 50K, 100K โดย R ที่ขา 6 ของ TL494 จะเป็นตัวกำหนดความถี่ ซึ่งมีค่า R110K, 11 K, 2.2K, 1.1K, โดยเลือกความถี่โดยใช้ ELECTRONIC SWITCH L4:A ในที่นี้ใช้เบอร์ 4066 โดยใช้สัญญาณจาก PORT2 เป็นตัวควบคุม ส่วน DUTY CYCLE ในที่นี้ใช้ 85%, 80%, 75%, 70% 65% 60% 55% 50% โดยใช้ ELECTRONIC SWITCH L2:A และ L3:A เป็นตัวเลือก โดยใช้สัญญาณจาก PORT1 มาควบคุม TL 494 จะส่งสัญญาณพัลส์มาเข้า BUFFER (MC14049) ซึ่งเป็น INVERTER เพื่อให้ DUTY CYCLE เปลี่ยนเป็น 15%, 20%, 25%, 30%, 35%, 40%, 45%, 50% และทำการ DRIVE กระแสส่งเข้า VR5K เพื่อปรับ VOLTAGE ให้เหมาะสมส่งเข้าขา BASE ของ P1 และ N1 เพื่อไป DRIVE ให้ FET ดึงกระแสและ VRS จะส่งเข้ามาขยายที่ OPAMP LM358 L1:B เพื่อขยายสัญญาณให้เหมาะสมส่งเข้าขา 3 ของ LF398 ส่วน VR 1K ที่ LF 398 เป็นตัวปรับ OFFSET ให้เหมาะสมและ OUTPUT ที่ขา 5 ส่งไป ADC เพื่อแสดงผลทาง MONITOR

### 3.4 การ INTERFACE



รูปที่ 3.6 แสดงบล็อกไดอะแกรมของเครื่อง AUTOMATIC POWER SUPPLY TESTER

CARD INTERFACE ประกอบไปด้วย 2 ส่วนใหญ่ก็คือ ส่วน IC 8255 ซึ่งเป็น IC ทำหน้าที่เป็น INPUT, OUTPUT PORT และส่วนของวงจร IC DECODE (เลือกตำแหน่งของ PORT 8255) คือ IC 74LS688, 74LS139 และ DIP SW.

#### การ DECODE PORT

DECODE PORT 8255 บน CARD เราจะใช้ IC TTL 74LS688, IC TTL 74LS139 และ DIP SW. 8 PIN เป็นวงจร DECODE เพื่อให้สามารถปรับ SET DIP SW. ตั้งตำแหน่งเบอร์ PORT ของ CARD ได้โดยในการปรับ DIP SW. นั้นจะต้องไม่ตรงกับตำแหน่ง PORT ของเครื่องคอมพิวเตอร์ PC ด้วยดังรูป

Hex Range	Usage
000-00F	DMA Chip 8237A-5
020-021	Interrupt 8259A
040-043	Timer 8253-5
060-063	PPI 8255A-5
080-083	DMA Page Registers
0AX*	NMI Mask Register
0CX	Reserved
0EX	Reserved
200-20F	Game Control
210-217	Expansion Unit
220-24F	Reserved
278-27F	Reserved
2F0-2F7	Reserved
2F8-2FF	Asynchronous Communications (Secondary)
300-31F	Prototype Card
320-32F	Fixed Disk
378-37F	Printer
380-38C**	SDLC Communications
380-389**	Binary Synchronous Communications (Secondary)
3A0-3A9	Binary Synchronous Communications (Primary)
3B0-3BF	IBM Monochrome Display/Printer
3C0-3CF	Reserved
3D0-3DF	Color/Graphics
3E0-3E7	Reserved
3F0-3F7	Diskette
3F8-3FF	Asynchronous Communications (Primary)

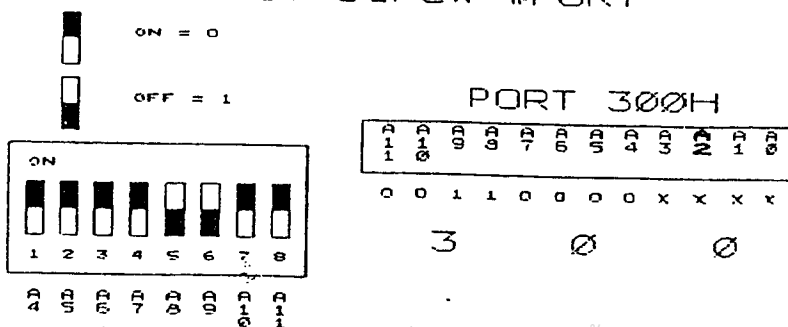
\* At power-on time, the Non Mask Interrupt into the 8088 is masked off. This mask bit can be set and reset through system software as follows:  
Set mask: Write hex 80 to I/O Address hex A0 (enable NMI)  
Clear mask: Write hex 00 to I/O Address hex A0 (disable NMI)

\*\* SDLC Communications and Secondary Binary Synchronous Communications cannot be used together because their hex addresses overlap.

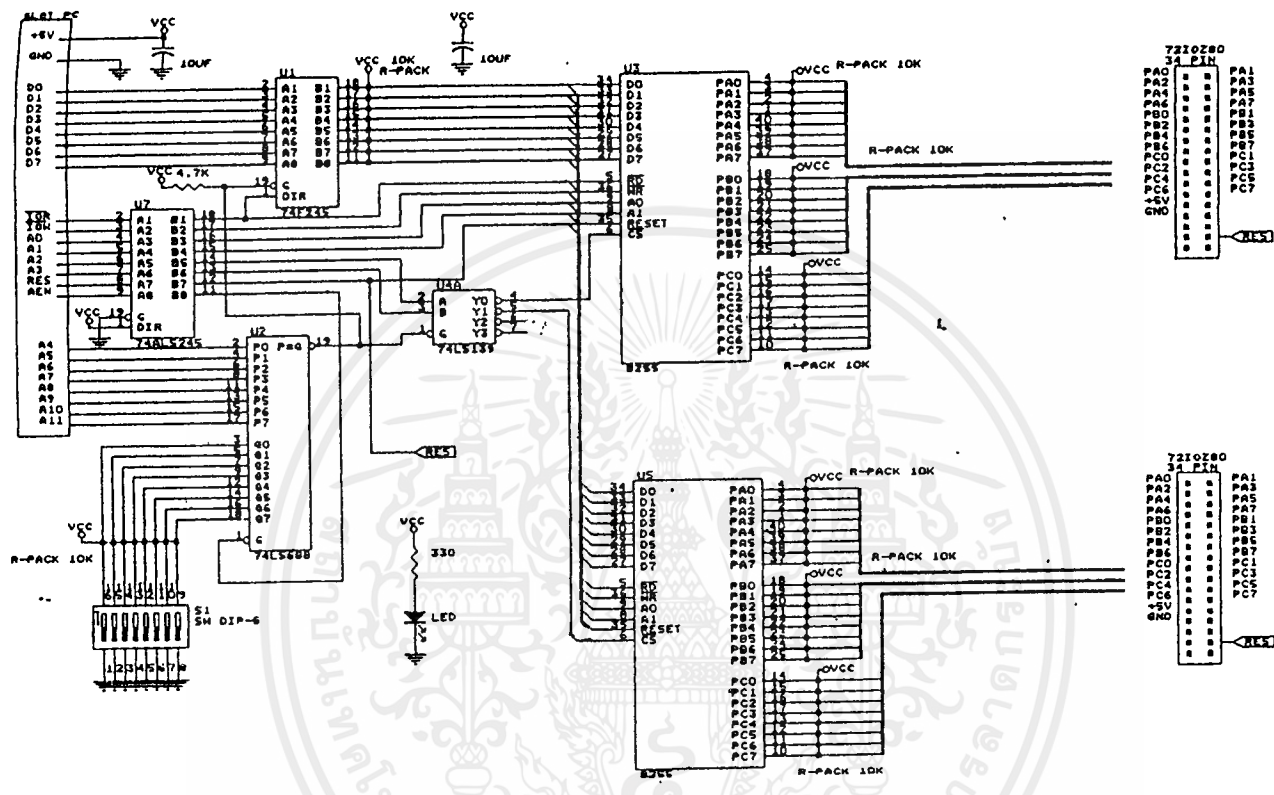
รูปที่ 3.7 I/O ADDRESS MAP

เราตั้งเบอร์ DECODE PORT ได้โดยการปรับ DIP SW. ซึ่งมีค่าเท่ากับค่า ADDRESS นั้นๆ เช่นเราตั้งตำแหน่ง 300H จะ SET DIP SW. ดังนี้

SET DIPSW #PORT



เอกสารนี้เป็นเอกสารที่สงวนไว้สำหรับการใช้งานเพื่อการศึกษาเท่านั้น ไม่อนุญาตให้นำไปใช้ประโยชน์ด้านการค้า ไม่ว่ากรณีใดๆ ทั้งสิ้น อีกทั้งห้ามมิให้ตัดแปลงเนื้อหาและต้องอ้างอิงถึงเจ้าของเอกสารทุกครั้งที่มีการนำไปใช้



รูปที่ 3.8 แสดงวงจรของ CARD INTERFACE

เอกสารนี้เป็นเอกสารที่สงวนไว้สำหรับการใช้งานเพื่อการศึกษาเท่านั้น ไม่อนุญาตให้นำไปใช้ประโยชน์ด้านการค้า  
 ไม่ว่ากรณีใดๆ ทั้งสิ้น อีกทั้งห้ามมิให้ดัดแปลงเนื้อหาและต้องอ้างอิงถึงเจ้าของเอกสารทุกครั้งที่มีการนำไปใช้

การควบคุมและการแสดงผล

วงจรเปลี่ยนสัญญาณอนาล็อกเป็นดิจิตอล (Analog to Digital Converter)

วงจรนี้จะใช้ IC #ADC 0809 ซึ่งจะทำการแปลงสัญญาณอนาล็อก 0-5 โวลต์ เป็นสัญญาณดิจิตอลขนาด 8 บิต เพื่อนำสัญญาณนี้มาใช้กับคอมพิวเตอร์ ในการเปลี่ยนแปลง Analog Input แต่ละค่าให้ทำการ Active ที่ขา Output Enable (OE) เพื่อที่จะอ่านค่า Output ที่ออกจากตัว IC #ADC 0809 ซึ่งเป็นสัญญาณ Digital แล้วเราสามารถทำการตรวจสอบว่า Voltage ที่ออกไปทางด้าน Output D0-D7 ที่เป็น Digital ได้โดยการนำสัญญาณ Digital ที่ออกมาเป็นเลขฐานสิบหก แปลงให้เป็นเลขฐานสิบ แล้วจึงนำไปคำนวณหาค่า ดังตัวอย่างต่อไปนี้

เมื่อป้อนค่า Analog Input = 5 Volt ผล Digital Output อ่านค่าได้

FFH

FFH เมื่อทำเป็นเลขฐานสิบ = 255

Digital Output Converse to Analog =  $(255 * 5) / 255$   
= 5.00 Volt

ตารางที่ 1 แสดงการเลือก Channel Input

SELECTED ANALOG CHANNEL	ADDRESS LINE		
	A	B	C
IN0	L	L	L
IN1	L	L	H
IN2	L	H	L
IN3	L	H	H
IN4	L	L	L
IN5	L	L	H
IN6	L	H	L
IN7	L	H	H

การทำงานของตัว ADC0809 จะให้ระดับสัญญาณดิจิทัลได้ 8 Bit ซึ่ง จะกำหนดเป็นการเปลี่ยนของระดับข้อมูลได้ถึง 256 ระดับ ซึ่งแสดงว่าระดับสัญญาณ 8 Bit นี้จะแปรค่ามีความสัมพันธ์กับสัญญาณอนาล็อกได้ถึง 256 ระดับ ซึ่งระดับค่าของ แรงดันอินพุตที่จ่ายให้กับ ADC0809 ซึ่งจะสามารถกำหนดช่วงของสัญญาณ(Span) ได้ โดยกำหนดจากระดับแรงดันอ้างอิงทางบวก(REF+) และระดับอ้างอิงทางลบ(REF-) จากลักษณะของวงจรที่รับสัญญาณแรงดัน 0-5 โวลต์ เพื่อเปลี่ยนเป็นสัญญาณดิจิทัล(00H-FFH) ในรูปของเลขฐานสิบ ดังนั้นจะกำหนด ค่าอ้างอิงทางบวกที่ระดับไฟ 5 โวลต์ และ ค่าอ้างอิงทางลบที่ระดับไฟ 0 โวลต์ ในการหาค่าการเปลี่ยนแต่ละครั้งต่อการเปลี่ยน ของสัญญาณอินพุต จะคำนวณได้จากสมการ

$$\text{ระดับสัญญาณที่เปลี่ยน} = \{ V(I/P) - V(REF-) \} / \{ V(REF+) - V(REF-) \} * 255$$

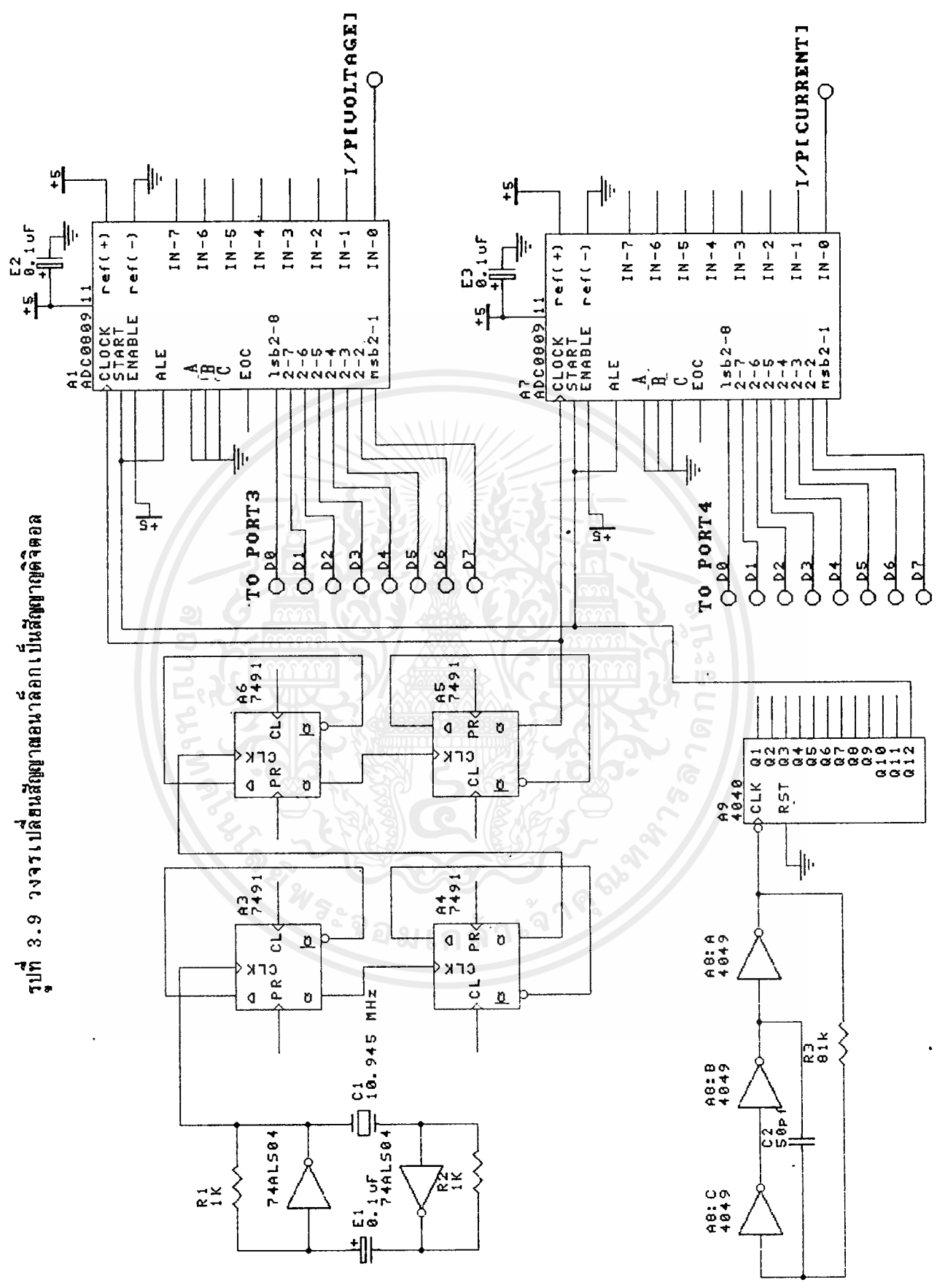
จากการคำนวณได้จะเป็นค่าระดับการเปลี่ยนแปลงต่อการเปลี่ยนแปลงของ สัญญาณอินพุต ซึ่งจะเป็นค่าของเลขที่อยู่ฐานสิบ เมื่อแปลงเป็นเลขฐานสิบหก หรือ ฐานสอง ก็จะทำให้รู้ระดับสัญญาณดิจิทัลที่เข้าสู่คอมพิวเตอร์

ช่วงการทำงานในการแปลงสัญญาณของตัว ADC0809 จะใช้สัญญาณนาฬิกา ในการแปลงสัญญาณ สัญญาณนาฬิกาที่ใช้จะอยู่ในช่วง 10 กิโลเฮิร์ต ถึง 1.28 เมกกะเฮิร์ต (slot) ของเครื่องคอมพิวเตอร์ จากการออกแบบเพื่อไม่ให้รบกวนสัญญาณนาฬิกาของ เครื่องคอมพิวเตอร์ จึงสร้างวงจรนาฬิกาความถี่ 1 เมกกะเฮิร์ตให้ตัว ADC0809 ทำงาน ได้

จากลักษณะวงจรการทำงานของตัว ADC0809 เมื่อเริ่มให้ทำการแปลงสัญญาณ ในกรณีแรกจะต้องกำหนด(Set) สัญญาณSTART และ ALE โดยจะพิจารณาได้จาก ไทม์มิ่งไดอะแกรม (Timing Diagram) ของตัว ADC0809 ในรูป (เอกสารอ้างอิง ของอุปกรณ์) ในการกำหนดสัญญาณ START และ ALE เราจะใช้การกำหนดทาง HARDWARE ในการเริ่ม START โดยการป้อนความถี่ 25 Hz จากวงจร RING OSCILLATOR และ IC ทารความถี่ (4040)

จากลักษณะที่บรรยายได้วงจรดังรูป 3.9

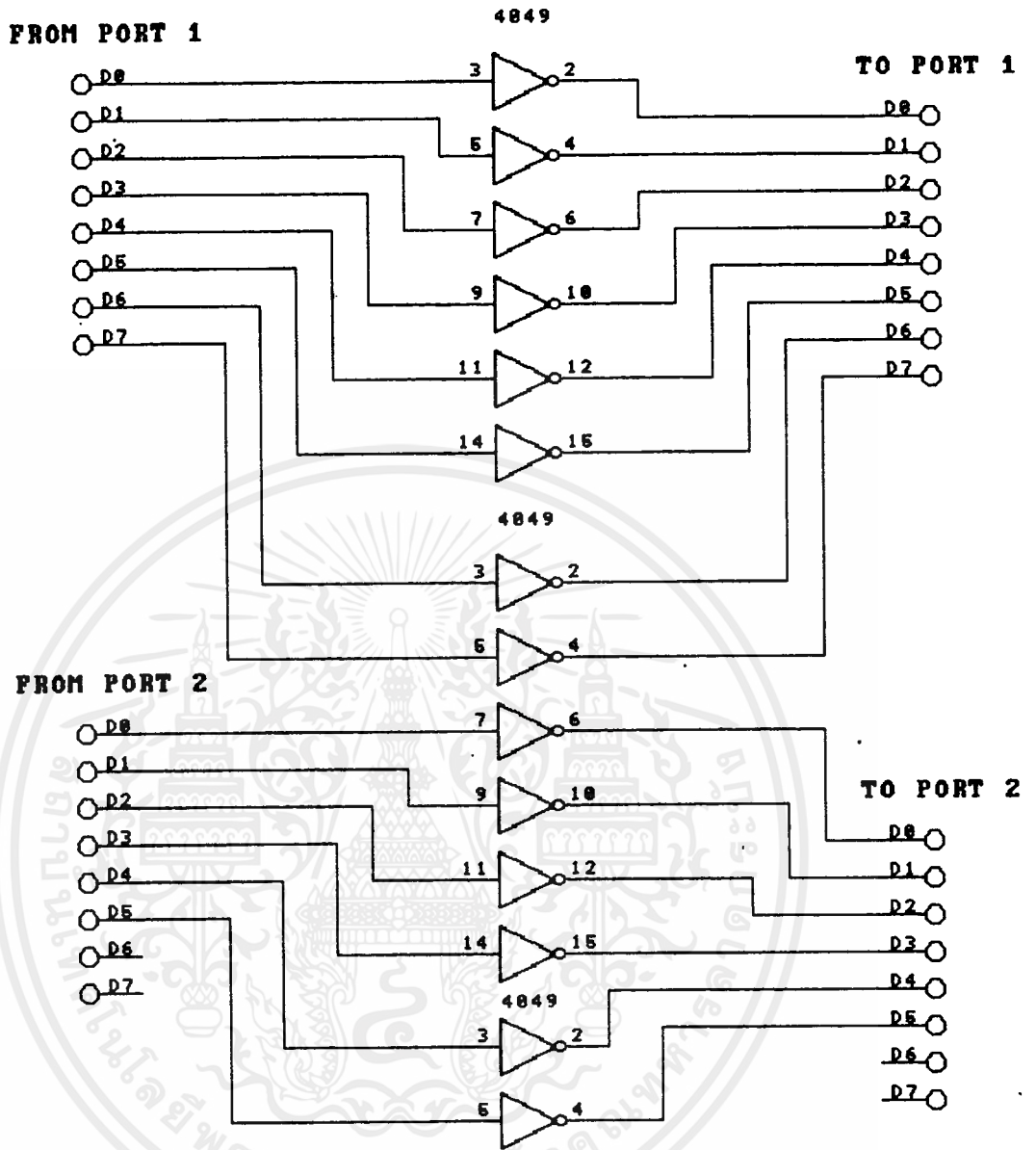
รูปที่ 3.9 วงจรเปลี่ยนสัญญาณอนาล็อกเป็นสัญญาณดิจิทัล



เอกสารนี้เป็นเอกสารที่สงวนไว้สำหรับการใช้งานเพื่อการศึกษาเท่านั้น ไม่อนุญาตให้นำไปใช้ประโยชน์ด้านการค้า  
ไม่ว่ากรณีใดๆ ทั้งสิ้น อีกทั้งห้ามมิให้ตัดแปลงเนื้อหาและต้องอ้างอิงถึงเจ้าของเอกสารทุกครั้งที่มีการนำไปใช้

รูปที่ 3.9 แสดงวงจรเปลี่ยนสัญญาณอนาล็อกเป็นสัญญาณดิจิทัลซึ่งรับสัญญาณอนาล็อกจาก วงจรรูปที่ 3.2 และรูปที่ 3.5 โดยจะนำโวลต์เตจจากวงจรรูปที่ 3.2 จากการ DIVIDER VOLTAGE ให้ได้ 0-5 โวลต์ มาเข้าวงจรเปลี่ยนสัญญาณอนาล็อกเป็นสัญญาณดิจิทัล ออกที่พอร์ต 3 จะแสดงเป็นโวลต์เตจ ในช่วง 0-50 โวลต์ ส่วนที่จะนำมาแสดงกระแสที่ดึงได้ โดยจะนำโวลต์เตจ 0-5 โวลต์ จากวงจรรูปที่ 3.5 มาเข้าวงจรเปลี่ยนสัญญาณอนาล็อกเป็นสัญญาณดิจิทัลออกที่พอร์ต 4 จะแสดงกระแสที่เครื่อง AUTOMATIC POWER SUPPLY ทำการดึง 0-10 แอมป์

ในการควบคุมอิเล็กทรอนิกส์สวิตซ์จาก 8255 นั้น ต้องมีโวลต์เตจ 12 โวลต์ สำหรับควบคุมการทำงานของอิเล็กทรอนิกส์สวิตซ์ ดังนั้นจึงต้องทำโวลต์เตจจาก 8255 ซึ่งมีโวลต์เตจ 5 โวลต์ เป็น 12 โวลต์ โดยผ่าน BUFFER ในที่นี้ใช้เบอร์ MC14049 ซึ่งเป็นอินเวอเตอร์ดังแสดงในรูปที่ 3.10 ในการนำข้อมูลที่ออกไปควบคุมการทำงานของอิเล็กทรอนิกส์สวิตซ์ในการเลือกดึงกระแสแบบพัลส์หรือแบบคงที่ และเลือกความถี่ , DUTY CYCLE ในการดึงกระแสแบบพัลส์ ซึ่งข้อมูลที่ออกมาควบคุมจะนำไปควบคุมรูปที่ 3.5 ดังแสดงในตารางที่ 2 แสดงข้อมูลออกที่พอร์ต 1 เพื่อไปควบคุมอิเล็กทรอนิกส์สวิตซ์ เพื่อปรับ duty cycle และในตารางที่ 3 แสดงข้อมูลออกที่พอร์ต 2 ไปควบคุมอิเล็กทรอนิกส์สวิตซ์ เพื่อเลือกความถี่ นำไปควบคุมวงจรรูปที่ 3.5 และควบคุม RELAY 3 ในวงจรรูปที่ 3.2



รูปที่ 3.10 แสดงการนำข้อมูลผ่าน BUFFER เพื่อนำไปควบคุมอิเล็กทรอนิกส์สวิตช์

ตารางที่ 2 แสดงข้อมูลออกที่พอร์ต 1 เพื่อไปควบคุมมิเลคทรอนิกส์สวิตช์ เพื่อปรับ duty cycle

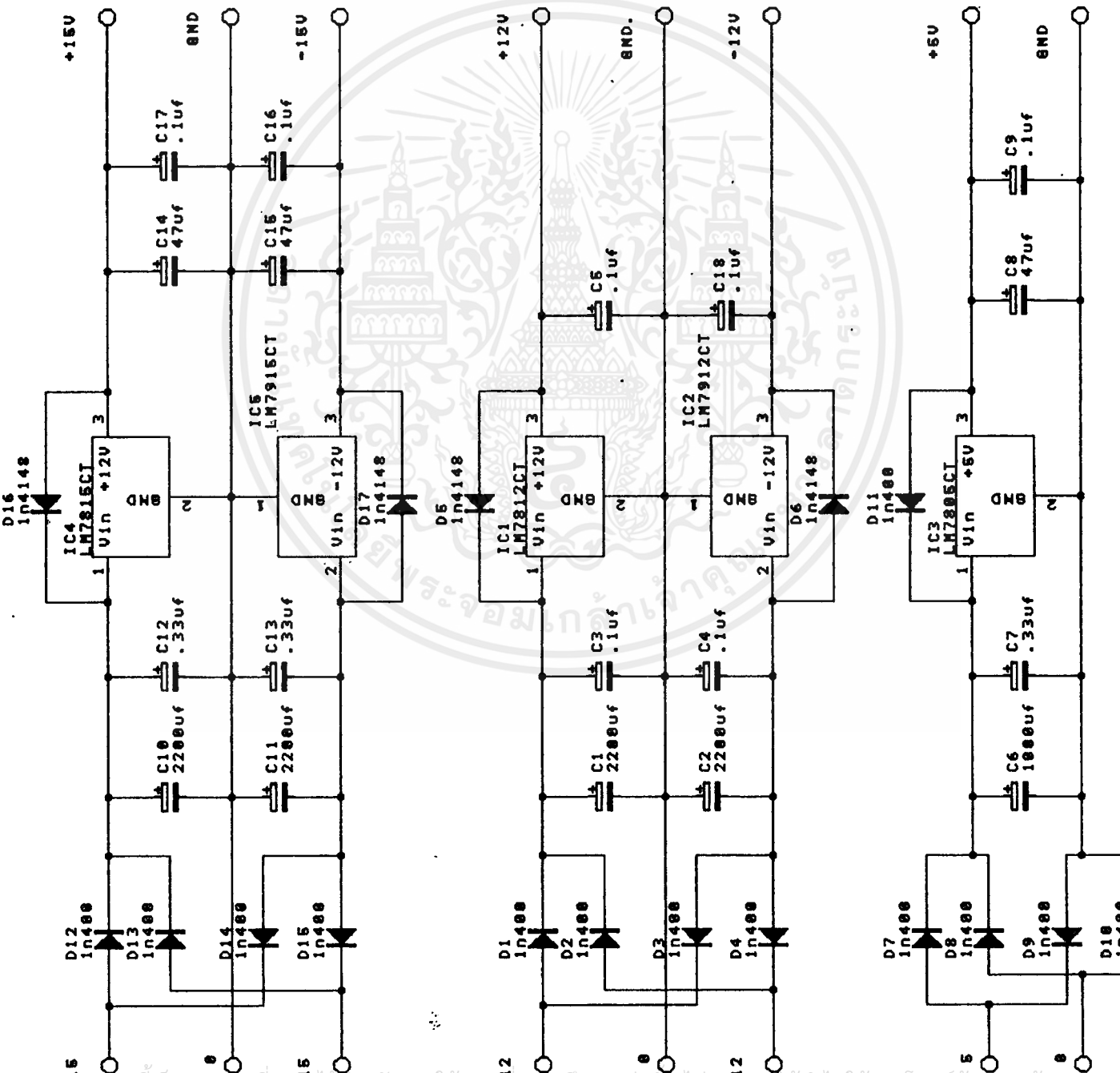
duty cycle	D7	D6	D5	D4	D3	D2	D1	D0
50%	1	0	0	0	0	0	0	0
45%	1	1	0	0	0	0	0	0
40%	1	1	1	0	0	0	0	0
35%	1	1	1	1	0	0	0	0
30%	1	1	1	1	1	0	0	0
25%	1	1	1	1	1	1	0	0
20%	1	1	1	1	1	1	1	0
15%	1	1	1	1	1	1	1	1

ตารางที่ 3 ข้อมูลออกที่พอร์ต 2 เพื่อไปควบคุมมิเลคทรอนิกส์สวิตช์ เพื่อเลือกความถี่

ความถี่(Hz)	D7	D6	D5	D4	D3	D2	D1	D0
เลือกแบบpluse								
1k	0	0	0	0	0	0	1	1
10k	0	0	0	0	0	1	0	1
50k	0	0	0	0	1	0	0	1
100k	0	0	0	1	0	0	0	1
เลือกแบบ dc	1	1	1	1	1	1	1	1

หมายเหตุ D0 นำไปควบคุม Relay3 เพื่อเลือกที่จะดึงกระแสแบบต่อเนื่องหรือดึงกระแสแบบชั่วขณะ

POWER SUPPLY



เอกสารนี้เป็นเอกสารที่สงวนไว้สำหรับการใช้งานเพื่อการศึกษาเท่านั้น ไม่อนุญาตให้นำไปใช้ประโยชน์ด้านการค้า  
 ไม่ว่ากรณีใดๆ ทั้งสิ้น อีกทั้งห้ามมิให้ดัดแปลงเนื้อหาและต้องอ้างอิงถึงเจ้าของเอกสารทุกครั้งที่มีการนำไปใช้

## บทที่ 4

### การทดลองและผลการทดลอง

1) จากการทดลองใช้เครื่อง AUTOMATIC POWER SUPPLY TESTER เพื่อตรวจสอบ SUPPLY นั้น จะได้กระแสและค่าศักย์ไฟฟ้าที่ตรวจสอบ

- CONTINUOUS CURRENT TESTER MODE

สามารถดึงกระแสได้ตั้งแต่ 0 - 5 แอมป์

สามารถตรวจสอบได้ที่ศักย์ไฟฟ้าอินพุตตั้งแต่ 5 - 50 โวลต์

- PULSE CURRENT TESTER MODE

สามารถดึงกระแสไฟฟ้าได้ตั้งแต่ 0 - 10 แอมป์

สามารถตรวจสอบได้ที่ศักย์ไฟฟ้าอินพุตตั้งแต่ 5 - 50 โวลต์

2) ในการใช้ลักษณะการดึงแบบ CURRENT PULSE เป็นดังนี้.-

- สามารถเลือกความถี่ของ CURRENT PULSE ได้ 4 ความถี่  
1KHz, 10KHz, 50KHz และ 100KHz

- สามารถปรับค่าความกว้างของ DUTY CYCLE ได้  
50%, 45%, 40%, 35%, 30%, 25%, 20%, 15%

3) จากการทดลองวัดค่าของกระแส ที่ทำการดึงจาก POWER SUPPLY โดยเทียบกับค่าแสดงที่ จอคอมพิวเตอร์ พบว่ามีค่าใกล้เคียงกันแต่ที่จอคอมพิวเตอร์ตัวเลขจะเปลี่ยนแปลงไปมาเล็กน้อยอาจเนื่องมาจาก NOISE

## บทที่ 5

### วิจารณ์และสรุปผล

1) สามารถเพิ่มกระแสสูงสุดในการดึงกระแส โดยลดค่าความต้านทานที่ช่วยป้องกัน POWER LOSS ที่ POWER MOSFET ที่มีค่ามากเกินไป และใช้ POWER MOSFET มาขนานอีกตัว เพื่อป้องกัน POWER LOSS ที่เกิดขึ้นที่ตัว POWER MOSFET มีค่ามากเกินไป ซึ่งจะทำให้เกิด ความเสียหายกับตัวอุปกรณ์ได้

2) ในการปรับ DUTY CYCLE นั้น เราสามารถเพิ่มการปรับ DUTY CYCLE ให้เพิ่มมากกว่านี้ได้โดยเพิ่มความต้านทานในตัวปรับ DUTY CYCLE ของตัว TL494 แต่ต้องดูถึง POWER ที่ตกคร่อมในวงจรดึงกระแสด้วยว่าที่ตกคร่อม POWER ที่ตกคร่อม POWER MOSFET และความต้านทานที่ช่วยป้องกันว่าสามารถทนได้หรือไม่

3) ในการเพิ่มความถี่ในการดึงกระแสแบบพัลส์นั้นสามารถเพิ่มความถี่ได้ในวงจรของ TL494 (ในรูปที่ 3.3) แต่ต้องทดสอบว่า POWER MOSFET จะได้ค่า POWER LOSS สูงสุดที่เกิดที่ตัว POWER MOSFET เท่าใด ดังสมการ

$$P_{Dmax} = I_M * V_M * T_{ONmax} * F / 2$$

จะต้องทำให้ POWER LOSS ที่ตัว POWER MOSFET มีค่าต่ำกว่า อัตราทนกำลังสูงสุดที่ยอมรับได้

4) ในวงจรเปลี่ยนสัญญาณอนาล็อกเป็นดิจิทัล โครงการนี้ได้ใช้เบอร์ ADC0809 ซึ่งมีอุปกรณ์ร่วมมากทำให้วงจรมีขนาดใหญ่ แต่ที่ใช้เบอร์นี้เพราะราคาในท้องตลาดมีราคาถูกกว่าเบอร์อื่น ๆ มาก

## ภาคผนวก

### คุณสมบัติและการใช้งานของเครื่อง AUTOMATIC POWER SUPPLY TESTER

#### คุณสมบัติทั่วไป (SPECIFICATION)

หลักการทํางาน : หลักการแปลงค่าศักดาไฟฟ้าเป็นกระแสไฟฟ้า

ฟังก์ชัน : 1. CONTINUOUS CURRENT TESTING MODE  
2. PULSE CURRENT TESTING MODE เลือกได้ 4 ความถี่

- 1 KHz

- 10 KHz

- 50 KHz

- 100 KHz

ความกว้างของพัลส์ (DUTY CYCLE)

- 50%, 45%, 40%, 35%, 30%, 25%, 20%, 15%

ช่วงการวัด : ค่าศักดาไฟฟ้าอินพุท ( $V_{in}$ )

- CONTINUOUS CURRENT : 5-50 โวลต์

- PULSE CURRENT : 5-50 โวลต์

ค่าที่วัดได้สูงสุด : ค่ากระแสไฟฟ้าที่สามารถตรวจสอบได้

- CONTINUOUS CURRENT : 0-5 แอมป์

- PULSE CURRENT : 0-10 แอมป์

ส่วนแสดงผล : แสดงที่ MONITOR ของเครื่อง PERSONAL COMPUTER

แหล่งจ่ายไฟ : 220 VOLT 50Hz

การป้องกัน (OVER RANGE) : มีสัญญาณเตือนจากเครื่องคอมพิวเตอร์

## การใช้งานเครื่อง AUTOMATIC POWER SUPPLY TESTER

ในการใช้งานเครื่อง AUTOMATIC POWER SUPPLY TESTER มีข้อแนะนำและคำอธิบายดังนี้

- 1) ใส่การ์ดอินเตอร์เฟสที่เครื่องคอมพิวเตอร์ เรียกโปรแกรม (APS) จะแสดงดังรูปที่ 1 แสดงหน้าจอคอมพิวเตอร์เมื่อเรียกโปรแกรมใช้งาน (APS)
- 2) ป้อนศักย์ไฟฟ้าจากแหล่งจ่ายที่จะทำการ TEST เข้าที่ขั้วอินพุทของเครื่อง AUTOMATIC POWER SUPPLY TESTER โดยที่ค่าศักย์อินพุทต้องมีค่าไม่มากกว่า 50 โวลต์ ซึ่งถ้าค่าศักย์มากกว่า 50 โวลต์ เมื่อทำการดึงกระแสไฟฟ้าโดยใช้โปรแกรมคอมพิวเตอร์จะมีสัญญาณเตือน
- 3) ในโปรแกรมมีการเรียกการดึงกระแส 2 โหมดคือ
  - CONTINUOUS CURRENT TESTING MODE จะแสดงดังรูปที่ 2 แสดงหน้าจอคอมพิวเตอร์เมื่อเลือกการกระแสแบบต่อเนื่อง
  - PLUSE CURRENT TESTING MODE จะแสดงดังรูปที่ 3 แสดงหน้าจอคอมพิวเตอร์เมื่อเลือกการกระแสแบบพัลส์
- 4) หากเลือก PLUSE CURRENT TESTING MODE จะมีการเลือกใช้ความถี่และ DUTY CYCLE โดยความถี่ที่ให้เลือกคือ 1 KHz, 10 KHz, 50 KHz, 100 KHz ส่วน DUTY CYCLE คือ 50%, 45%, 40%, 35%, 30%, 25%, 20%, 15% ดังรูปที่ 4 แสดงหน้าจอคอมพิวเตอร์เมื่อเลือก ความถี่ และ DUTY CYCLE
- 5) สามารถเพิ่มการดึงกระแสโดยใช้ VALUME VARIABLE RESISTOR มี 2 โหมด คือ DC (CONTINUOUS CURRENT TESTER) และ PLUSE (PLUSE CURRENT TESTE) ซึ่งแยกกัน
- 6) ค่าแสดงบนคอมพิวเตอร์จะแสดงบนโวลเกจต์และกระแสของ POWER SUPPLY ที่ถูกทดสอบและแสดงเป็นกราฟเพื่อทำให้สังเกตเห็นการเปลี่ยนแปลงได้ง่ายดังแสดงในรูปที่ 5 แสดงหน้าจอคอมพิวเตอร์เพื่อดูการดึงกระแสเมื่อเทียบกับโวลต์เตจ หากต้องการเปลี่ยนโหมดการทำงานสามารถทำได้โดยกด ARROW KEY หรือต้องการออกจากโปรแกรมโดยกด Esc

# AUTOMATIC POWER SUPPLY TESTER

คณะวิศวกรรมศาสตร์

ประวิทย์  
ปานเทพ

รักนรพันธ์  
ตั้งขลุ่ย

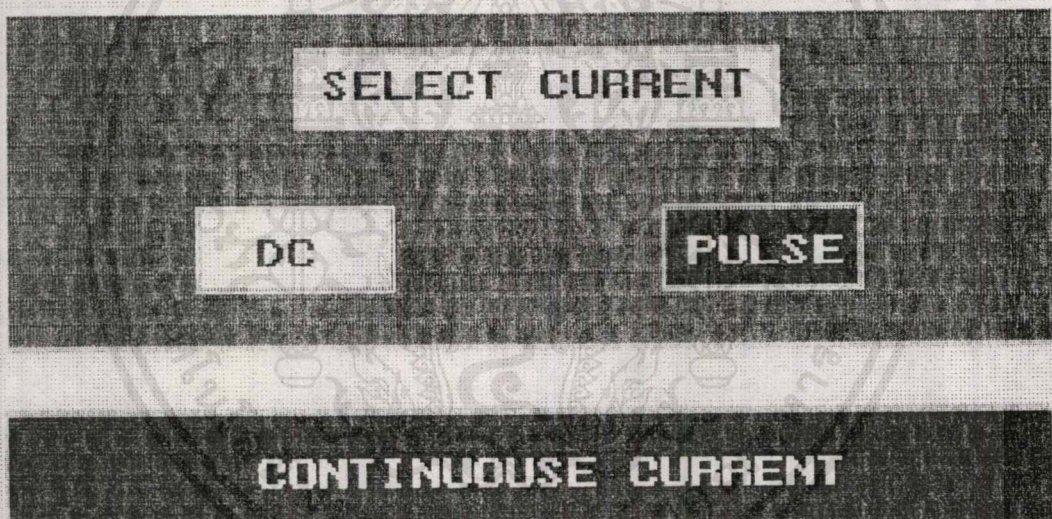
34131158

34131160

สถาบันเทคโนโลยีพระจอมเกล้า  
ลาดกระบัง

รูปที่ 1 แสดงหน้าจอคอมพิวเตอร์เมื่อเรียกโปรแกรมใช้งาน (APS)

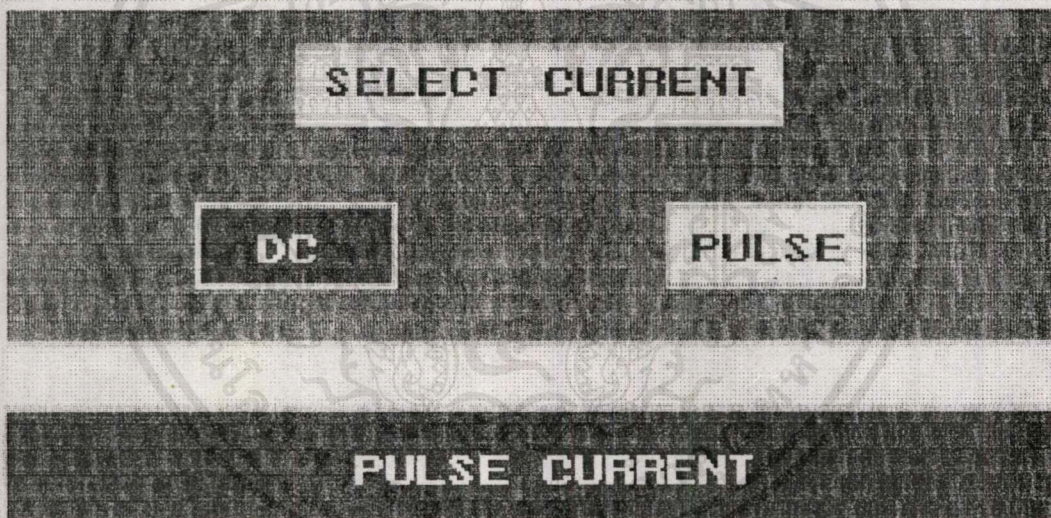
# AUTOMATIC POWER SUPPLY TESTER



รูปที่ 2 แสดงหน้าจอคอมพิวเตอร์เมื่อเลือกการกระแสแบบต่อเนื่อง

เอกสารนี้เป็นเอกสารที่สงวนไว้สำหรับการใช้งานเพื่อการศึกษาเท่านั้น ไม่อนุญาตให้นำไปใช้ประโยชน์ด้านการค้า  
ไม่ว่ากรณีใดๆ ทั้งสิ้น อีกทั้งห้ามมิให้ดัดแปลงเนื้อหา 55 และต้องอ้างอิงถึงเจ้าของเอกสารทุกครั้งที่มีการนำไปใช้

# AUTOMATIC POWER SUPPLY TESTER



รูปที่ 3 แสดงหน้าจอคอมพิวเตอร์เมื่อเลือกการกระแสแบบพัลส์

# AUTOMATIC POWER SUPPLY TESTER

SELECT FREQUENCY

1 KHz

10 KHz

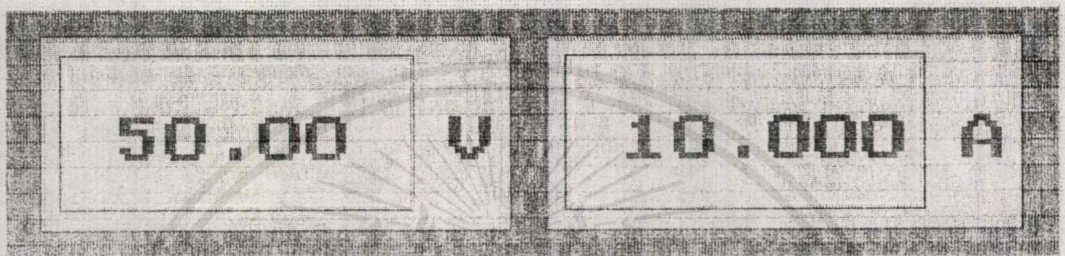
50 KHz

100 KHz

45  
%

รูปที่ 4 แสดงหน้าจอคอมพิวเตอร์เมื่อเลือก ความถี่ และ DUTY CYCLE

เอกสารนี้เป็นเอกสารที่สงวนไว้สำหรับการใช้งานเพื่อการศึกษาเท่านั้น ไม่อนุญาตให้นำไปใช้ประโยชน์ด้านการค้า  
ไม่ว่ากรณีใดๆ ทั้งสิ้น อีกทั้งห้ามมิให้ดัดแปลงเนื้อหาและต้องอ้างอิงถึงเจ้าของเอกสารทุกครั้งที่มีการนำไปใช้



รูปที่ 5 แสดงหน้าจอคอมพิวเตอร์เพื่อผลการดึงกระแสเมื่อเทียบกับโวลต์แดง

## กิตติกรรมประกาศ

โครงการปริญญานิพนธ์นี้สำเร็จไปได้ เนื่องจากได้รับความอนุเคราะห์จาก  
ท่านอาจารย์ที่ปรึกษาปริญญานิพนธ์คณาจารย์ประจำภาควิชาเทคนิคอุตสาหกรรมและเพื่อนฯ  
ซึ่งได้ให้ความอนุเคราะห์ในด้านคำปรึกษา เครื่องมือ อุปกรณ์ และสถานที่เป็นอย่างดี  
ซึ่งเป็นประโยชน์ต่อการจัดทำในครั้งนี้ คณะผู้จัดทำใคร่ขอขอบพระคุณทุกท่านเป็นอย่าง  
สูงมา ณ. โอกาสนี้ด้วย

นาย ประวิทย์ รักพรหมจันทร์

นาย ปานเทพ สังข์สกุล

## หนังสืออ้างอิง

1. Edwin S. Oxner, "Power FETs and Their Application", Prentice-Hall Inc., Englewood Cliffs , 1982.
2. Gopal K. Dubey, "Power Semiconductor Controlled Drives"
3. George Chryssis, "High Frequency Switching Power Supply: Theory And Design", 1984.
4. Lewis C. Eggebrecht, "Interfacing to the IBM Personal Computer ", Harvard W. Sams & Co., Inc., พิมพ์ครั้งที่ 1, 1983.
5. ยืน กุ้วรารณ, ดร. ชัยยงค์ วงศ์ชัยสุวัฒน์ , ดร.ไพศาล สงวนหมู่, " เทคโนโลยีไมโครคอมพิวเตอร์ 16 บิต ", บริษัท ซีเอ็ดดูเคชั่น จำกัด พิมพ์ครั้งที่ 2, 2530.
6. Power Mosfet Transister Data , Motorola ., 1984
7. Data Conversion/Aquisition Databook, National Semiconductor.
8. Linear Data Book, National Semiconductor.

King Mongkut's Institute of Technology  
KMITL  
AUTOMATIC POWER SUPPLY TESTER

FILE NAME : APS.C

Create : 25 / Feb / 1992  
Update : 19 / may / 1992  
Purpose : Prototype function for AUTOMATIC POWER SUPPLY TESTER

Copyright (c) 1993 King Mongkut's Institute of Technology Ladkrabang

```
*****  
#include <graphics.h>  
#include <stdlib.h>  
#include <stdio.h>  
#include <conio.h>  
#include <dos.h>  
#include <math.h>  
#include "allkey.h"  
  
char *kmit[2] = {"สถาบันเทคโนโลยีพระจอมเกล้า", "ลาดกระบัง"};  
char *name[4] = {"ประวัติ", "รัชพรหมพันธุ์",  
                "ปานเทพ", "สังข์สกุล"};  
char *engineering[] = {"คณะวิศวกรรมศาสตร์"};  
  
char *infor[2] = {"CONTINUOUSE CURRENT",  
                "PULSE CURRENT"};  
  
char *bang[8] = {"50", "45", "40", "35", "30", "25", "20", "15"};  
char *jit2[4] = {"1 KHz", "10 KHz", "50 KHz", "100 KHz"};  
int lad[8] = {120, 170, 220, 270, 320, 370, 420, 470};  
int jit1[4] = {107, 232, 357, 484};  
int tong[4] = {90, 215, 340, 465};  
unsigned int C, D, tm3, tm4;  
double tm1, tm2, kmit1, kmit2;  
  
int begin, start, go;  
int X, Y;  
int A[8] = {127, 63, 31, 15, 7, 3, 1, 0};  
int B[6] = {225, 254, 252, 250, 246, 238};  
  
main()  
{  
    opengraph(); /* initial graphics mode  
    aps_test();  
    closegraph(); /* retrn to text mode  
}
```

เอกสารนี้เป็นเอกสารที่สงวนไว้สำหรับการใช้งานเพื่อการศึกษาเท่านั้น ไม่อนุญาตให้นำไปใช้ประโยชน์ด้านการค้า  
ไม่ว่ากรณีใดๆ ทั้งสิ้น อีกทั้งห้ามมิให้ดัดแปลงเนื้อหาและต้องอ้างอิงถึงเจ้าของเอกสารทุกครั้งที่มีการนำไปใช้

```

aps_test()
{
    int keyhit;
    /* fontthai();*/
    bbx(0,0,639,479,11,11,1);
    bbx1(50,25,590,170,15,8,7);
    bbx1(50,405,590,460,15,8,7);
    bbx1(50,255,590,360,15,8,7);
    writethai(165,295,14,1,name[0]);
    writethai(251,295,14,1,name[1]);
    writethai(165,315,14,1,name[2]);
    writethai(251,315,14,1,name[3]);
    writetext(220,50,0,1,0,5,"AUTOMATIC");
    writetext(90,100,5,1,0,5,"POWER SUPPLY TESTER");
    writethai(226,431,5,2,kmit[1]);
    writethai(225,430,5,2,kmit[1]);
    writethai(70,410,6,2,kmit[0]);
    writetext(390,302,9,0,0,1,"34131158");
    writetext(390,328,9,0,0,1,"34131160");
    writethai(233,265,10,1,engineering[0]);
    keyhit = getch();
    if(keyhit == 27) {
        bbxesci(5,5);    bbxesci(618,5);
        delay(500);
        closegraph();
        exit(1);
    }
    else
    wee();
}

wee()
{
    bbx(0,0,639,479,7,7,7);
    bbx1(50,35,590,160,15,8,1);
    writetext(220,50,14,1,0,5,"AUTOMATIC");
    writetext(90,100,5,1,0,5,"POWER SUPPLY TESTER");
    bbx(50,200,590,370,15,8,6);
    bbx(200,220,449,260,8,15,9);
    writetext(215,232,14,0,0,2,"SELECT CURRENT");
    botton1(150,300,250,340);
    botton(390,300,490,340);
    writetext(180,315,14,0,0,2,"DC");
    writetext(403,315,0,0,0,2,"PULSE");
    bbx(50,400,590,460,8,15,14);
    writetext(180,425,0,0,0,2,infor[0]);
    select();
}

select()
{
    int key;
    begin = 0;
    do{
        moveto(640,480);
        key = getch();
        if(key==0) {
            key=getch();
            if((key==75) || (key==77)) {
                check(key);
            }
        }
    }
}

```

เอกสารนี้เป็นเอกสารที่สงวนไว้สำหรับการใช้งานเพื่อการศึกษาเท่านั้น ไม่อนุญาตให้นำไปใช้ประโยชน์ด้านการค้า  
ไม่ว่ากรณีใดๆ ทั้งสิ้น อีกทั้งห้ามมิให้ดัดแปลงเนื้อหาและต้องอ้างอิงถึงเจ้าของเอกสารทุกครั้งที่มีการนำไปใช้

```

        if(key == 27) {
            bbxesci(5,5);    bbxesci(618,5);
            delay(500);
            aps_test();
            break;
        }
        else {
            if(key==13) {
                delay(200);
                switch(begin) {
                    case 0 :    dc();            break;
                    case 1 :    pulse();        break;
                }
            }
        }
    } while((key != 13));
    setcolor(15);
}

```

```

/* checking key when the button is pressed */
int check(int key)
{

```

```

    if(key==75) {
        speaker(1000,10);
        botton1(150,300,250,340);
        writetext(180,315,14,0,0,2,"DC");
        botton(390,300,490,340);
        writetext(403,315,0,0,0,2,"PULSE");
        bbx(55,405,585,455,14,14,14);
        writetext(180,425,0,0,0,2,infor[0]);
        begin=0;
    }
    if(key==77) {
        speaker(1000,10);
        botton1(390,300,490,340);
        writetext(403,315,14,0,0,2,"PULSE");
        botton(150,300,250,340);
        writetext(180,315,0,0,0,2,"DC");
        bbx(55,405,585,455,14,14,14);
        writetext(230,425,0,0,0,2,infor[1]);
        begin=1;
    }
}

```

```

botton(int sx,int sy,int ex,int ey)
{

```

```

    setfillstyle(1,3);
    bar(sx,sy,ex,ey);
    setfillstyle(1,11);
    bar(sx,sy,sx+1,ey);
    bar(sx,sy,ex,sy+1);
    setfillstyle(1,8);
    bar(sx+1,ey-1,ex,ey);
    bar(ex-1,sy+1,ex,ey);
    setcolor(0);
    rectangle(sx-1,sy-1,ex+1,ey+1);
}

```

```

botton1(int sx,int sy,int ex,int ey)

```

เอกสารนี้เป็นเอกสารที่สงวนไว้สำหรับการใช้งานเพื่อการศึกษาเท่านั้น ไม่อนุญาตให้นำไปใช้ประโยชน์ด้านการค้า  
ไม่ว่ากรณีใดๆ ทั้งสิ้น อีกทั้งห้ามมิให้ดัดแปลงเนื้อหาและต้องอ้างอิงถึงเจ้าของเอกสารทุกครั้งที่มีการนำไปใช้

```

    setfillstyle(1,7);
    bar(sx,sy,ex,ey);
    setfillstyle(1,8);
    bar(sx,sy,sx+1,ey);
    bar(sx,sy,ex,sy+1);
    setfillstyle(1,11);
    bar(sx+1,ey-1,ex,ey);
    bar(ex-1,sy+1,ex,ey);
    setcolor(0);
    rectangle(sx-1,sy-1,ex+1,ey+1);
}

dc()
{
    bbx0(0,0,639,479,15,15,1);
    X=00;
    Y=B[0];
    port();
}

pulse()
{
    bbx0(0,0,639,479,15,15,3);
    bbx1(50,35,590,160,15,8,1);
    writetext(220,50,14,1,0,5,"AUTOMATIC");
    writetext(90,100,5,1,0,5,"POWER SUPPLY TESTER");
    bbx(50,200,590,370,15,8,6);
    bbx(180,220,460,260,8,15,9);
    writetext(195,232,14,0,0,2,"SELECT FREQUENCY");
    botton1(90,300,175,340);
    botton(215,300,300,340);
    botton(340,300,425,340);
    botton(465,300,550,340);
    writetext(107,315,14,2,0,5,"1 KHz");
    writetext(232,315,0,2,0,5,"10 KHz");
    writetext(357,315,0,2,0,5,"50 KHz");
    writetext(482,315,0,2,0,5,"100 KHz");
    bbx0(50,380,590,470,15,8,7);
    writetext(285,395,1,2,0,5,"DUTY CYCLE");
    bbx0(500,390,580,460,15,8,9);
    bbx1(100,420,490,440,15,15,0);
    writetext(520,417,14,0,0,3,"00");
    writetext(540,448,14,0,0,1,"%");
    mode();
}

mode()
{
    int key;
    start = 0;
    do{
        moveto(640,480);
        key = getch();
        if(key==0) {
            key=getch();
            if((key==75) || (key==77)) {
                answer(key);
            }
        }
        if(key == 27) {
            bbxesci(5,5);    bbxesci(618,5);

```

เอกสารนี้เป็นเอกสารที่สงวนไว้สำหรับการใช้งานเพื่อการศึกษาเท่านั้น ไม่อนุญาตให้นำไปใช้ประโยชน์ด้านการค้า  
ไม่ว่ากรณีใดๆ ทั้งสิ้น อีกทั้งห้ามมิให้ตัดแปลงเนื้อหาและต้องอ้างอิงถึงเจ้าของเอกสารทุกครั้งที่มีการนำไปใช้

```

        delay(500);
        pulse();
        break;
    }
    else {
        if(key==13) {
            delay(200);
            switch(start) {
                case 0 : k1();          break;
                case 1 : k2();          break;
                case 2 : k3();          break;
                case 3 : k4();          break;
            }
        }
    }

    } while((key != 13));
    setcolor(15);
    duty();
}

/* checking key when the button is pressed */
int answer(int key)
{
    if(key==75) {
        speaker(1000,10);
        botton(tong[start],300,tong[start]+85,340);
        writetext(jit1[start],315,0,2,0,5,jit2[start]);
        start = (start == 0 ) ? 3 : start - 1;
        botton1(tong[start],300,tong[start]+85,340);
        writetext(jit1[start]+ 1,316,14,2,0,5,jit2[start]);
    }
    if(key==77) {
        speaker(1000,10);
        botton(tong[start],300,tong[start]+85,340);
        writetext(jit1[start],315,0,2,0,5,jit2[start]);
        start = (start == 3 ) ? 0 : start + 1;
        botton1(tong[start],300,tong[start]+85,340);
        writetext(jit1[start]+1,316,14,2,0,5,jit2[start]);
    }
}

k1()
{
    Y=252;
}

k2()
{
    Y=250;
}

k3()
{
    Y=246;
}

k4()

```

เอกสารนี้เป็นเอกสารที่สงวนไว้สำหรับการใช้งานเพื่อการศึกษาเท่านั้น ไม่อนุญาตให้นำไปใช้ประโยชน์ด้านการค้า  
ไม่ว่ากรณีใดๆ ทั้งสิ้น อีกทั้งห้ามมิให้ตัดแปลงเนื้อหาและต้องอ้างอิงถึงเจ้าของเอกสารทุกครั้งที่มีการนำไปใช้

```

{
    Y=238;
}

duty( )
{
    botton(120,425,130,435);
    bbx( 505,395,575,440,9,9,9);
    writetext(520,417,14,0,0,3,"50");
    control( );
}

control( )
{
    int arrow;
    go = 0;
    do{
        moveto(640,480);
        arrow = getch( );
        if(arrow==0) {
            arrow=getch( );
            if((arrow==75) || (arrow==77)) {
                kmitlad(arrow);
            }
        }
        if(arrow == 27) {
            bbxesci(5,5);    bbxesci(618,5);
            delay(500);
            wee( );
            break;
        }
        else {
            if(arrow==13) {
                delay(200);
                switch(go) {
                    case 0 :    c1( );
                    case 1 :    c2( );
                    case 2 :    c3( );
                    case 3 :    c4( );
                    case 4 :    c5( );
                    case 5 :    c6( );
                    case 6 :    c7( );
                    case 7 :    c8( );
                }
            }
        }
    } while((arrow != 13));
    setcolor(15);
}

c1( )
{
    X=A[0];
    port( );
}

c2( )
{
    X=A[1];
    port( );
}

```

เอกสารนี้เป็นเอกสารที่สงวนไว้สำหรับการใช้งานเพื่อการศึกษาเท่านั้น ไม่อนุญาตให้นำไปใช้ประโยชน์ด้านการค้า  
ไม่ว่ากรณีใดๆ ทั้งสิ้น อีกทั้งห้ามมิให้ตัดแปลงเนื้อหาและต้องอ้างอิงถึงเจ้าของเอกสารทุกครั้งที่มีการนำไปใช้

```

c3( )
{
    X=A[2];
    port( );
}

c4( )
{
    X=A[3];
    port( );
}

c5( )
{
    X=A[4];
    port( );
}

c6( )
{
    X=A[5];
    port( );
}

c7( )
{
    X=A[6];
    port( );
}

c8( )
{
    X=A[7];
    port( );
}

/* checking key when the button is pressed */
int kmitlad(int arrow)
{
    if(arrow==75) {
        speaker(1000,10);
        go = (go == 0 ) ? 7 : go - 1;
        bbx(105,422,482,436,0,0,0);
        botton(lad[go],425,lad[go]+10,435);
        bbx(505,395,575,440,9,9,9);
        writetext(520,417,14,0,0,3,bang[go]);
    }
    if(arrow==77) {
        speaker(1000,10);
        go = (go == 7 ) ? 0 : go + 1;
        bbx(105,422,482,436,0,0,0);
        botton(lad[go],425,lad[go]+10,435);
        bbx(505,395,575,440,9,9,9);
        writetext(520,417,14,0,0,3,bang[go]);
    }
}

port( )
{
    int count=0;
    outportb(0x303,0x80);
    outportb(0x307,0x92);
}

```

เอกสารนี้เป็นเอกสารที่สงวนไว้สำหรับการใช้งานเพื่อการศึกษาเท่านั้น ไม่อนุญาตให้นำไปใช้ประโยชน์ด้านการค้า  
ไม่ว่ากรณีใดๆ ทั้งสิ้น อีกทั้งห้ามมิให้ดัดแปลงเนื้อหาและต้องอ้างอิงถึงเจ้าของเอกสารทุกครั้งที่มีการนำไปใช้

```

bbx0(0,0,639,479,15,15,7);
bbx0(50,35,590,160,15,8,6);
botton(70,50,310,145);
botton(330,50,570,145);
writetext(280,90,0,0,0,3,"V");
writetext(540,90,0,0,0,3,"A");
botton1(80,60,260,135);
botton1(340,60,520,135);
bbx(50,200,590,460,15,8,2);
bbx1(55,205,585,455,8,15,1);
do {
    outportb(0x300,X);
    outportb(0x301,Y);
    C = inportb(0x304);
    D = inportb(0x305);
    bbx0(83,63,257,132,3,3,3);
    bbx0(343,63,517,132,3,3,3);
    tm1=C*50.000/255.000;
    tm2=D*10.000/255.000;
    writetextxy(110,90,14,0,0,3,"%2.2f",tm1);
    writetextxy(370,90,4,0,0,3,"%2.3f",tm2);
    if(count==0) {
        bbx1(58,208,582,452,1,1,1);
        moveto(60,320);
    }
    count = (count == 520) ? 0 : count + 1;
    delay(100);

    kmit1 = (255.0000-tm3)*240.0000/255.0000 + 210.0000;
    kmit2 = (255.0000-C)*240.0000/255.0000 + 210.0000;
    moveto(count+60,kmit1);
    setcolor(14);
    lineto(count+61,kmit2);
    tm3=C;

    kmit1 = (255.0000-tm4)*240.0000/255.0000 + 210.0000;
    kmit2 = (255.0000-D)*240.0000/255.0000 + 210.0000;
    moveto(count+60,kmit1);
    setcolor(12);
    lineto(count+61,kmit2);
    tm4=D;

    if(C == 255 || D == 255) {
        speaker(1000,100);
    }

}while(!kbhit());
wee();
}

```

```

writetextxy(int xloc, int yloc, int color, char font, int direct,
            int size, char *fmt, ...)

```

```

{
    va_list argptr;
    char str[140];
    struct textsettingstype textinfo;
    va_start(argptr, format);
    vsprintf(str, fmt, argptr);
    gettextsettings(&textinfo);
    settextstyle(font,direct,size);
    setcolor(color);
    outtextxy(xloc, yloc, str);
}

```

เอกสารนี้เป็นเอกสารสงวนลิขสิทธิ์สำหรับการใช้งานเพื่อการศึกษาเท่านั้น ไม่อนุญาตให้นำไปใช้ประโยชน์ด้านการค้า

ไม่ว่ากรณีใดๆ ทั้งสิ้น อีกทั้งห้ามมิให้ดัดแปลงเนื้อหาและต้องอ้างอิงถึงเจ้าของเอกสารทุกครั้งที่มีการนำไปใช้

**IRF250  
IRF251  
IRF252  
IRF253**



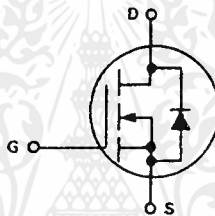
**MOTOROLA**

**Advance Information**

**N-CHANNEL ENHANCEMENT MODE SILICON GATE  
TMOS POWER FIELD EFFECT TRANSISTOR**

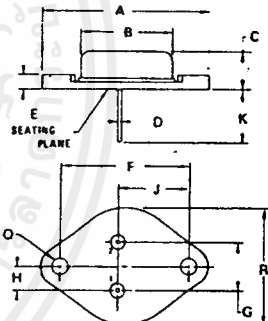
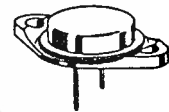
These TMOS Power FETs are designed for high voltage, high speed power switching applications such as switching regulators, converters, solenoid and relay drivers.

- Silicon Gate for Fast Switching Speeds
- Rugged — SOA is Power Dissipation Limited
- Source-to-Drain Diode Characterized for Use With Inductive Loads



Part Number	V <sub>DS</sub>	r <sub>DS(on)</sub>	I <sub>D</sub>
IRF250	200 V	0.085 Ω	30 A
IRF251	150 V	0.085 Ω	30 A
IRF252	200 V	0.120 Ω	25 A
IRF253	150 V	0.120 Ω	25 A

IRF250  
IRF251  
IRF252  
IRF253



STYLE 3:  
PIN 1, GATE  
2, SOURCE  
CASE DRAW

DIM	MILLIMETERS		INCHES	
	MIN	MAX	MIN	MAX
A	38.35	39.37	1.518	1.550
B	19.30	21.08	0.760	0.830
C	6.35	7.62	0.250	0.300
D	1.45	1.68	0.057	0.063
E	-	3.43	-	0.135
F	29.90	30.48	1.177	1.197
G	10.67	11.18	0.420	0.440
H	5.21	5.72	0.205	0.225
J	16.64	17.15	0.655	0.675
K	11.18	12.19	0.440	0.480
R	3.84	4.09	0.151	0.161
R	24.89	26.67	0.980	1.050

**CASE 197-01  
TO-204AE  
(TO-3 TYPE)**

**MAXIMUM RATINGS**

Rating	Symbol	IRF				Unit
		250	251	252	253	
Drain-Source Voltage	V <sub>DSS</sub>	200	150	200	150	Vdc
Drain-Gate Voltage (R <sub>GS</sub> = 1.0 MΩ)	V <sub>DGR</sub>	200	150	200	150	Vdc
Gate-Source Voltage	V <sub>GS</sub>	± 20				Vdc
Continuous Drain Current T <sub>C</sub> = 25°C	I <sub>D</sub>	30	30	25	25	A <sub>dc</sub>
Continuous Drain Current T <sub>C</sub> = 100°C	I <sub>D</sub>	19	19	16	16	A <sub>dc</sub>
Pulsed Drain Current	I <sub>DM</sub>	120	120	100	100	A <sub>dc</sub>
Gate Current — Pulsed	I <sub>GM</sub>	1.5				A <sub>dc</sub>
Total Power Dissipation @ T <sub>C</sub> = 25°C Derate above 25°C	P <sub>D</sub>	150				Watts
Operating and Storage Temperature Range	T <sub>J</sub> , T <sub>stg</sub>	-55 to 150				°C

**THERMAL CHARACTERISTICS**

Thermal Resistance Junction to Case	R <sub>θJC</sub>	0.83	°C/W
Maximum Lead Temp. for Soldering Purposes, 1/8" from case for 5 seconds	T <sub>L</sub>	300	°C

MOTOROLA TMOS POWER MOSFET DATA

เอกสารนี้เป็นเอกสารที่สงวนไว้สำหรับการใช้งานเพื่อการศึกษาเท่านั้น ไม่อนุญาตให้นำไปใช้ประโยชน์ด้านการค้า  
ไม่ว่ากรณีใดๆ ทั้งสิ้น อีกทั้งห้ามมิให้ดัดแปลงเนื้อหาและต้องอ้างอิงถึงเจ้าของเอกสารทุกครั้งที่มีการนำไปใช้

IRF250-253

ELECTRICAL CHARACTERISTICS (T<sub>C</sub> = 25°C unless otherwise noted)

Characteristic	Symbol	Min	Typ	Max	Unit
<b>OFF CHARACTERISTICS</b>					
Drain-Source Breakdown Voltage (V <sub>GS</sub> = 0, I <sub>D</sub> = 250 μA)	V <sub>(BR)DSS</sub>	200	—	—	V <sub>dc</sub>
Zero Gate Voltage Drain Current (V <sub>GS</sub> = 0 V, V <sub>DS</sub> = Rated V <sub>DSS</sub> ) (V <sub>GS</sub> = 0 V, V <sub>DS</sub> = 0.8 Rated V <sub>DSS</sub> , T <sub>C</sub> = 125°C)	I <sub>DSS</sub>	—	—	0.25 1.00	mAdc
Forward Gate-Body Leakage Current (V <sub>GS</sub> = 20 V, V <sub>DS</sub> = 0)	I <sub>GSSF</sub>	—	—	100	nAdc
Reverse Gate-Body Leakage Current (V <sub>GS</sub> = -20 V, V <sub>DS</sub> = 0)	I <sub>GSSR</sub>	—	—	-100	nAdc

<b>ON CHARACTERISTICS*</b>					
Gate Threshold Voltage (V <sub>DS</sub> = V <sub>GS</sub> , I <sub>D</sub> = 250 μA)	V <sub>GS(th)</sub>	2.0	—	4.0	V <sub>dc</sub>
On-State Drain Current (V <sub>DS</sub> = 25 V, V <sub>GS</sub> = 10 V)	I <sub>D(on)</sub>	30 25	—	—	Adc
Static Drain-Source On-Resistance (V <sub>GS</sub> = 10 V, I <sub>D</sub> = 16 A)	r <sub>DS(on)</sub>	—	—	0.085 0.120	Ohm
Forward Transconductance (V <sub>DS</sub> = 15 V, I <sub>D</sub> = 16 A)	g <sub>fs</sub>	8.0	—	—	mhos

<b>DYNAMIC CHARACTERISTICS</b>						
Input Capacitance	(V <sub>DS</sub> = 25 V, V <sub>GS</sub> = 0, f = 1.0 MHz)	C <sub>iss</sub>	—	—	3000	pF
Output Capacitance		C <sub>oss</sub>	—	—	1200	
Reverse Transfer Capacitance		C <sub>rss</sub>	—	—	500	

<b>SWITCHING CHARACTERISTICS* (T<sub>J</sub> = 100°C)</b>						
Turn-On Delay Time	V <sub>DD</sub> = 95 V, I <sub>D</sub> ' = 16 A Z <sub>o</sub> = 4.7 Ω	t <sub>d(on)</sub>	—	—	35	ns
Rise Time		t <sub>r</sub>	—	—	100	
Turn-Off Delay Time		t <sub>d(off)</sub>	—	—	125	
Fall Time		t <sub>f</sub>	—	—	100	

<b>SOURCE DRAIN DIODE CHARACTERISTICS*</b>					
Forward On-Voltage	I <sub>S</sub> = Rated I <sub>D</sub> , V <sub>GS</sub> = 0)	V <sub>SD</sub>	—	1.8	V <sub>dc</sub>
Reverse Recovery Time		t <sub>rr</sub>	—	750	ns

\*Pulse Test: Pulse Width < 300 μs, Duty Cycle < 2.0 %.

RESISTIVE SWITCHING

FIGURE 1 — SWITCHING TEST CIRCUIT

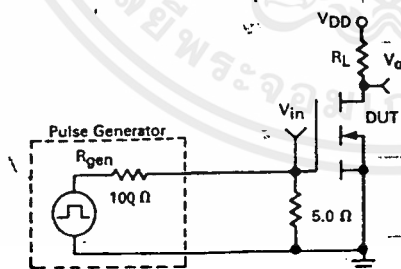
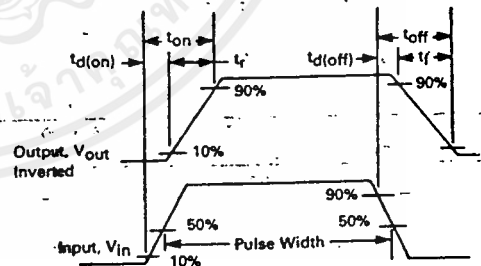


FIGURE 2 — SWITCHING WAVEFORMS



เอกสารนี้เป็นเอกสารที่สงวนไว้สำหรับการใช้งานเพื่อการศึกษาเท่านั้น ไม่อนุญาตให้นำไปใช้ประโยชน์ด้านการค้า  
ไม่ว่ากรณีใดๆ ทั้งสิ้น อีกทั้งห้ามมิให้ดัดแปลงเนื้อหาและต้องอ้างอิงถึงเจ้าของเอกสารทุกครั้งที่มีการนำไปใช้

**Table 1 — Plastic TMOS Power MOSFETs  
TO-220AB, TO-225AA and TO-218AC (continued)**

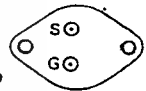
CASE 221A-02, CASE 77-04 CASE 340-01



V(BR)DSS Volts Min	rDS(on) @ ID (Ohms)		Device	ID Cont Amps Max	PD @ TC = 25°C Watts
	Max	Amps			
60	0.8	2.0	IRF513	3.5	20
		2.5	IRF511	4.0	
	0.4	3.5	MTP5N06	5.0	
		4.0	MTA7N06	7.0	
	0.3	5.0	IRF523	8.0	
			IRF521		
	0.28	8.0	MTP10N06	10	
	0.25	8.0	IRF533	12	
	0.20	6.0	MTP12N06	14	
	0.18	8.0	IRF531	15	
	0.16	7.5	MTP15N06	24	
	0.11	15	IRF543	27	
	0.085	12.5	IRF541	25	
	0.06	17.5	MTP25N06	35	
0.055	17.5	MTH35N06	35		
50	0.8	2.5	MTP5N05	5.0	50
		3.5	MTA7N05	7.0	30
	0.4	5.0	MTP10N05	10	75
		6.0	MTP12N05	12	
	0.28	7.5	MTP15N05	15	
			BUZ10	12	
	0.20	6.0	MTP25N05	25	
	0.16	7.5	MTH35N05	35	
	0.08	12.5		100	
0.055	17.5		150		

**Table 2 — Metal TMOS Power MOSFETs  
TO-204 (Formerly TO-3)**

CASE 1-04 and CASE 1-05



Drain connected to case

V(BR)DSS Volts Min	rDS(on) @ ID (Ohms)		Device	ID Cont Amps Max	PD @ TC = 25°C Watts	
	Max	Amps				
1000	10	0.5	MTM1N100	1.0	75	
950		MTM1N95				
900	8.0	1.0	MTM2N90	2.0	75	
850		MTM2N85				
800	2.5	1.5	MTM3N80	3.0		
		3.0	MTM6N60	6.0		
650	2.5	1.5	MTM3N55	3.0	75	
		3.0	MTM6N55	6.0		
600	6.0	1.0	MTM2P50*	2.0	75	
		3.0	MTM2N50			
	2.0	2.5	IRF432	4.0		
			IRF430			4.5
	1.5	2.0	MTM4N50	4.0		
			2N6762			4.5
	0.8	3.5	MTM7N50	7.0		150
			0.4			
450	6.0	1.0	MTM2P45*	2.0	75	
		3.0	MTM2N45			
	2.0	2.5	IRF433, 2N6761	4.0		
			IRF431			4.5
	1.5	2.0	MTM4N45	4.0		
			0.8			3.5
0.40	7.5	MTM15N45	15			
400	3.3	1.5	MTM3N40	3.0	75	
		3.0	IRF332			4.5
	1.0	3.0	IRF330	5.5		
			2.5			MTM5N40
	0.55	4.0	2N6760	5.5		
			4.0			MTM8N40
	0.30	7.5	MTM15N40	15		

\*Indicates P-Channel

**MOTOROLA TMOS POWER MOSFET DATA**

เอกสารนี้เป็นเอกสารที่สงวนไว้สำหรับการใช้งานเพื่อการศึกษาเท่านั้น ไม่อนุญาตให้นำไปใช้ประโยชน์ด้านการค้า  
ไม่ว่ากรณีใดๆ ทั้งสิ้น อีกทั้งห้ามมิให้ดัดแปลงเนื้อหาและต้องอ้างอิงถึงเจ้าของเอกสารทุกครั้งที่มีการนำไปใช้

**Table 2 — Metal T MOS Power MOSFETs  
TO-204 (Formerly TO-3) (continued)**

V <sub>(BR)DSS</sub> Volts Min	r <sub>DS(on)</sub> @ I <sub>D</sub> (Onma)		Device	I <sub>D</sub> Cont Ampe Max	P <sub>D</sub> @ T <sub>C</sub> = 25°C Watts		
	Max	Amps					
350	3.3	1.5	MTM3N35	3.0	75		
	1.5	3.0	IRF333, 2N6750	4.5			
	1.0		IRF331	5.5			
		2.5	MTM5N35	5.0			
	0.55	4.0	MTM8N35	8.0			
	0.30	7.5	MTM15N35	15			
250	0.50	5.0	MTM10N25	10	100		
200	1.2	2.5	IRF222	4.0	75		
	1.0		MTM5N20	5.0			
	0.8		IRF220				
	0.7	3.5	MTM7N20	7.0			
	0.6	5.0	IRF232	8.0			
	0.4		IRF230	9.0			
		6.0	2N6758				
		4.0	MTM8N20	8.0			
	0.35	6.0	MTM12N20	12			
	0.22	10	IRF242	16			
	0.18		IRF240	18			
	0.16	7.5	MTM15N20	15			
	0.12	16	IRF252	25			
	0.085		IRF250	30			
	0.08	20	MTM40N20	40			
	180	1.0	2.5	MTM5N18		5.0	75
0.70		3.5	MTM7N18	7.0			
0.40		4.0	MTM8N18	8.0			
0.35		6.0	MTM12N18	12			
0.16		7.5	MTM15N18	15			
0.08		20	MTM40N18	40			
			IRF223	4.0			
			IRF221	5.0			
150	0.7	3.5	MTM7N15	7.0	75		
	0.6	5.0	2N6757	8.0			
			IRF233				
	0.5	4.0	MTM8N15				
	0.4	5.0	IRF231	9.0			
	0.3		MTM10N15	10			
	0.25	7.5	MTM15N15	15			
	0.22	10	IRF243	16			
	0.18		IRF241	18			
	0.12		MTM20N15	20			
		16	IRF253	25			
	0.085		IRF251	30			
	0.06	22.5	MTM45N15	45			
	0.70	3.5	MTM7N12	7.0			
	120	0.50	4.0	MTM8N12		8.0	75
		0.30	5.0	MTM10N12		10	
0.25		7.5	MTM15N12	15			
0.12		10	MTM20N12	20			
0.06		22.5	MTM45N12	45			
			MTM8N10	8.0			
0.4		4.0	MTM8P10*				
			IRF122	7.0			
100	0.33	5.0	MTM10N10	10	75		
	0.3	4.0	IRF120	8.0			
	0.25	8.0	IRF132	12			
	0.18		IRF130	14			
		6.0	MTM12N10	12			
		9.0	2N6756	14			
	0.15	10	MTM20N10	20			
	0.11	15	IRF142	24			
	0.085		IRF140	27			
	0.06	20	IRF152	33			
	0.07	12.5	MTM25N10	25			
	0.055	20	IRF150	40			
	0.04	27.5	MTM55N10	55			

\*Indicates P-Channel

เอกสารนี้เป็นเอกสารที่สงวนไว้สำหรับการใช้งานเพื่อการศึกษาเท่านั้น ไม่อนุญาตให้นำไปใช้ประโยชน์ด้านการค้า  
ไม่ว่ากรณีใดๆ ทั้งสิ้น อีกทั้งห้ามมิให้ดัดแปลงเนื้อหาและต้องอ้างอิงถึงเจ้าของเอกสารทุกครั้งที่มีการนำไปใช้



MOTOROLA

TL494  
TL495

### Specifications and Applications Information

#### SWITCHMODE PULSE WIDTH MODULATION CONTROL CIRCUITS

The TL494 and TL495 are fixed frequency, pulse width modulation control circuits designed primarily for Switchmode power supply control. These devices feature:

- Complete Pulse Width Modulation Control Circuitry
- On-Chip Oscillator With Master Or Slave Operation
- On-Chip Error Amplifiers
- On-Chip 5 Volt Reference
- Adjustable Dead-Time Control
- Uncommitted Output Transistors For 200 mA Source Or Sink
- Output Control For Push-Pull Or Single-Ended Operation
- On-Chip 39 Volt Zener (TL495 Only)
- Output Steering Control (TL495 Only)

#### SWITCHMODE PULSE WIDTH MODULATION CONTROL CIRCUITS

SILICON MONOLITHIC INTEGRATED CIRCUITS

TL494



N SUFFIX  
PLASTIC PACKAGE  
CASE 648-05



J SUFFIX  
CERAMIC PACKAGE  
CASE 620-02

TL495

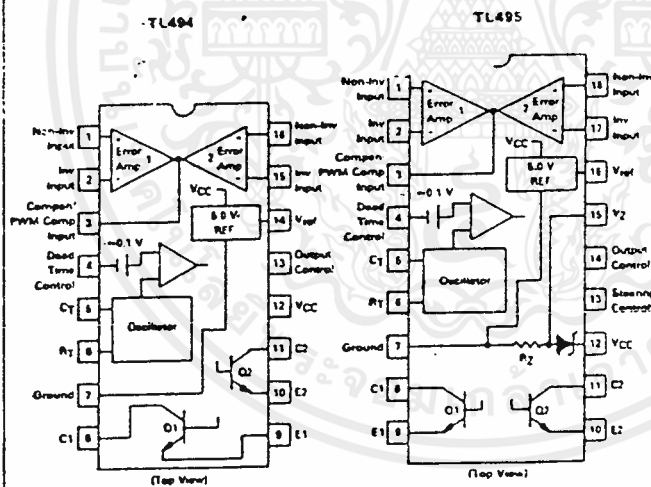


N SUFFIX  
PLASTIC PACKAGE  
CASE 707-02



J SUFFIX  
CERAMIC PACKAGE  
CASE 726-01

#### PIN CONNECTIONS



#### ORDERING INFORMATION

Device	Temperature Range	Package
TL494CN	0 To 70°C	Plastic DIP
TL494CJ	0 To 70°C	Ceramic DIP
TL494IN	-25 To 85°C	Plastic DIP
TL494IJ	-25 To 85°C	Ceramic DIP
TL494MJ	-55 To 125°C	Ceramic DIP
TL495CN	0 To 70°C	Plastic DIP
TL495CJ	0 To 70°C	Ceramic DIP
TL495IN	-25 To 85°C	Plastic DIP
TL495IJ	-25 To 85°C	Ceramic DIP

The TL494C/495C are specified over the commercial operating range of 0°C to 70°C. The TL494I/495I are specified over the industrial range of -25°C to 85°C. The TL494M is specified over the full military range of -55°C to 125°C.

เอกสารนี้เป็นเอกสารที่สงวนไว้สำหรับการใช้งานเพื่อการศึกษาเท่านั้น ไม่นอนุญาตให้นำไปใช้ประโยชน์ด้านการค้า  
ไม่ว่ากรณีใดๆ ทั้งสิ้น อีกทั้งห้ามมิให้ดัดแปลงเนื้อหาและต้องอ้างอิงถึงเจ้าของเอกสารทุกครั้งที่มีการนำไปใช้

# TL494, TL495

## ELECTRICAL CHARACTERISTICS (V<sub>CC</sub> = 15 V, f<sub>osc</sub> = 10 kHz unless otherwise noted.)

For typical values T<sub>A</sub> = 25°C, for min/max values T<sub>A</sub> is the operating ambient temperature range that applies unless otherwise noted

Characteristic	Symbol	TL494/TL495			Unit
		Min	Typ	Max	
<b>PWM COMPARATOR SECTION (Test Circuit Figure 12)</b>					
Input Threshold Voltage (Zero duty cycle)	V <sub>TH</sub>	—	3.5	4.1	V
Input Sink Current (V (Pin 3) = 0.7 V)	I <sub>I</sub>	0.3	0.7	—	mA
<b>DEAD-TIME CONTROL SECTION (Test Circuit Figure 12)</b>					
Input Bias Current (Pin 4) (V <sub>in</sub> = 0 to 5.25 V)	I <sub>IB</sub> (DT)	—	-2.0	-10	μA
Maximum Duty Cycle, Each Output, Push-Pull Mode (V <sub>in</sub> = 0 V, C <sub>T</sub> = 0.1 μF, R <sub>T</sub> = 12 kΩ) (V <sub>in</sub> = 0 V, C <sub>T</sub> = 0.001 μF, R <sub>T</sub> = 30 kΩ)	D <sub>Cmax</sub>	45	48 45	50 50	%
Input Threshold Voltage (Pin 4) (Zero Duty Cycle) (Maximum Duty Cycle)	V <sub>TH</sub>	— 0	2.8	3.2	V
<b>OSCILLATOR SECTION</b>					
Frequency (C <sub>T</sub> = 0.001 μF, R <sub>T</sub> = 30 kΩ)	f <sub>osc</sub>	—	40	—	kHz
Standard Deviation of Frequency* (C <sub>T</sub> = 0.001 μF, R <sub>T</sub> = 30 kΩ)	σ <sub>osc</sub>	—	3.0	—	%
Frequency Change with Voltage (V <sub>CC</sub> = 7.0 V to 40 V, T <sub>A</sub> = 25°C)	Δf <sub>osc</sub> (ΔV)	—	0.1	—	%
Frequency Change with Temperature (ΔT <sub>A</sub> = T <sub>low</sub> to T <sub>high</sub> ) (T = 0.01 μF, R <sub>T</sub> = 12 k)	Δf <sub>osc</sub> (ΔT)	—	—	12	%

Characteristic	Symbol	TL495			Unit
		Min	Typ	Max	
<b>STEERING CONTROL</b>					
Input Current Low (V (Pin 13) = 0.4 V)	I <sub>STL</sub>	—	-25	-200	μA
Input Current High (V (Pin 13) = 2.4 V) (V (Pin 13) = -V <sub>ref</sub> )	I <sub>STH</sub>	—	25 75	200 —	μA
<b>ZENER CHARACTERISTICS</b>					
Zener Breakdown Voltage (I <sub>Z</sub> = 2.0 mA)	V <sub>Z</sub>	—	39	—	V
Sink Current (V (Pin 15) = 1.0 V)	I <sub>RZ</sub>	—	0.3	—	mA
<b>TOTAL DEVICE</b>					
Standby Supply Current (Pin 6 at V <sub>ref</sub> , All Other Inputs and Outputs Open) (V <sub>CC</sub> = 15 V) (V <sub>CC</sub> = 40 V)	I <sub>CC</sub>	— —	5.5 7.0	10 15	mA
Average Supply Current (V (Pin 4) = 2.0 V) (See Figure 12.) (C <sub>T</sub> = 0.001, R <sub>T</sub> = 12 kΩ, V <sub>CC</sub> = 15-V)	—	—	7.0	—	mA

\* Standard deviation is a measure of the statistical distribution about the mean as derived from the formula:  $\sigma = \sqrt{\frac{\sum_{n=1}^N (\lambda_n - \bar{\lambda})^2}{N - 1}}$

เอกสารนี้เป็นเอกสารที่สงวนไว้สำหรับการใช้งานเพื่อการศึกษาเท่านั้น ไม่อนุญาตให้นำไปใช้ประโยชน์ด้านการค้า  
ไม่ว่ากรณีใดๆ ทั้งสิ้น อีกทั้งห้ามมิให้ดัดแปลงเนื้อหาและต้องอ้างอิงถึงเจ้าของเอกสารทุกครั้งที่มีการนำไปใช้

## TL494, TL495

MAXIMUM RATINGS (Full operating ambient temperature range applies unless otherwise noted.)

Rating	Symbol	TL494M	TL494I/TL495I	TL494C/TL495C	Unit
Power Supply Voltage	V <sub>CC</sub>	42	42	42	V
Collector Output Voltage	V <sub>C1</sub> , V <sub>C2</sub>	42	42	42	V
Collector Output Current (each transistor)	I <sub>C1</sub> , I <sub>C2</sub>	250	250	250	mA
Amplifier Input Voltage	V <sub>in</sub>	V <sub>CC</sub> + 3.0	V <sub>CC</sub> + 3.0	V <sub>CC</sub> + 3.0	V
Power Dissipation (θ <sub>JA</sub> = 45°C)	P <sub>D</sub>	1000	1000	1000	mW
Operating Junction Temperature	T <sub>J</sub>	150	150	150	°C
Operating Ambient Temperature Range	T <sub>A</sub>	-55 to 125	-25 to 85	0 to 70	°C
Storage Temperature Range	T <sub>stg</sub>	-65 to +150	-65 to +150	-65 to +150	°C

### THERMAL CHARACTERISTICS

Characteristics	Symbol	J Suffix Ceramic Package	N Suffix Plastic Package	Unit
Thermal Resistance, Junction to Ambient	R <sub>θJA</sub>	100	80	°C/W
Power Derating Factor	1/R <sub>θJA</sub>	10.0	12.5	mW/°C
Derating Ambient Temperature	T <sub>A</sub>	50	45	°C

### RECOMMENDED OPERATING CONDITIONS

Condition/Value	Symbol	TL494 TL495			Unit
		Min	Typ	Max	
Power Supply Voltage	V <sub>CC</sub>	7.0	15	40	V
Collector Output Voltage	V <sub>C1</sub> , V <sub>C2</sub>	—	30	40	V
Collector Output Current (each transistor)	I <sub>C1</sub> , I <sub>C2</sub>	—	—	200	mA
Amplifier Input Voltage	V <sub>in</sub>	-0.3	—	V <sub>CC</sub> - 2.0	V
Current into Feedback Terminal	I <sub>f.b.</sub>	—	—	0.3	mA
Reference Output Current	I <sub>ref</sub>	—	—	10	mA
Timing Resistor	R <sub>T</sub>	1.6	30	500	kΩ
Timing Capacitor	C <sub>T</sub>	0.47	1.0	10,000	nF
Oscillator Frequency	f <sub>osc</sub>	1.0	40	200	kHz

### ELECTRICAL CHARACTERISTICS (V<sub>CC</sub> = 15 V, f<sub>osc</sub> = 10 kHz unless otherwise noted.)

For typical values T<sub>A</sub> = 25°C, for min/max values T<sub>A</sub> is the operating ambient temperature range that applies unless otherwise noted.

Characteristic	Symbol	TL494M			TL494C, TL495C,I			Unit
		Min	Typ	Max	Min	Typ	Max	

### REFERENCE SECTION

Characteristic	Symbol	Min	Typ	Max	Min	Typ	Max	Unit
Reference Voltage (I <sub>O</sub> = 1.0 mA)	V <sub>ref</sub>	4.75	5.0	5.25	4.75	5.0	5.25	V
Reference Voltage Change with Temperature (ΔT <sub>A</sub> = Min to Max)	ΔV <sub>ref</sub> (ΔT)	—	0.2	2.0	—	1.3	2.6	%
Input Regulation (V <sub>CC</sub> = 7.0 V to 40 V)	Reg <sub>line</sub>	—	2.0	25	—	2.0	25	mV
Output Regulation (I <sub>O</sub> = 1.0 mA to 10 mA)	Reg <sub>load</sub>	—	3.0	15	—	3.0	15	mV
Short-Circuit Output Current (V <sub>ref</sub> = 0 V, T <sub>A</sub> = 25°C)	I <sub>SC</sub>	10	35	50	—	35	—	mA

เอกสารนี้เป็นเอกสารที่สงวนไว้สำหรับการใช้งานเพื่อการศึกษาเท่านั้น ไม่อนุญาตให้นำไปใช้ประโยชน์ด้านการค้า  
ไม่ว่ากรณีใดๆ ทั้งสิ้น อีกทั้งห้ามมิให้ดัดแปลงเนื้อหาและต้องอ้างอิงถึงเจ้าของเอกสารทุกครั้งที่มีการนำไปใช้

# TL494, TL495

## ELECTRICAL CHARACTERISTICS ( $V_{CC} = 15\text{ V}$ , $f_{osc} = 10\text{ kHz}$ unless otherwise noted)

For typical values  $T_A = 25^\circ\text{C}$ , for min/max values  $T_A$  is the operating ambient temperature range that applies unless otherwise noted

Characteristic	Symbol	TL494M			TL494C, (TL495C, I)			Unit
		Min	Typ	Max	Min	Typ	Max	
<b>OUTPUT SECTION</b>								
Collector Off-State Current ( $V_{CC} = 40\text{ V}$ , $V_{CE} = 40\text{ V}$ )	$I_{C(off)}$	—	2.0	100	—	2.0	100	$\mu\text{A}$
Emitter Off-State Current ( $V_{CC} = 40\text{ V}$ , $V_C = 40\text{ V}$ , $V_E = 0\text{ V}$ )	$I_{E(off)}$	—	—	-150	—	—	-100	$\mu\text{A}$
Collector-Emitter Saturation Voltage Common-Emitter ( $V_E = 0\text{ V}$ , $I_C = 200\text{ mA}$ )	$V_{sat(C)}$	—	1.1	1.5	—	1.1	1.5	V
Emitter-Follower ( $V_C = 15\text{ V}$ , $I_E = -200\text{ mA}$ )	$V_{sat(E)}$	—	1.5	2.5	—	1.5	2.5	V
Output Control Pin Current Low State ( $V_{OC} = 0.4\text{ V}$ )	$I_{OC(L)}$	—	10	—	—	10	—	$\mu\text{A}$
High State ( $V_{OC} = V_{ref}$ )	$I_{OC(H)}$	—	0.2	3.5	—	0.2	3.5	$\text{mA}$
Output Voltage Rise Time ( $T_A = 25^\circ\text{C}$ ) Common-Emitter (See Figure 13)	$t_r$	—	100	200	—	100	200	ns
Emitter-Follower (See Figure 14)		—	100	200	—	100	200	ns
Output Voltage Fall Time ( $T_A = 25^\circ\text{C}$ ) Common-Emitter (See Figure 13)	$t_f$	—	25	100	—	25	100	ns
Emitter-Follower (See Figure 14)		—	40	100	—	40	100	ns

Characteristic	Symbol	TL494/TL495			Unit
		Min	Typ	Max	
<b>ERROR AMPLIFIER SECTIONS</b>					
Input Offset Voltage ( $V_O$ (Pin 3) = 2.5 V)	$V_{IO}$	—	2.0	10	mV
Input Offset Current ( $V_O$ (Pin 3) = 2.5 V)	$I_{IO}$	—	5.0	250	nA
Input Bias Current ( $V_O$ (Pin 3) = 2.5 V)	$I_{IB}$	—	0.1	1.0	$\mu\text{A}$
Input Common-Mode Voltage Range ( $V_{CC} = 7.0\text{ V}$ to $40\text{ V}$ )	$V_{ICR}$	-0.3	—	$V_{CC} - 2.0$	V
Open-Loop Voltage Gain ( $\Delta V_O = 3.0\text{ V}$ , $V_O = 0.5$ to $3.5\text{ V}$ , $R_L = 2.0\text{ k}\Omega$ )	$A_{VOL}$	70	95	—	dB
Unity-Gain Crossover Frequency ( $V_O = 0.5$ to $3.5\text{ V}$ , $R_L = 2.0\text{ k}\Omega$ )	$f_C$	—	350	—	kHz
Phase Margin at Unity-Gain ( $V_O = 0.5$ to $3.5\text{ V}$ , $R_L = 2.0\text{ k}\Omega$ )	$\phi_m$	—	65	—	deg
Common-Mode Rejection Ratio ( $V_{CC} = 40\text{ V}$ )	CMRR	65	90	—	dB
Power Supply Rejection Ratio ( $\Delta V_{CC} = 33\text{ V}$ , $V_O = 2.5\text{ V}$ , $R_L = 2.0\text{ k}\Omega$ )	PSRR	—	100	—	dB
Output Sink Current ( $V_O$ (Pin 3) = 0.7 V)	$I_{O-}$	0.3	0.7	—	$\text{mA}$
Output Source Current ( $V_O$ (Pin 3) = 3.5 V)	$I_{O+}$	-2.0	-4.0	—	$\text{mA}$

เอกสารนี้เป็นเอกสารที่สงวนไว้สำหรับการใช้งานเพื่อการศึกษาเท่านั้น ไม่อนุญาตให้นำไปใช้ประโยชน์ด้านการค้า  
ไม่ว่ากรณีใดๆ ทั้งสิ้น อีกทั้งห้ามมิให้ดัดแปลงเนื้อหาและต้องอ้างอิงถึงเจ้าของเอกสารทุกครั้งที่มีการนำไปใช้

# TL494, TL495

## Description

The TL494/495 are fixed-frequency pulse width modulation control circuit, incorporating the primary building blocks required for the control of a switching power supply. (See Figure 1.) An internal-linear sawtooth oscillator is frequency-programmable by two external components,  $R_T$  and  $C_T$ . The oscillator frequency is determined by:

$$f_{osc} = \frac{1.1}{R_T \cdot C_T}$$

Output pulse width modulation is accomplished by comparison of the positive sawtooth waveform across capacitor  $C_T$  to either of two control signals. The NOR gates, which drive output transistors Q1 and Q2, are enabled only when the flip-flop clock-input line is in its low state. This happens only during that portion of time when the sawtooth voltage is greater than the control signals. Therefore, an increase in control-signal amplitude causes a corresponding linear decrease of output pulse width. (Refer to the timing diagram shown in Figure 2.)

The control signals are external inputs that can be fed into the dead-time control, the error amplifier inputs, or the feedback input. The dead-time control comparator has an effective 120 mV input offset which limits the minimum output dead time to approximately the first 4% of the sawtooth-cycle time. This would result in a maximum duty cycle on a given output of 96% with the output control grounded, and 48% with it connected to the reference line. Additional dead time may be imposed on the output by setting the dead time-control input to a fixed voltage, ranging between 0 to 3.3 V.

The pulse width modulator comparator provides a means for the error amplifiers to adjust the output pulse width from the maximum percent on-time, established by the dead time control input, down to zero, as the

voltage at the feedback pin varies from 0.5 to 3.5 V. Both error amplifiers have a common-mode input range from -0.3 V to  $(V_{CC} - 2 V)$ , and may be used to sense power-supply output voltage and current. The error-amplifier outputs are active high and are ORed together at the non-inverting input of the pulse-width modulator comparator. With this configuration, the amplifier that demands minimum output on time, dominates control of the loop.

When capacitor  $C_T$  is discharged, a positive pulse is generated on the output of the dead-time comparator, which clocks the pulse-steering flip-flop and inhibits the output transistors, Q1 and Q2. With the output-control connected to the reference line, the pulse-steering flip-flop directs the modulated pulses to each of the two output transistors alternately for push-pull operation. The output frequency is equal to half that of the oscillator. Output drive can also be taken from Q1 or Q2, when single-ended operation with a maximum on-time of less than 50% is required. This is desirable when the output transformer has a ringback winding with a catch diode used for snubbing. When higher output-drive currents are required for single-ended operation, Q1 and Q2 may be connected in parallel, and the output-mode pin must be tied to ground to disable the flip-flop. The output frequency will now be equal to that of the oscillator.

The TL494/495 has an internal 5.0 V reference capable of sourcing up to 10 mA of load current for external bias circuits. The reference has an accuracy of  $\pm 5\%$  with a thermal drift of less than 50 mV over an operating temperature range of 0 to 70°C.

The TL495 contains an on-chip 39 volt zener diode for high voltage applications where  $V_{CC}$  is greater than 40 volts, and an output steering control that overrides the internal control of the pulse-steering flip-flop. (Refer to the functional table shown in Figure 3.)

FIGURE 3 — FUNCTIONAL TABLE

Inputs		Output Function	$\frac{f_{out}}{f_{osc}} =$
Output Control	Steering Control		
Grounded	Open	Single-ended P.W.M. at Q1 and Q2	1
At $V_{ref}$	Open	Push-pull operation	0.5
At $V_{ref}$	$-V1 < 0.4 V$	Single-ended P.W.M. at Q1 only	1
At $V_{ref}$	$V1 > 2.4 V$	Single-ended P.W.M. at Q2 only	1

See Engineering Bulletin EB100 for further information

TL494, TL495

FIGURE 4 — OSCILLATOR FREQUENCY versus TIMING RESISTANCE

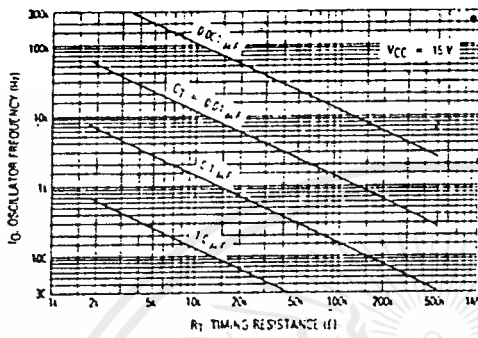


FIGURE 5 — OPEN LOOP VOLTAGE GAIN AND PHASE versus FREQUENCY

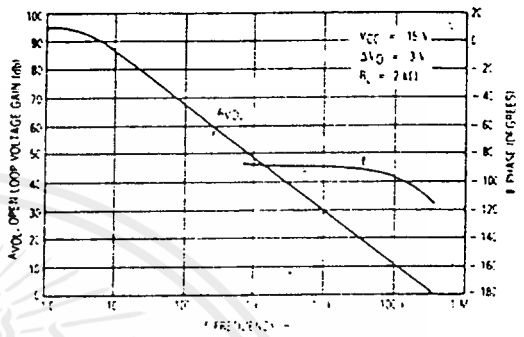


FIGURE 6 — PERCENT DEAD TIME versus OSCILLATOR FREQUENCY

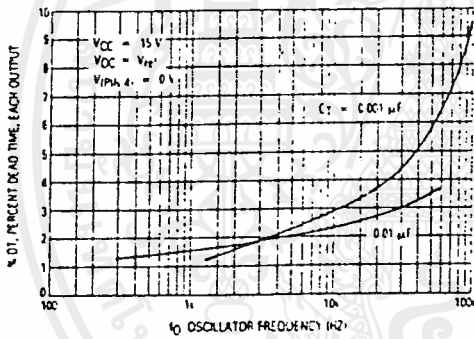


FIGURE 7 — PERCENT DUTY CYCLE versus DEAD-TIME CONTROL VOLTAGE

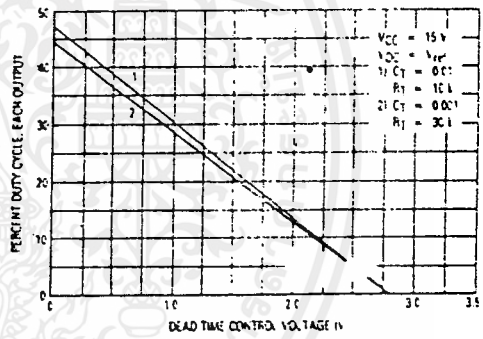


FIGURE 8 — EMITTER-FOLLOWER CONFIGURATION, OUTPUT-SATURATION VOLTAGE versus EMITTER CURRENT

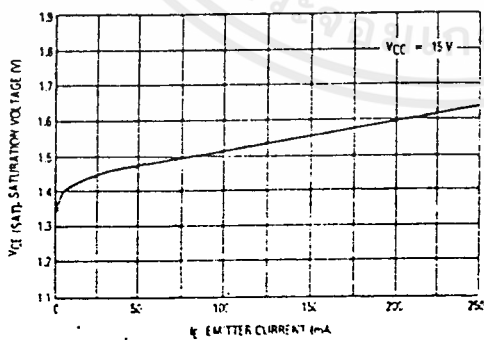
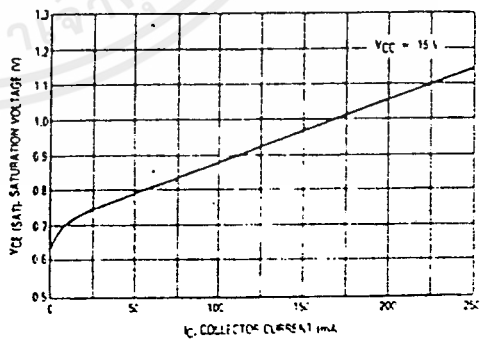


FIGURE 9 — COMMON-EMITTER CONFIGURATION, OUTPUT-SATURATION VOLTAGE versus COLLECTOR CURRENT



เอกสารนี้เป็นเอกสารที่สงวนไว้สำหรับการใช้งานเพื่อการศึกษาเท่านั้น ไม่อนุญาตให้นำไปใช้ประโยชน์ด้านการค้า ไม่ว่าจะกรณีใดๆ ทั้งสิ้น อีกทั้งห้ามมิให้ดัดแปลงเนื้อหาและต้องอ้างอิงถึงเจ้าของเอกสารทุกครั้งที่มีการนำไปใช้

TL494, TL495

FIGURE 10 — STANDBY-SUPPLY CURRENT versus SUPPLY VOLTAGE

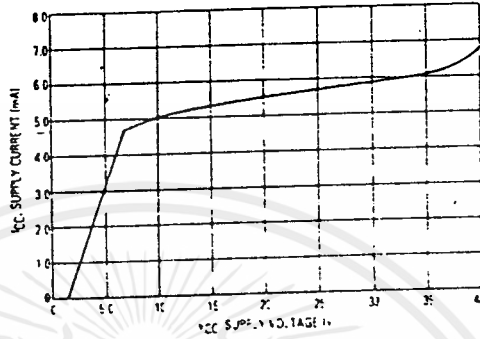


FIGURE 11 — ERROR AMPLIFIER CHARACTERISTICS

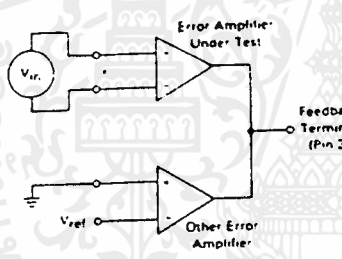


FIGURE 12 — DEAD-TIME AND FEEDBACK CONTROL TEST CIRCUIT

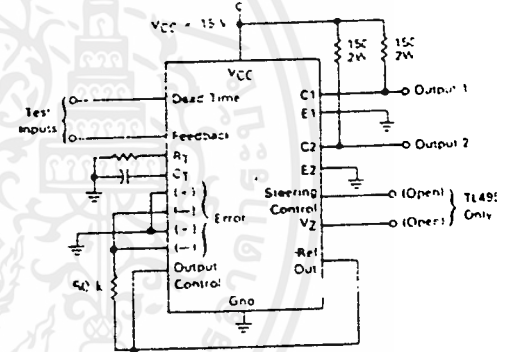


FIGURE 13 — COMMON-EMITTER CONFIGURATION TEST CIRCUIT AND WAVEFORM

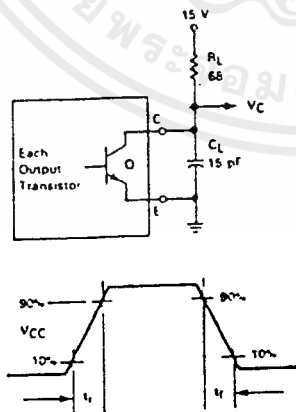
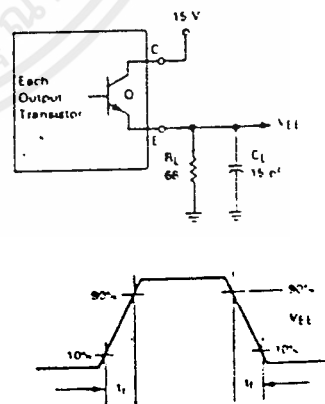


FIGURE 14 — EMITTER-FOLLOWER CONFIGURATION TEST CIRCUIT AND WAVEFORM



เอกสารนี้เป็นเอกสารที่สงวนไว้สำหรับการใช้งานเพื่อการศึกษาเท่านั้น ไม่อนุญาตให้นำไปใช้ประโยชน์ด้านการค้า  
ไม่ว่ากรณีใดๆ ทั้งสิ้น อีกทั้งห้ามมิให้ดัดแปลงเนื้อหาและต้องอ้างอิงถึงเจ้าของเอกสารทุกครั้งที่มีการนำไปใช้

MONOLITHIC SAMPLE AND HOLD CIRCUITS

LF198/LF298/LF398

DESCRIPTION

The Signetics LF198/LF298/LF398 are monolithic sample and hold circuits which utilize high-voltage Ion Implant JFET technology to obtain ultra-high DC accuracy with fast acquisition of signal and low droop rate. Operating as a unity gain follower, DC gain accuracy is 0.002% typical and acquisition time is as low as 6 $\mu$ s to 0.01%. A bipolar input stage is used to achieve low offset voltage and wide bandwidth. Input offset adjust is accomplished with a single pin and does not degrade input offset drift. The wide bandwidth allows the LF198 to be included inside the feedback loop of 1MHz op amps without having stability problems. Input impedance of 10<sup>10</sup> $\Omega$  allows high source impedances to be used without degrading accuracy.

P-channel junction FET's are combined with bipolar devices in the output amplifier to give droop rates as low as 5mV/min with a 1 $\mu$ F hold capacitor. The JFET's have much lower noise than MOS devices used in previous designs and do not exhibit high temperature instabilities. The overall design guarantees no feed-through from input to output in the hold mode even for input signals equal to the supply voltages.

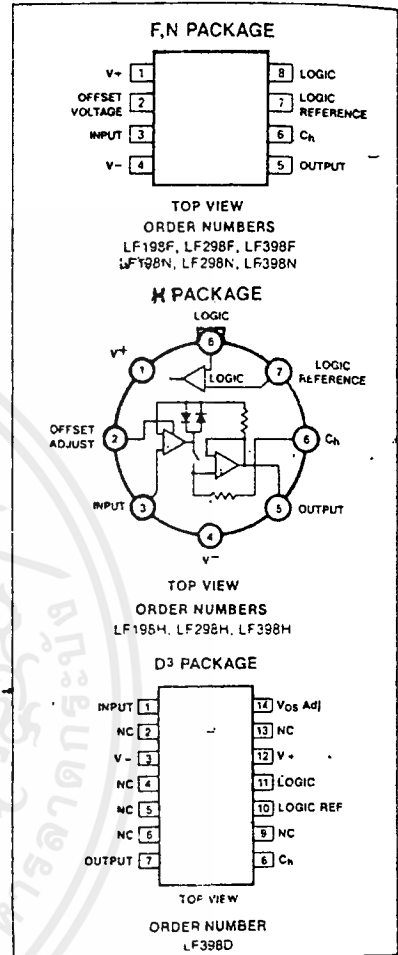
Logic inputs are fully differential with low input current, allowing direct connection to TTL, PMOS, and CMOS. Differential threshold is 1.4V. The LF198/LF298/LF398 will operate from  $\pm 5$ V to  $\pm 18$ V supplies. They are available in an 8-lead TO-5 package, or an 8-pin plastic DIP.

FEATURES

- Operates from  $\pm 5$ V to  $\pm 18$ V supplies
- Less than 10 $\mu$ s acquisition time
- TTL, PMOS, CMOS compatible logic input
- 0.5mV typical hold step at C<sub>H</sub> = 0.01 $\mu$ F
- Low input offset
- 0.002% gain accuracy
- Low output noise in hold mode
- Input characteristics do not change during hold mode
- High supply rejection ratio in sample or hold
- Wide bandwidth

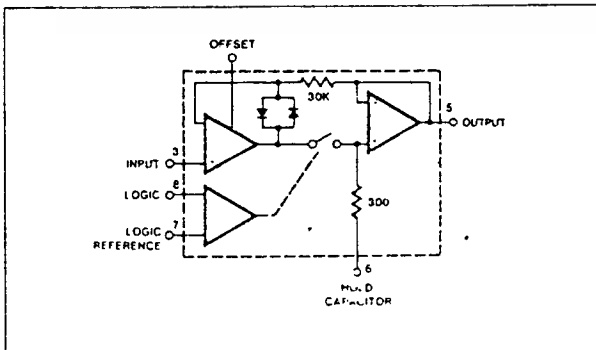
APPLICATIONS

- The LF198/LF298/LF398 are ideally suited for a wide variety of sample and hold applications including data acquisition, analog-to-digital conversion, synchronous demodulation, and automatic test setup.

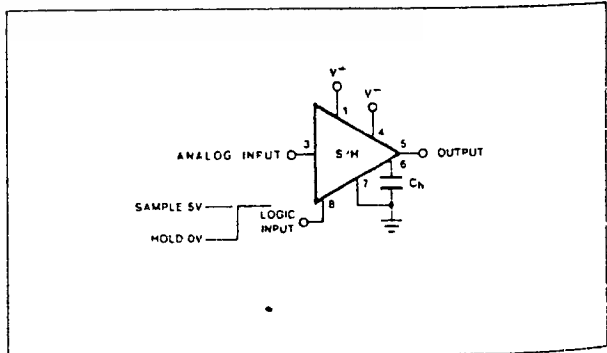


- NOTES:
1. SOL - Released in Large SO package only.
  2. SOL and non-standard pinout.
  3. SO and non-standard pinouts.

FUNCTIONAL DIAGRAM



TYPICAL APPLICATIONS



Signetics

4-217

เอกสารนี้เป็นเอกสารที่สงวนไว้สำหรับการใช้งานเพื่อการศึกษาเท่านั้น ไม่อนุญาตให้นำไปใช้ประโยชน์ด้านการค้า ไม่ว่าจะกรณีใดๆ ทั้งสิ้น อีกทั้งห้ามมิให้ตัดแปลงเนื้อหาและต้องอ้างอิงถึงเจ้าของเอกสารทุกครั้งที่มีการนำไปใช้

MONOLITHIC SAMPLE AND HOLD CIRCUITS

LF198/LF298/LF398

ABSOLUTE MAXIMUM RATINGS

PARAMETER	RATING	UNIT
Supply voltage	± 18	V
Power dissipation (package limitation) <sup>1</sup>	500	mW
Operating ambient temperature range		
LF198	-55 to +125	°C
LF298	-25 to +85	°C
LF398	0 to +70	°C
Storage temperature range	-65 to +150	°C
Input voltage	Equal to supply voltage	
Logic to logic reference differential voltage <sup>2</sup>	+7, -30	V
Output short circuit duration	Indefinite	
Hold capacitor short circuit duration	10	sec
Lead temperature (soldering, 10sec)	300	°C

DC ELECTRICAL CHARACTERISTICS

Unless otherwise specified, the following conditions apply. Unit is in "sample" mode,  $V_S = \pm 15V$ ,  $T_j = 25^\circ C$ ,  $-11.5V \leq V_{IN} \leq +11.5V$ ,  $C_h = 0.01\mu F$ , and  $R_L = 10k\Omega$ . Logic reference voltage = 0V and logic voltage = 2.5V.

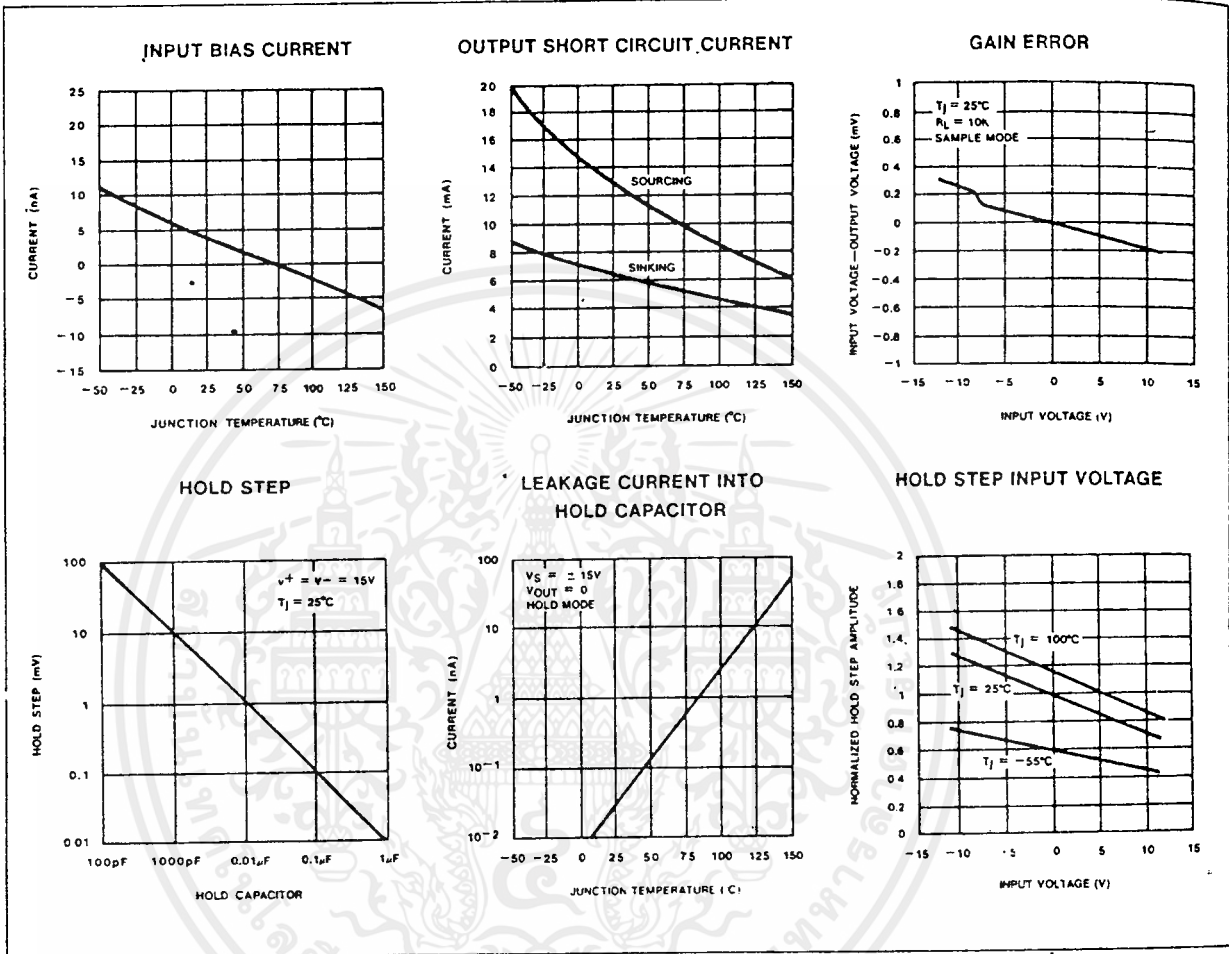
PARAMETER	TEST CONDITIONS	LF198/LF298			LF398			UNIT
		Min	Typ	Max	Min	Typ	Max	
Input offset voltage <sup>6</sup>	$T_j = 25^\circ C$		1	3 5		2	7 10	mV mV
Input bias current <sup>6</sup>	$T_j = 25^\circ C$ Full temperature range		5	25 75		10	50 100	nA nA
Input impedance	$T_j = 25^\circ C$		$10^{10}$			$10^{10}$		$\Omega$
Gain error	$T_j = 25^\circ C$ , $R_L = 10K$ Full temperature range		0.002	0.005 0.02		0.004	0.01 0.02	% %
Feedthrough attenuation ratio at 1kHz	$T_j = 25^\circ C$ , $C_h = 0.01\mu F$	86	96		80	90		dB
Output impedance	$T_j = 25^\circ C$ , "HOLD" mode Full temperature range		0.5	2 4		0.5	4 6	$\Omega$ $\Omega$
"HOLD" step <sup>4</sup>	$T_j = 25^\circ C$ , $C_h = 0.01\mu F$ , $V_{OUT} = 0$		0.5	2.0		1.0	2.5	mV
Supply current <sup>6</sup>	$T_j \leq 25^\circ C$		4.5	5.5		4.5	6.5	mA
Logic and logic reference input current	$T_j = 25^\circ C$		2	10		2	10	$\mu A$
Leakage current into hold capacitor <sup>6</sup>	$T_j = 25^\circ C^5$ , Hold mode		30	100		30	200	pA
Acquisition time to 0.1%	$\Delta V_{OUT} = 10V$ , $C_h = 1000pF$ $C_h = 0.01\mu F$		4 20			4 20		$\mu s$ $\mu s$
Hold capacitor charging current	$V_{IN} - V_{OUT} = 2V$		5			5		mA
Supply voltage rejection ratio	$V_{OUT} = 0$	80	110		80	110		dB
Differential logic threshold	$T_j = 25^\circ C$	0.8	1.4	2.4	0.8	1.4	2.4	V

NOTES

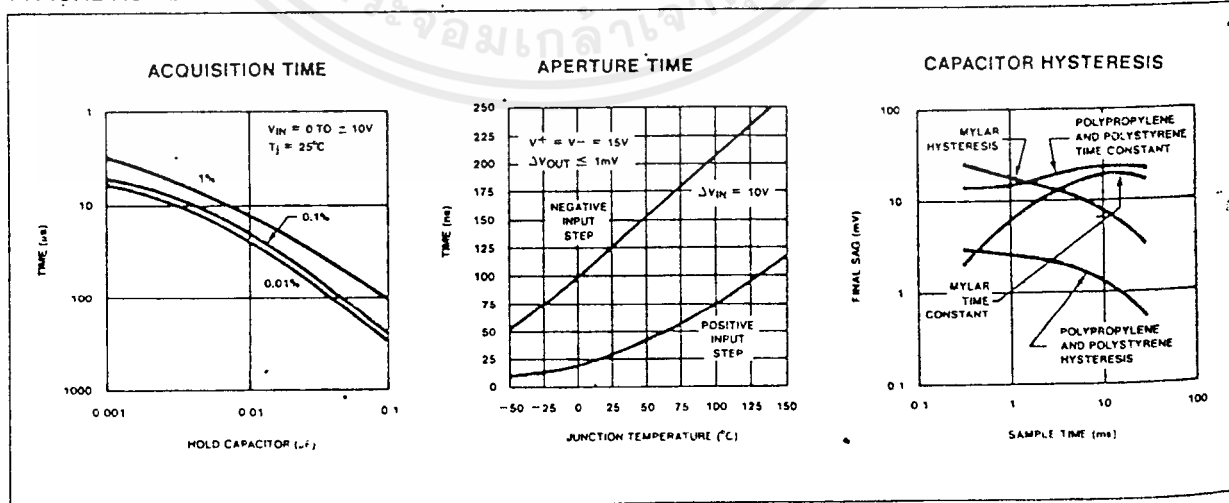
- The maximum junction temperature of the LF398 is 150°C. When operating at elevated ambient temperature, the TO-5 and plastic DIP packages must be derated based on a thermal resistance ( $\theta_{JA}$ ) of 150°C/W.
- Although the differential voltage may not exceed the limits given, the common-mode voltage on the logic pins may be equal to the supply voltages without causing damage to the circuit. For proper logic operation, however, one of the logic pins must always be at least 2V below the positive supply and 3V above the negative supply.
- Unless otherwise specified, the following conditions apply. Unit is in "sample" mode,  $V_S = \pm 15V$ ,  $T_j = 25^\circ C$ ,  $-11.5V \leq V_{IN} \leq +11.5V$ ,  $C_h = 0.01\mu F$ , and  $R_L = 10k$ . Logic reference voltage = 0V and logic voltage = 2.5V.
- Hold step is sensitive to stray capacitive coupling between input logic signals and the hold capacitor. 1pF, for instance, will create an additional 0.5mV step with a 5V logic swing and a 0.01 $\mu F$  hold capacitor. Magnitude of the hold step is inversely proportional to hold capacitor value.
- Leakage current is measured at a junction temperature of 25°C. The effects of junction temperature rise due to power dissipation or elevated ambient can be calculated by doubling the 25°C value for each 11°C increase in chip temperature. Leakage is guaranteed over full input signal range.
- The parameters guaranteed over a supply voltage of  $\pm 5$  to  $\pm 18V$ .

เอกสารนี้เป็นเอกสารที่สงวนไว้สำหรับการใช้งานเพื่อการศึกษาเท่านั้น ไม่อนุญาตให้นำไปใช้ประโยชน์ด้านการค้า  
ไม่ว่ากรณีใดๆ ทั้งสิ้น อีกทั้งห้ามมิให้ดัดแปลงเนื้อหาและต้องอ้างอิงถึงเจ้าของเอกสารทุกครั้งที่มีการนำไปใช้

TYPICAL DC PERFORMANCE CHARACTERISTICS



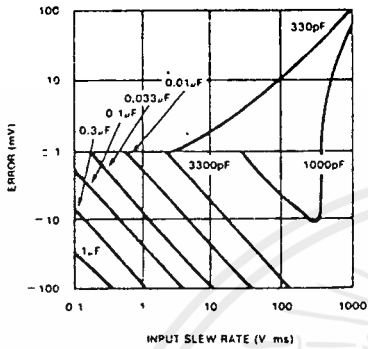
TYPICAL AC PERFORMANCE CHARACTERISTICS



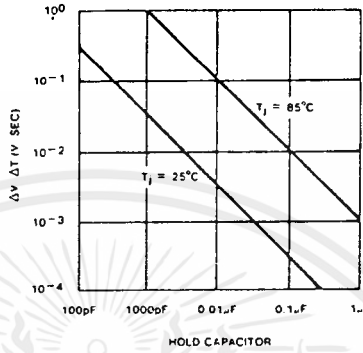
เอกสารนี้เป็นเอกสารที่สงวนไว้สำหรับการใช้งานเพื่อการศึกษาเท่านั้น ไม่อนุญาตให้นำไปใช้ประโยชน์ด้านการค้า  
 ไม่ว่ากรณีใดๆ ทั้งสิ้น อีกทั้งห้ามมิให้ดัดแปลงเนื้อหาและต้องอ้างอิงถึงเจ้าของเอกสารทุกครั้งที่มีการนำไปใช้

TYPICAL AC PERFORMANCE CHARACTERISTICS (cont'd)

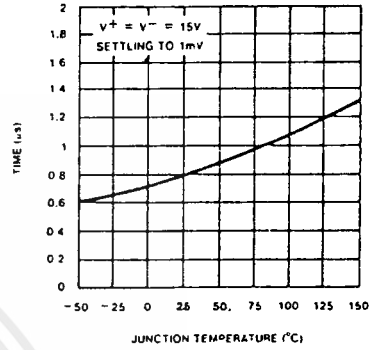
DYNAMIC SAMPLING ERROR



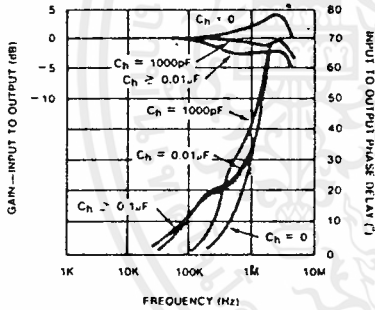
OUTPUT DROOP RATE



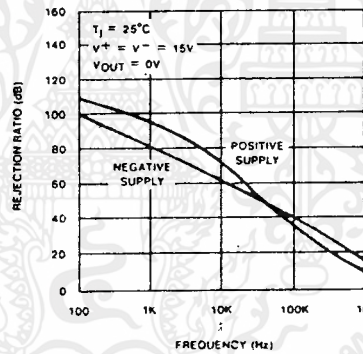
"HOLD" SETTLING TIME



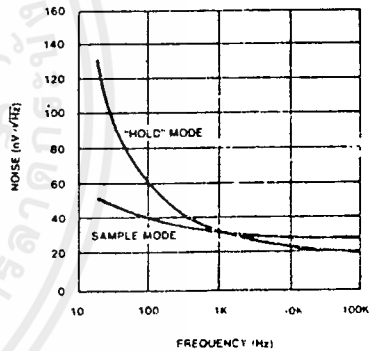
PHASE AND GAIN (INPUT TO OUTPUT, SMALL SIGNAL)



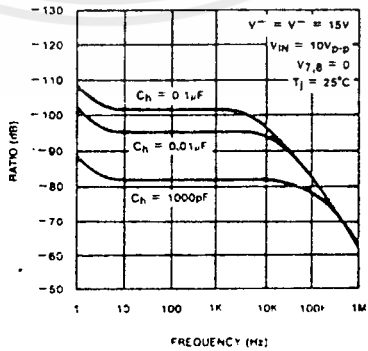
POWER SUPPLY REJECTION



OUTPUT NOISE



FEEDTHROUGH REJECTION RATIO (HOLD MODE)



เอกสารนี้เป็นเอกสารที่สงวนไว้สำหรับการใช้งานเพื่อการศึกษาเท่านั้น ไม่อนุญาตให้นำไปใช้ประโยชน์ด้านการค้า  
ไม่ว่ากรณีใดๆ ทั้งสิ้น อีกทั้งห้ามมิให้ดัดแปลงเนื้อหาและต้องอ้างอิงถึงเจ้าของเอกสารทุกครั้งที่มีการนำไปใช้

## ADC0808, ADC0809 8-Bit $\mu$ P Compatible A/D Converters With 8-Channel Multiplexer

### General Description

The ADC0808, ADC0809 data acquisition component is a monolithic CMOS device with an 8-bit analog-to-digital converter, 8-channel multiplexer and microprocessor compatible control logic. The 8-bit A/D converter uses successive approximation as the conversion technique. The converter features a high impedance chopper stabilized comparator, a 256R voltage divider with analog switch tree and a successive approximation register. The 8-channel multiplexer can directly access any of 8 single-ended analog signals.

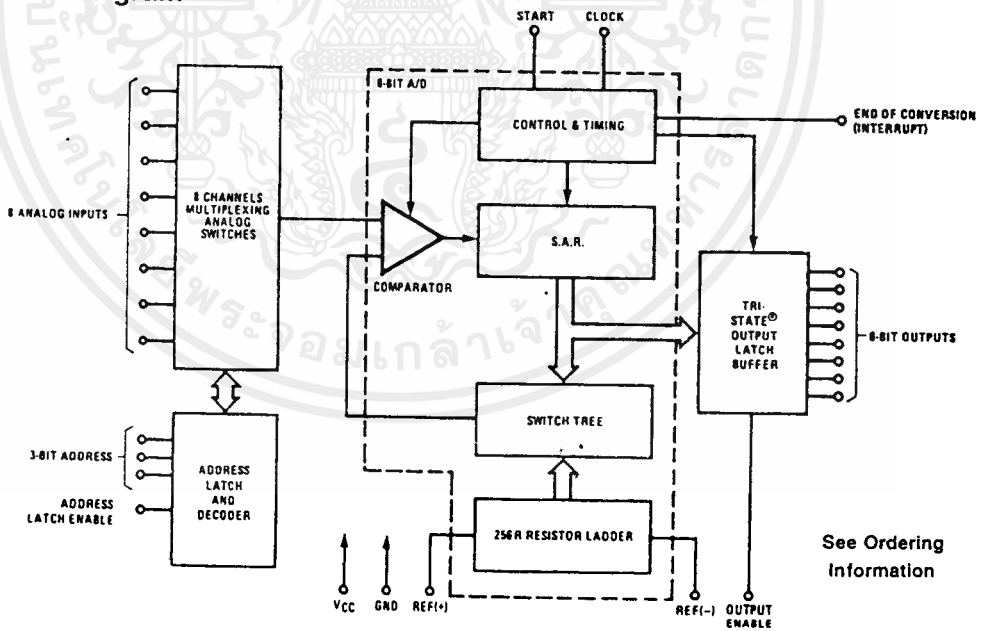
The device eliminates the need for external zero and full-scale adjustments. Easy interfacing to microprocessors is provided by the latched and decoded multiplexer address inputs and latched TTL TRI-STATE® outputs.

The design of the ADC0808, ADC0809 has been optimized by incorporating the most desirable aspects of several A/D conversion techniques. The ADC0808, ADC0809 offers high speed, high accuracy, minimal temperature dependence, excellent long-term accuracy and repeatability, and consumes minimal power. These features make this device ideally suited to applications from process and machine control to consumer and automotive applications. For 16-channel multiplexer with common output (sample/hold port) see ADC0816 data sheet. (See AN-247 for more information.)

### Features

- Resolution—8-bits
- Total unadjusted error— $\pm 1/2$  LSB and  $\pm 1$  LSB
- No missing codes
- Conversion time—100  $\mu$ S
- Single supply—5  $V_{DC}$
- Operates ratiometrically or with 5  $V_{DC}$  or analog span adjusted voltage reference
- 8-channel multiplexer with latched control logic
- Easy interface to all microprocessors, or operates "stand alone"
- Outputs meet T2L voltage level specifications
- 0V to 5V analog input voltage range with single 5V supply
- No zero or full-scale adjust required
- Standard hermetic or molded 28-pin DIP package
- Temperature range  $-40^{\circ}\text{C}$  to  $+85^{\circ}\text{C}$  or  $-55^{\circ}\text{C}$  to  $+125^{\circ}\text{C}$
- Low power consumption—15 mW
- Latched TRI-STATE® output

### Block Diagram



See Ordering  
Information

TL/H/5672-1

### Absolute Maximum Ratings

(Notes 1 and 2)

Supply Voltage ( $V_{CC}$ ) (Note 3)	6.5V
Voltage at Any Pin Except Control Inputs	-0.3V to ( $V_{CC} + 0.3V$ )
Voltage at Control Inputs (START, OE, CLOCK, ALE, ADD A, ADD B, ADD C)	-0.3V to +15V
Storage Temperature Range	-65°C to +150°C
Package Dissipation at $T_A = 25^\circ\text{C}$	875 mW
Lead Temperature (Soldering, 10 seconds)	300°C

### Operating Ratings (Notes 1 and 2)

Temperature Range (Note 1)	$T_{MIN} \leq T_A \leq T_{MAX}$
ADC0808CJ	-55°C $\leq T_A \leq$ +125°C
ADC0808CCJ, ADC0808CCN, ADC0809CCN	-40°C $\leq T_A \leq$ +125°C
Range of $V_{CC}$ (Note 1)	4.5 $V_{DC}$ to 6.0V

### Electrical Characteristics

Converter Specifications:  $V_{CC} = 5V_{DC} = V_{REF+}$ ,  $V_{REF(-)} = GND$ ,  $T_{MIN} \leq T_A \leq T_{MAX}$  and  $f_{CLK} = 640$  kHz unless otherwise stated.

Symbol	Parameter	Conditions	Min	Typ	Max	Units
	ADC0808					
	Total Unadjusted Error (Note 5)	25°C $T_{MIN}$ to $T_{MAX}$			$\pm 1/2$ $\pm 3/4$	LSB LSB
	ADC0809					
	Total Unadjusted Error (Note 5)	0°C to 70°C $T_{MIN}$ to $T_{MAX}$			$\pm 1$ $\pm 1 1/4$	LSB LSB
	Input Resistance	From Ref(+) to Ref(-)	1.0	2.5		k $\Omega$
	Analog Input Voltage Range	(Note 4) V(+) or V(-)	GND-0.10		$V_{CC} + 0.10$	$V_{DC}$
$\frac{V_{REF(+)} + V_{REF(-)}}{2}$	Voltage, Top of Ladder	Measured at Ref(+)		$V_{CC}$	$V_{CC} + 0.1$	V
	Voltage, Center of Ladder		$V_{CC}/2 - 0.1$	$V_{CC}/2$	$V_{CC}/2 + 0.1$	V
$V_{REF(-)}$	Voltage, Bottom of Ladder	Measured at Ref(-)	-0.1	0		V
$I_{IN}$	Comparator Input Current	$f_C = 640$ kHz, (Note 6)	-2	$\pm 0.5$	2	$\mu\text{A}$

### Electrical Characteristics

Digital Levels and DC Specifications: ADC0808CJ 4.5V  $\leq V_{CC} \leq$  5.5V, -55°C  $\leq T_A \leq$  +125°C unless otherwise noted  
ADC0808CCJ, ADC0808CCN, and ADC0809CCN 4.75  $\leq V_{CC} \leq$  5.25V, -40°C  $\leq T_A \leq$  +85°C unless otherwise noted

Symbol	Parameter	Conditions	Min	Typ	Max	Units
<b>ANALOG MULTIPLEXER</b>						
$I_{OFF(+)}$	OFF Channel Leakage Current	$V_{CC} = 5V$ , $V_{IN} = 5V$ , $T_A = 25^\circ\text{C}$ $T_{MIN}$ to $T_{MAX}$		10	200 1.0	nA $\mu\text{A}$
$I_{OFF(-)}$	OFF Channel Leakage Current	$V_{CC} = 5V$ , $V_{IN} = 0$ , $T_A = 25^\circ\text{C}$ $T_{MIN}$ to $T_{MAX}$	-200 -1.0	-10		nA $\mu\text{A}$
<b>CONTROL INPUTS</b>						
$V_{IN(1)}$	Logical "1" Input Voltage		$V_{CC} - 1.5$			V
$V_{IN(0)}$	Logical "0" Input Voltage				1.5	V
$I_{IN(1)}$	Logical "1" Input Current (The Control Inputs)	$V_{IN} = 15V$			1.0	$\mu\text{A}$
$I_{IN(0)}$	Logical "0" Input Current (The Control Inputs)	$V_{IN} = 0$	-1.0			$\mu\text{A}$
$I_{CC}$	Supply Current	$f_{CLK} = 640$ kHz		0.3	3.0	mA

เอกสารนี้เป็นเอกสารที่สงวนไว้สำหรับการใช้งานเพื่อการศึกษาเท่านั้น ไม่อนุญาตให้นำไปใช้ประโยชน์ด้านการค้า  
ไม่ว่ากรณีใดๆ ทั้งสิ้น อีกทั้งห้ามมิให้ดัดแปลงเนื้อหาและต้องอ้างอิงถึงเจ้าของเอกสารทุกครั้งที่มีการนำไปใช้

### Electrical Characteristics (Continued)

Operating Levels and DC Specifications: ADC0808CJ  $4.5V \leq V_{CC} \leq 5.5V$ ,  $-55^{\circ}C \leq T_A \leq +125^{\circ}C$  unless otherwise noted  
 ADC0808CCJ, ADC0808CCN, and ADC0809CCN  $4.75 \leq V_{CC} \leq 5.25V$ ,  $-40^{\circ}C \leq T_A \leq +85^{\circ}C$  unless otherwise noted

Symbol	Parameter	Conditions	Min.	Typ	Max	Units
<b>DATA OUTPUTS AND EOC (INTERRUPT)</b>						
$V_{OUT(1)}$	Logical "1" Output Voltage	$I_O = -360 \mu A$	$V_{CC} - 0.4$			V
$V_{OUT(0)}$	Logical "0" Output Voltage	$I_O = 1.6 \text{ mA}$			0.45	V
$V_{OUT(0)}$	Logical "0" Output Voltage EOC	$I_O = 1.2 \text{ mA}$			0.45	V
$I_{OUT}$	TRI-STATE® Output Current	$V_O = 5V$ $V_O = 0$	-3		3	$\mu A$ $\mu A$

### Electrical Characteristics

Timing Specifications  $V_{CC} = V_{REF(+)} = 5V$ ,  $V_{REF(-)} = GND$ ,  $t_r = t_f = 20 \text{ ns}$  and  $T_A = 25^{\circ}C$  unless otherwise noted.

Symbol	Parameter	Conditions	Min	Typ	Max	Units
$t_{WS}$	Minimum Start Pulse Width	(Figure 5)		100	200	ns
$t_{WALE}$	Minimum ALE Pulse Width	(Figure 5)		100	200	ns
$t_s$	Minimum Address Set-Up Time	(Figure 5)		25	50	ns
$t_h$	Minimum Address Hold Time	(Figure 5)		25	50	ns
$t_{D-}$	Analog MUX Delay Time From ALE	$R_S = 0\Omega$ (Figure 5)		1	2.5	$\mu S$
$t_{H1}, t_{H0}$	OE Control to Q Logic State	$C_L = 50 \text{ pF}$ , $R_L = 10k$ (Figure 8)		125	250	ns
$t_{H1}, t_{H0}$	OE Control to Hi-Z	$C_L = 10 \text{ pF}$ , $R_L = 10k$ (Figure 8)		125	250	ns
$t_c$	Conversion Time	$f_c = 640 \text{ kHz}$ , (Figure 5) (Note 7)	90	100	116	$\mu S$
$t_c$	Clock Frequency		10	640	1280	kHz
$t_{EOC}$	EOC Delay Time	(Figure 5)	0		$8 + 2 \mu S$	Clock Periods
$C_{IN}$	Input Capacitance	At Control Inputs		10	15	pF
$C_{OUT}$	TRI-STATE® Output Capacitance	At TRI-STATE® Outputs, (Note 12)		10	15	pF

Note 1: Absolute maximum ratings are those values beyond which the life of the device may be impaired.

Note 2: All voltages are measured with respect to GND, unless otherwise specified.

Note 3: A zener diode exists, internally, from  $V_{CC}$  to GND and has a typical breakdown voltage of 7  $V_{DC}$ .

Note 4: Two on-chip diodes are tied to each analog input which will forward conduct for analog input voltages one diode drop below ground or one diode drop greater than the  $V_{CC}$  supply. The spec allows 100 mV forward bias of either diode. This means that as long as the analog  $V_{IN}$  does not exceed the supply voltage by more than 100 mV, the output code will be correct. To achieve an absolute 0 $V_{DC}$  to 5 $V_{DC}$  input voltage range will therefore require a minimum supply voltage of 4.900  $V_{DC}$  over temperature variations, initial tolerance and loading.

Note 5: Total unadjusted error includes offset, full-scale, linearity, and multiplexer errors. See Figure 3. None of these A/Ds requires a zero or full-scale adjust. However, if an all zero code is desired for an analog input other than 0.0V, or if a narrow full-scale span exists (for example: 0.5V to 4.5V full-scale) the reference voltages can be adjusted to achieve this. See Figure 13.

Note 6: Comparator input current is a bias current into or out of the chopper stabilized comparator. The bias current varies directly with clock frequency and has little temperature dependence (Figure 6). See paragraph 4.0.

Note 7: The outputs of the data register are updated one clock cycle before the rising edge of EOC.

## Functional Description

**Multiplexer.** The device contains an 8-channel single-ended analog signal multiplexer. A particular input channel is selected by using the address decoder. Table I shows the input states for the address lines to select any channel. The address is latched into the decoder on the low-to-high transition of the address latch enable signal.

TABLE I.

SELECTED ANALOG CHANNEL	ADDRESS LINE		
	C	B	A
IN0	L	L	L
IN1	L	L	H
IN2	L	H	L
IN3	L	H	H
IN4	H	L	L
IN5	H	L	H
IN6	H	H	L
IN7	H	H	H

## CONVERTER CHARACTERISTICS

### The Converter

The heart of this single chip data acquisition system is its 8-bit analog-to-digital converter. The converter is designed

to give fast, accurate, and repeatable conversions over a wide range of temperatures. The converter is partitioned into 3 major sections: the 256R ladder network, the successive approximation register, and the comparator. The converter's digital outputs are positive true.

The 256R ladder network approach (Figure 1) was chosen over the conventional R/2R ladder because of its inherent monotonicity, which guarantees no missing digital codes. Monotonicity is particularly important in closed loop feedback control systems. A non-monotonic relationship can cause oscillations that will be catastrophic for the system. Additionally, the 256R network does not cause load variations on the reference voltage.

The bottom resistor and the top resistor of the ladder network in Figure 1 are not the same value as the remainder of the network. The difference in these resistors causes the output characteristic to be symmetrical with the zero and full-scale points of the transfer curve. The first output transition occurs when the analog signal has reached  $+1/2$  LSB and succeeding output transitions occur every 1 LSB up to full-scale.

The successive approximation register (SAR) performs  $n$  iterations to approximate the input voltage. For any SAR type converter,  $n$ -iterations are required for an  $n$ -bit conversion. Figure 2 shows a typical example of a 3-bit converter. In the ADC0808, ADC0809, the approximation technique is extended to 8 bits using the 256R network.

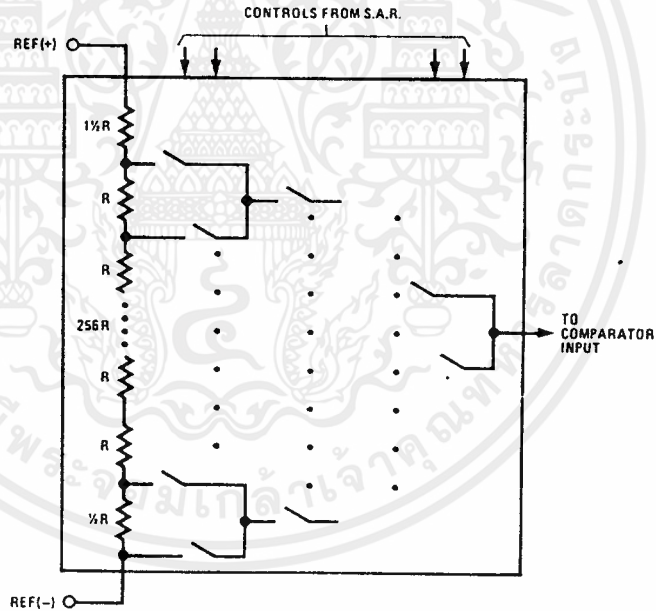


FIGURE 1. Resistor Ladder and Switch Tree

TL/H/5672-2

## Functional Description (Continued)

The A/D converter's successive approximation register (SAR) is reset on the positive edge of the start conversion (SC) pulse. The conversion is begun on the falling edge of the start conversion pulse. A conversion in process will be interrupted by receipt of a new start conversion pulse. Continuous conversion may be accomplished by tying the end-of-conversion (EOC) output to the SC input. If used in this mode, an external start conversion pulse should be applied after power up. End-of-conversion will go low between 0 and 8 clock pulses after the rising edge of start conversion. The most important section of the A/D converter is the comparator. It is this section which is responsible for the ultimate accuracy of the entire converter. It is also the

comparator drift which has the greatest influence on the repeatability of the device. A chopper-stabilized comparator provides the most effective method of satisfying all the converter requirements.

The chopper-stabilized comparator converts the DC input signal into an AC signal. This signal is then fed through a high gain AC amplifier and has the DC level restored. This technique limits the drift component of the amplifier since the drift is a DC component which is not passed by the AC amplifier. This makes the entire A/D converter extremely insensitive to temperature, long term drift and input offset errors.

Figure 4 shows a typical error curve for the ADC0808 as measured using the procedures outlined in AN-179.

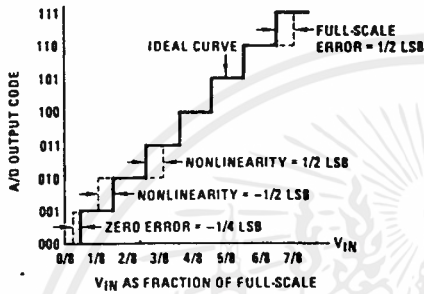


FIGURE 2. 3-Bit A/D Transfer Curve

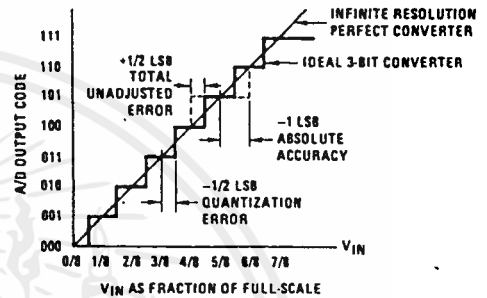


FIGURE 3. 3-Bit A/D Absolute Accuracy Curve

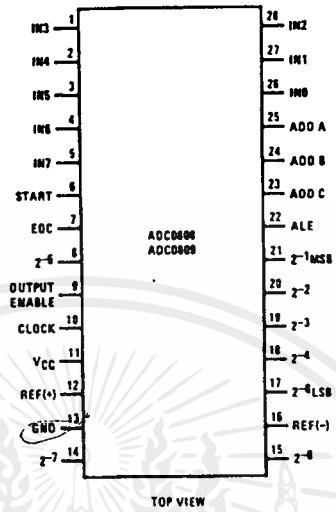


FIGURE 4. Typical Error Curve

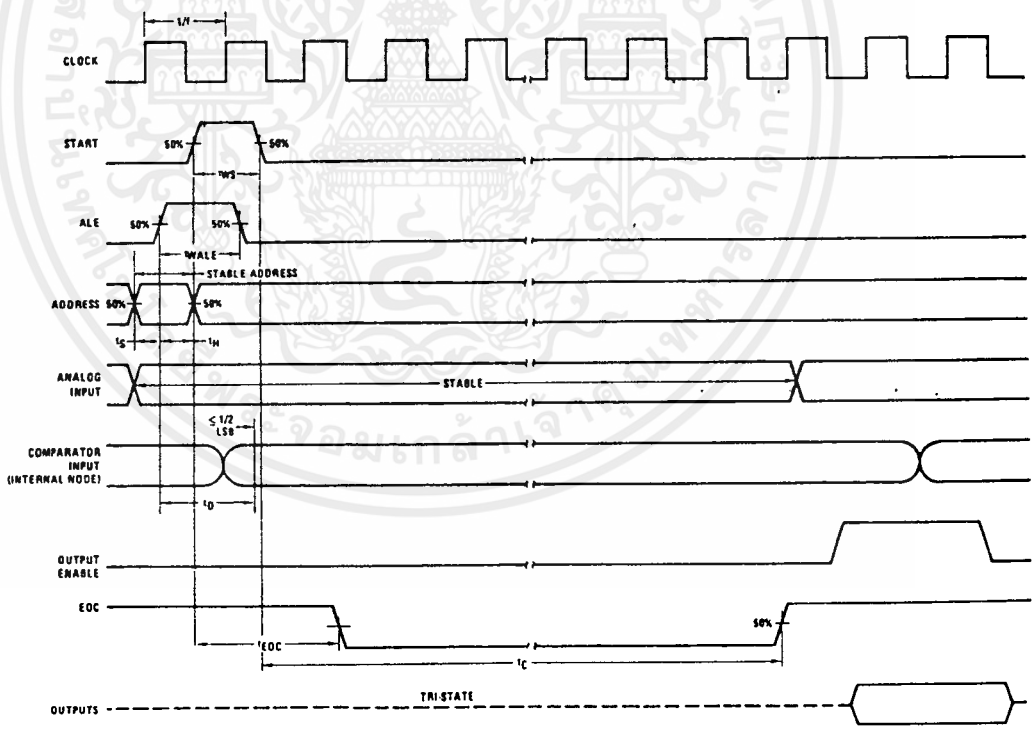
TL/H/5672-3

# Connection Diagram

Dual-In-Line Package



# Timing Diagram



TL/H/5672-4

เอกสารนี้เป็นเอกสารที่สงวนไว้สำหรับการใช้งานเพื่อการศึกษาเท่านั้น ไม่อนุญาตให้นำไปใช้ประโยชน์ด้านการค้า  
ไม่ว่ากรณีใดๆ ทั้งสิ้น อีกทั้งห้ามมิให้ตัดแปลงเนื้อหาและต้องอ้างอิงถึงเจ้าของเอกสารทุกครั้งที่มีการนำไปใช้

## Typical Performance Characteristics

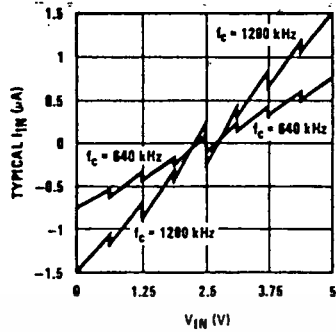


FIGURE 6. Comparator  $I_{IN}$  vs  $V_{IN}$   
( $V_{CC} = V_{REF} = 5V$ )

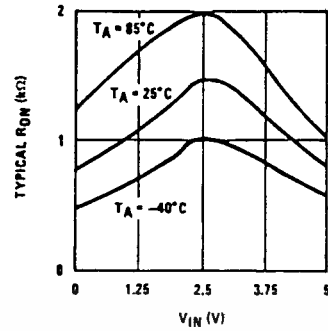


FIGURE 7. Multiplexer  $R_{ON}$  vs  $V_{IN}$   
( $V_{CC} = V_{REF} = 5V$ )

TL/H/5672-5

## TRI-STATE® Test Circuits and Timing Diagrams

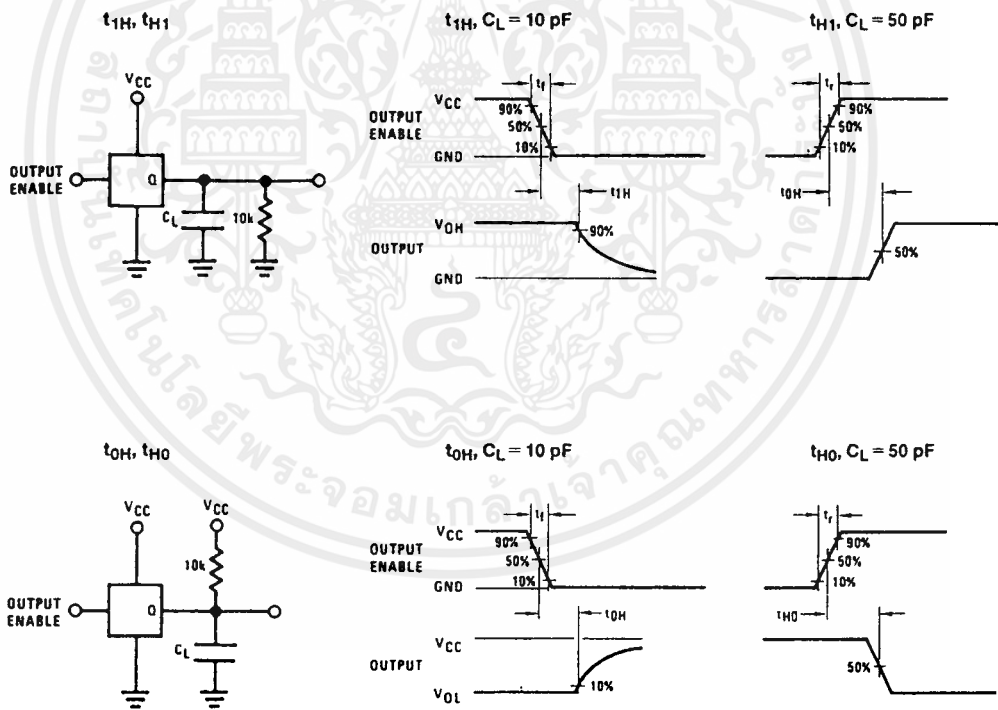


FIGURE 8

TL/H/5672-6

เอกสารนี้เป็นเอกสารที่สงวนไว้สำหรับการใช้งานเพื่อการศึกษาเท่านั้น ไม่อนุญาตให้นำไปใช้ประโยชน์ด้านการค้า  
ไม่ว่ากรณีใดๆ ทั้งสิ้น อีกทั้งห้ามมิให้ดัดแปลงเนื้อหาและต้องอ้างอิงถึงเจ้าของเอกสารทุกครั้งที่มีการนำไปใช้

## Applications Information

### OPERATION

#### 1.0 RATIOMETRIC CONVERSION

The ADC0808, ADC0809 is designed as a complete Data Acquisition System (DAS) for ratiometric conversion systems. In ratiometric systems, the physical variable being measured is expressed as a percentage of full-scale which is not necessarily related to an absolute standard. The voltage input to the ADC0808 is expressed by the equation

$$\frac{V_{IN}}{V_{FS} - V_Z} = \frac{D_X}{D_{MAX} - D_{MIN}} \quad (1)$$

$V_{IN}$  = Input voltage into the ADC0808

$V_{FS}$  = Full-scale voltage

$V_Z$  = Zero voltage

$D_X$  = Data point being measured

$D_{MAX}$  = Maximum data limit

$D_{MIN}$  = Minimum data limit

A good example of a ratiometric transducer is a potentiometer used as a position sensor. The position of the wiper is directly proportional to the output voltage which is a ratio of the full-scale voltage across it. Since the data is represented as a proportion of full-scale, reference requirements are greatly reduced, eliminating a large source of error and cost for many applications. A major advantage of the ADC0808, ADC0809 is that the input voltage range is equal to the supply range so the transducers can be connected directly across the supply and their outputs connected directly into the multiplexer inputs, (Figure 9).

Ratiometric transducers such as potentiometers, gauges, thermistor bridges, pressure transducers, etc. are suitable for measuring proportional relationships; however, many types of measurements must be referred to an absolute standard such as voltage or current. This means a common reference must be used which relates the full-scale voltage to the standard volt. For example, if  $V_{CC} = V_{REF} = 5.12V$ , then the full-scale range is divided into 256 standard steps. The smallest standard step is 1 LSB which is then 20 mV.

#### 2.0 RESISTOR LADDER LIMITATIONS

The voltages from the resistor ladder are compared to the selected into 8 times in a conversion. These voltages are coupled to the comparator via an analog switch tree which is referenced to the supply. The voltages at the top, center and bottom of the ladder must be controlled to maintain proper operation.

The top of the ladder, Ref(+), should not be more positive than the supply, and the bottom of the ladder, Ref(-), should not be more negative than ground. The center of the ladder voltage must also be near the center of the supply because the analog switch tree changes from N-channel switches to P-channel switches. These limitations are automatically satisfied in ratiometric systems and can be easily met in ground referenced systems.

Figure 10 shows a ground referenced system with a separate supply and reference. In this system, the supply must be trimmed to match the reference voltage. For instance, if a 5.12V is used, the supply should be adjusted to the same voltage within 0.1V.

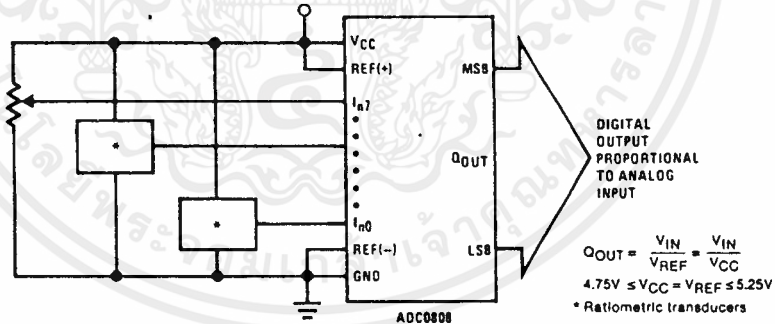


FIGURE 9. Ratiometric Conversion System

**Applications Information (Continued)**

The ADC0808 needs less than a milliamp of supply current so developing the supply from the reference is readily accomplished. In Figure 11 a ground referenced system is shown which generates the supply from the reference. The buffer shown can be an op amp of sufficient drive to supply a milliamp of supply current and the desired bus drive, or if the capacitive bus is driven by the outputs a large capacitor will supply the transient supply current as seen in Figure 12. The LM301 is overcompensated to insure stability when loaded by the 10  $\mu$ F output capacitor.

The top and bottom ladder voltages cannot exceed  $V_{CC}$  and ground, respectively, but they can be symmetrically less than  $V_{CC}$  and greater than ground. The center of the ladder voltage should always be near the center of the supply. The sensitivity of the converter can be increased, (i.e., size of the LSB steps decreased) by using a symmetrical reference system. In Figure 13, a 2.5V reference is symmetrically centered about  $V_{CC}/2$  since the same current flows in identical resistors. This system with a 2.5V reference allows the LSB bit to be half the size of a 5V reference system.

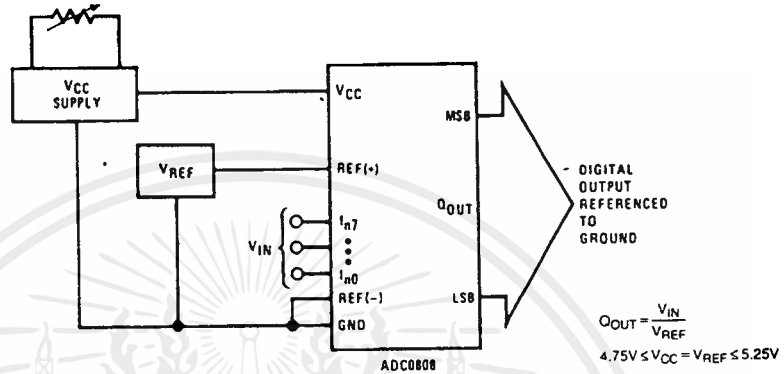


FIGURE 10. Ground Referenced Conversion System Using Trimmed Supply

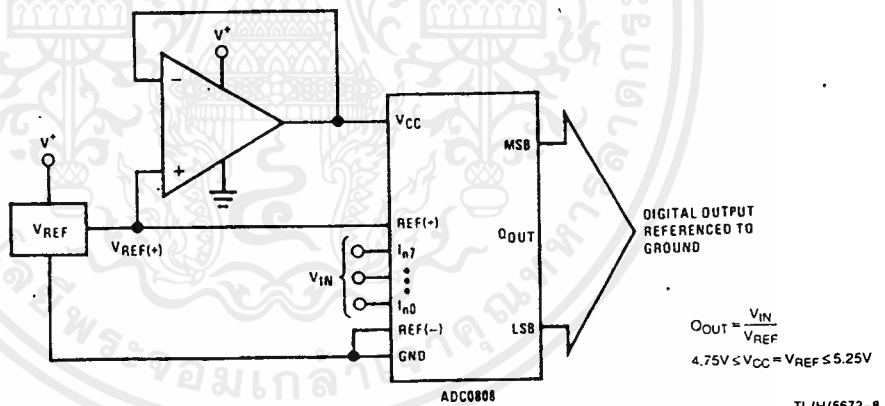


FIGURE 11: Ground Referenced Conversion System with Reference Generating  $V_{CC}$  Supply

## Applications Information (Continued)

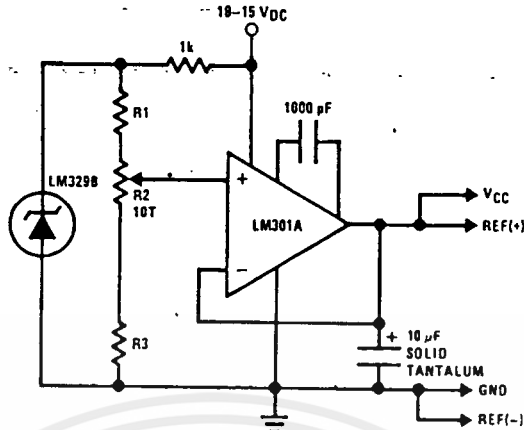


FIGURE 12. Typical Reference and Supply Circuit

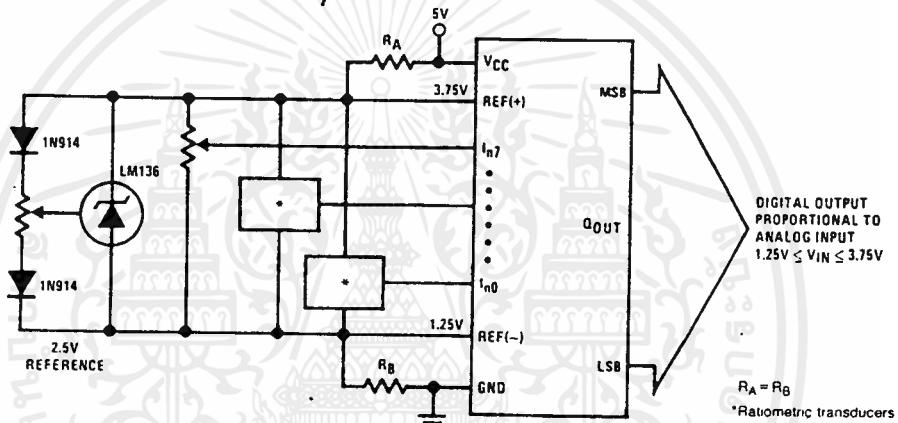


FIGURE 13. Symmetrically Centered Reference

TL/H/5672-4

### 3.0 CONVERTER EQUATIONS

The transition between adjacent codes  $N$  and  $N + 1$  is given by:

$$V_{IN} = \left\{ (V_{REF(+)} - V_{REF(-)}) \left[ \frac{N}{256} + \frac{1}{512} \right] \pm V_{TUE} \right\} + V_{REF(-)} \quad (2)$$

The center of an output code  $N$  is given by:

$$V_{IN} \left\{ (V_{REF(+)} - V_{REF(-)}) \left[ \frac{N}{256} \right] \pm V_{TUE} \right\} + V_{REF(-)} \quad (3)$$

The output code  $N$  for an arbitrary input are the integers within the range:

$$N = \frac{V_{IN} - V_{REF(-)}}{V_{REF(+)} - V_{REF(-)}} \times 256 \pm \text{Absolute Accuracy} \quad (4)$$

where:  $V_{IN}$  = Voltage at comparator input

$V_{REF(+)}$  = Voltage at Ref (+)

$V_{REF(-)}$  = Voltage at Ref (-)

$V_{TUE}$  = Total unadjusted error voltage (typically

$V_{REF(+)} \div 512$ )

### 4.0 ANALOG COMPARATOR INPUTS

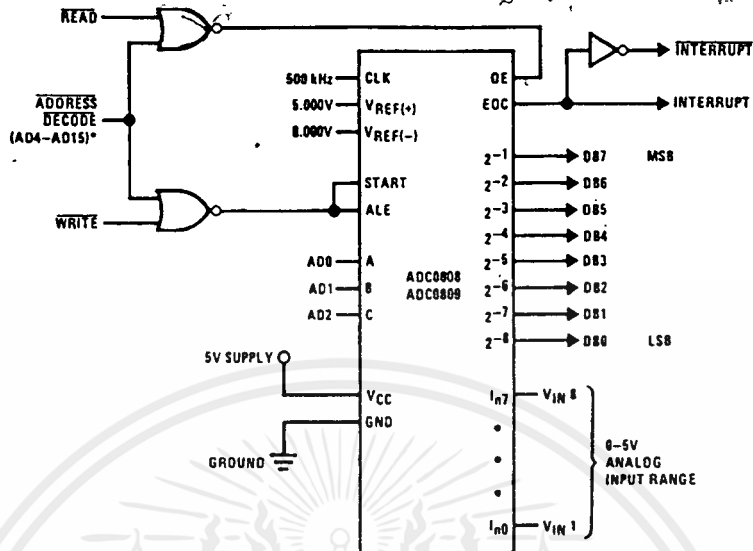
The dynamic comparator input current is caused by the periodic switching of on-chip stray capacitances. These are connected alternately to the output of the resistor ladder/switch tree network and to the comparator input as part of the operation of the chopper stabilized comparator.

The average value of the comparator input current varies directly with clock frequency and with  $V_{IN}$  as shown in Figure 6.

If no filter capacitors are used at the analog inputs and the signal source impedances are low, the comparator input current should not introduce converter errors, as the transient created by the capacitance discharge will die out before the comparator output is strobed.

If input filter capacitors are desired for noise reduction and signal conditioning they will tend to average out the dynamic comparator input current. It will then take on the characteristics of a DC bias current whose effect can be predicted conventionally.

## Typical Application



TL/H/5672-10

\*Address latches needed for 8085 and SC/MP interfacing the ADC0808 to a microprocessor

MICROPROCESSOR INTERFACE TABLE

PROCESSOR	READ	WRITE	INTERRUPT (COMMENT)
8080	MEMR	MEMW	INTR (Thru RST Circuit)
8085	$\overline{RD}$	$\overline{WR}$	INTR (Thru RST Circuit)
Z-80	$\overline{RD}$	$\overline{WR}$	$\overline{INT}$ (Thru RST Circuit, Mode 0)
SC/MP	NRDS	NWDS	SA (Thru Sense A)
6800	VMA $\cdot\phi$ 2 $\cdot\overline{R/W}$	VMA $\cdot\phi$ $\cdot\overline{R/W}$	$\overline{IROA}$ or $\overline{IROB}$ (Thru PIA)

## Ordering Information

TEMPERATURE RANGE		-40°C to +85°C		-55°C to +125°C
Error	$\pm 1/2$ Bit Unadjusted	ADC0808CCN	ADC0808CCJ	ADC0808CJ
	$\pm 1$ Bit Unadjusted	ADC0809CCN		
Package Outline		N28A Molded DIP	J28A Hermetic DIP	J28A Hermetic DIP

เอกสารนี้เป็นเอกสารที่สงวนไว้สำหรับการใช้งานเพื่อการศึกษาเท่านั้น ไม่อนุญาตให้นำไปใช้ประโยชน์ด้านการค้า  
ไม่ว่ากรณีใดๆ ทั้งสิ้น อีกทั้งห้ามมิให้ดัดแปลงเนื้อหาและต้องอ้างอิงถึงเจ้าของเอกสารทุกครั้งที่มีการนำไปใช้

SCL4066B



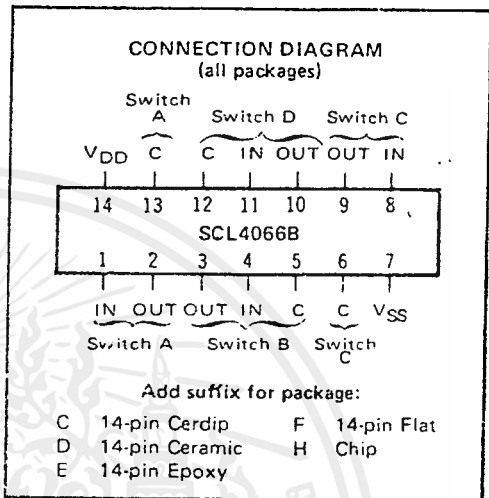
# CMOS QUAD ANALOG SWITCH

## FEATURES

- ◆ Transmission or Multiplexing of Analog or Digital Signals
- ◆ 80Ω Typical ON-Resistance for 15-Volt operation
- ◆ Switch ON-Resistance Matched to within 5Ω over 15-Volt Signal-Input Range
- ◆ ON-Resistance Flat over Full Peak-to-Peak Signal Range
- ◆ High Degree of Linearity:
  - ≤ 0.5% Distortion (typ) @  $f_{is} = 7\text{kHz}$ ,  $V_{is} = 5V_{p-p}$ ,  $V_{DD} - V_{SS} \geq 10V$ ,  $R_L = 10k\Omega$
- ◆ Extremely Low OFF switch Leakage Resulting in very Low Offset Current and High Effective OFF Resistance:
  - 10pA (typ) @  $V_{DD} - V_{SS} = 10V$ ,  $T_A = 25^\circ C$
- ◆ Extremely High Control Input Impedance (Control Circuit Isolated from Signal Circuit):
  - $10^{12}\Omega$  (typ)
- ◆ Low Crosstalk between Switches:
  - 50dB (typ) @  $f_{is} = 0.9\text{MHz}$ ,  $R_L = 1k\Omega$
- ◆ Matched Control-Input to Signal-Output Capacitance Reduces Output Signal Transients
- ◆ Frequency Response, Switch ON = 40MHz (typ)

## DESCRIPTION

The SCL4066B is a Quad Bilateral Switch intended for the transmission or multiplexing of analog or digital signals. It is pin-for-pin compatible with the SCL4016B, but exhibits a much lower ON-resistance. In addition, its ON-resistance is relatively constant over the full input signal range. The SCL4066 consists of four independent bilateral switches. A single control signal is required per switch. Both the P and the N device in a given switch are biased ON or OFF simultaneously by the control signal. As shown below, the gate of the N-channel device on each switch is either tied to the input when the switch is ON or to  $V_{SS}$  when the switch is OFF. This configuration minimizes the variation of the switch-transistor threshold



## RECOMMENDED OPERATING CONDITIONS

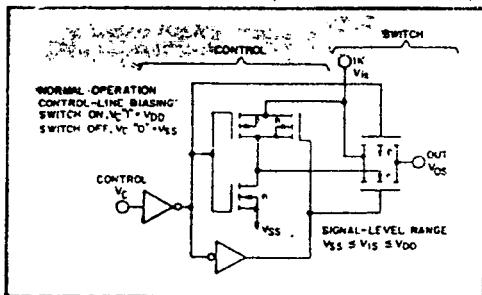
For maximum reliability:

DC Supply Voltage	$V_{DD} - V_{SS}$	3 to 15	Vdc
Operating Temperature	$T_A$		
C, D, F, H Device		-55 to +125	°C
E Device		-40 to +85	°C

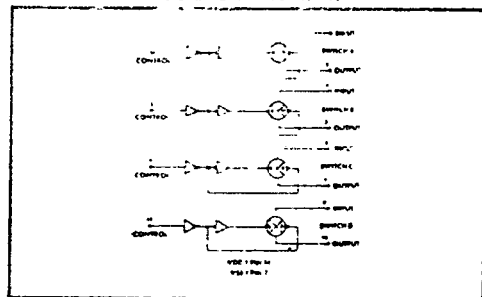
... voltage with input-signal, and thus keeps the ON-resistance low over the full operating range.

The advantages over single-channel switches include peak input-signal voltage swings equal to the full supply voltage, and more constant ON-impedance over the input-signal range. For sample-and-hold applications, however, the SCL4016 is recommended.

## SCHEMATIC DIAGRAM (one of four switches)



## LOGIC DIAGRAM



เอกสารนี้เป็นเอกสารที่สงวนไว้สำหรับการใช้งานเพื่อการศึกษาเท่านั้น ไม่อนุญาตให้นำไปใช้ประโยชน์ด้านการค้า  
ไม่ว่ากรณีใดๆ ทั้งสิ้น อีกทั้งห้ามมิให้ดัดแปลงเนื้อหาและต้องอ้างอิงถึงเจ้าของเอกสารทุกครั้งที่มีการนำไปใช้

## ELECTRICAL CHARACTERISTICS

STATIC CHARACTERISTICS<sup>1,3</sup>

PARAMETER	CONDITIONS	V <sub>SS</sub> (Vdc)	V <sub>DD</sub> (Vdc)	T <sub>LOW</sub> <sup>2</sup>		25°C			T <sub>HIGH</sub> <sup>2</sup>		Units	
				Min.	Max.	Min.	Typ.	Max.	Min.	Max.		
QUIESCENT DEVICE CURRENT	I <sub>DD</sub> V <sub>IN</sub> = V <sub>SS</sub> or V <sub>DD</sub> All valid input combinations	0	5	-	0.05	-	0.0005	0.05	-	1.5	μAdc	
		0	10	-	0.1	-	0.001	0.1	-	3.0		
		0	15	-	0.2	-	0.002	0.2	-	6.0		
MINIMUM INPUT HIGH VOLTAGE (Control Input)	V <sub>IH</sub> V <sub>IS</sub> = V <sub>SS</sub> V <sub>OS</sub> = V <sub>DD</sub> I <sub>OS</sub> = 10μA	0	5	-	4.0	-	2.75	4.0	-	4.0	Vdc	
		0	10	-	8.0	-	5.5	8.0	-	8.0		
		0	15	-	12.0	-	8.25	12.0	-	12.0		
MAXIMUM INPUT LOW VOLTAGE (Control Input)	V <sub>IL</sub> V <sub>IS</sub> = V <sub>SS</sub> V <sub>OS</sub> = V <sub>DD</sub> I <sub>OS</sub> = 10μA	0	5	1.0	-	1.0	2.25	-	1.0	-	Vdc	
		0	10	2.0	-	2.0	4.5	-	2.0	-		
		0	15	3.0	-	3.0	6.75	-	3.0	-		
SWITCH INPUT/OUTPUT LEAKAGE	I <sub>OFF</sub> V <sub>C</sub> = V <sub>CC</sub> V <sub>IS</sub> = ±7.5Vdc	-7.5	+7.5	-	±100	-	±0.01	±100	-	±200	nAdc	
ON-RESISTANCE C,D,F,H device	R <sub>ON</sub> V <sub>C</sub> = V <sub>DD</sub> V <sub>SS</sub> ≤ V <sub>IS</sub> ≤ V <sub>DD</sub> R <sub>L</sub> = 10kΩ	-7.5	+7.5	-	220	-	80	280	-	320	Ω	
		-5	+5	-	310	-	120	400	-	550		
		-2.5	+2.5	-	2000	-	270	2500	-	3500		
	E device	R <sub>ON</sub> V <sub>C</sub> = V <sub>DD</sub> V <sub>SS</sub> ≤ V <sub>IS</sub> ≤ V <sub>DD</sub> R <sub>L</sub> = 10kΩ	-7.5	+7.5	-	250	-	80	280	-	300	Ω
			-5	+5	-	330	-	120	400	-	520	
			-2.5	+2.5	-	2100	-	270	2500	-	3200	
	ON-RESISTANCE MATCH (Same package)	ΔR <sub>ON</sub> V <sub>C</sub> = V <sub>DD</sub> V <sub>SS</sub> ≤ V <sub>IS</sub> ≤ V <sub>DD</sub> R <sub>L</sub> = 10kΩ	-7.5	+7.5	-	-	-	5	-	-	-	Ω
			-5	+5	-	-	-	10	-	-	-	
			-2.5	+2.5	-	-	-	10	-	-	-	

NOTES: <sup>1</sup> Remaining Static Electrical Characteristics are listed under "SCL4000B Series Family Specifications"

<sup>2</sup> T<sub>LOW</sub> = -55°C for C, D, F, H device.

-40°C for E device.

<sup>3</sup> T<sub>HIGH</sub> = 125°C for C, D, F, H device.

85°C for E device.

<sup>4</sup> This device has been designed for balanced output drive current specifications. Consult Family Specifications

เอกสารนี้เป็นเอกสารที่สงวนไว้สำหรับการใช้งานเพื่อการศึกษาเท่านั้น ไม่อนุญาตให้นำไปใช้ประโยชน์ด้านการค้า  
ไม่ว่ากรณีใดๆ ทั้งสิ้น อีกทั้งห้ามมิให้ดัดแปลงเนื้อหาและต้องอ้างอิงถึงเจ้าของเอกสารทุกครั้งที่มีการนำไปใช้

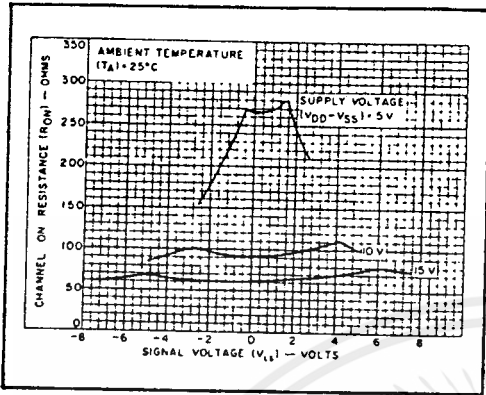
SCL4066B

## ELECTRICAL CHARACTERISTICS (Continued)

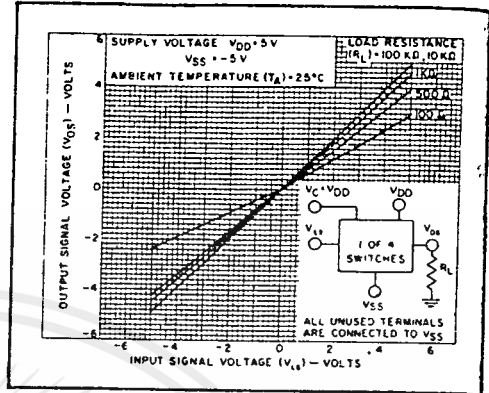
DYNAMIC CHARACTERISTICS ( $C_L = 50\text{pF}$ ,  $T_A = 25^\circ\text{C}$ )

PARAMETER	CONDITIONS	$V_{SS}$ (Vdc)	$V_{DD}$ (Vdc)	Min.	Typ.	Max.	Units
<b>SIGNAL INPUTS (<math>V_{iF}</math>) AND OUTPUTS (<math>V_{oF}</math>)</b>							
PROPAGATION DELAY TIME Signal Input to Signal Output	$t_{PLH}$ , $t_{PHL}$ $V_c = V_{DD}$ $V_{in} = \text{Square Wave}$ $R_L = 10\text{k}\Omega$	0 0 0	5 10 15	— — —	20 10 7.5	40 20 15	ns
BANDWIDTH (-3dB) (Sine Wave)	BW $V_c = V_{DD}$ $V_{in} = 5V_{p-p}$ centered @ 0.0Vdc $R_L =$ 1k $\Omega$ 10k $\Omega$ 100k $\Omega$ 1M $\Omega$	-5	+5	— — — —	54 40 38 37	— — — —	MHz
INSERTION LOSS ( $= 20 \log_{10} \frac{V_{oF}}{V_{iF}}$ )	$V_c = V_{DD}$ $V_{in} = 5V_{p-p}$ centered @ 0.0Vdc $R_L =$ 1k $\Omega$ 10k $\Omega$ 100k $\Omega$ 1M $\Omega$	-5	+5	— — — —	2.3 0.2 0.1 0.05	— — — —	dB
SIGNAL DISTORTION (Sine Wave)	$V_c = V_{DD}$ $V_{in} = 5V_{p-p}$ centered @ 0.0Vdc $f_{iF} = 1.0\text{kHz}$ $R_L = 10\text{k}\Omega$	-5	+5	—	0.16	—	%
FEEDTHROUGH (-50dB)	$V_c = V_{SS}$ $V_{in} = 5V_{p-p}$ centered @ 0.0Vdc $R_L =$ 1k $\Omega$ 10k $\Omega$ 100k $\Omega$ 1M $\Omega$	-5	+5	— — — —	1250 140 18 2	— — — —	kHz
CROSSTALK (-50dB) Between two switches	$V_c(A) = V_{DD}$ $V_c(B) = V_{SS}$ $V_{in}(A) = 5V_{p-p}$ centered @ 0.0Vdc $R_L = 10\text{k}\Omega$	-5	+5	—	0.9	—	MHz
CAPACITANCE Input	$C_{in}$	—	—	—	8	—	pF
Output	$C_{os}$	$V_c = V_{SS}$	-5	+5	—	8	pF
Feedthrough	$C_{ios}$	—	—	—	0.5	—	pF
<b>CONTROL INPUT (<math>V_C</math>)</b>							
PROPAGATION DELAY TIME Turn on	$t_{PC}$ $V_{SS} < V_{in} < V_{DD}$ $R_L = 10\text{k}\Omega$	0 0 0	5 10 15	— — —	50 25 20	100 50 40	ns
MAXIMUM INPUT FREQUENCY	$f_c$ $V_{SS} < V_{in} < V_{DD}$ $R_L = 1.0\text{k}\Omega$	0 0 0	5 10 15	— — —	5 10 12	— — —	MHz
CROSSTALK (To signal port)	$V_c = \text{Square Wave}$ $R_L = 10\text{k}\Omega$ $R_{in} = 1.0\text{k}\Omega$	0 0 0	5 10 15	— — —	30 50 100	— — —	mV

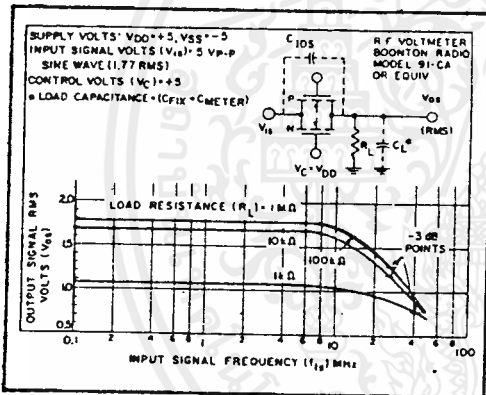
เอกสารนี้เป็นเอกสารที่สงวนไว้สำหรับการใช้งานเพื่อการศึกษาเท่านั้น ไม่อนุญาตให้นำไปใช้ประโยชน์ด้านการค้า  
ไม่ว่ากรณีใดๆ ทั้งสิ้น อีกทั้งห้ามมิให้ดัดแปลงเนื้อหาและต้องอ้างอิงถึงเจ้าของเอกสารทุกครั้งที่มีการนำไปใช้



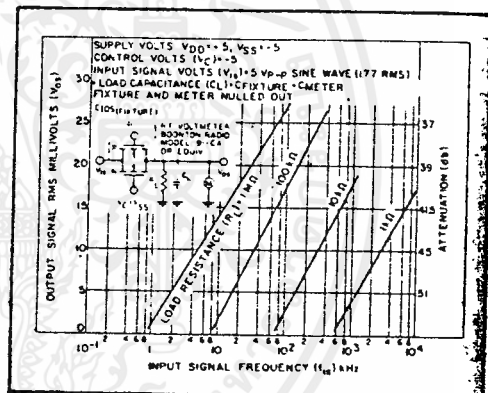
Typical channel ON resistance vs. signal voltage for three values of supply voltage (V<sub>DD</sub>-V<sub>SS</sub>)



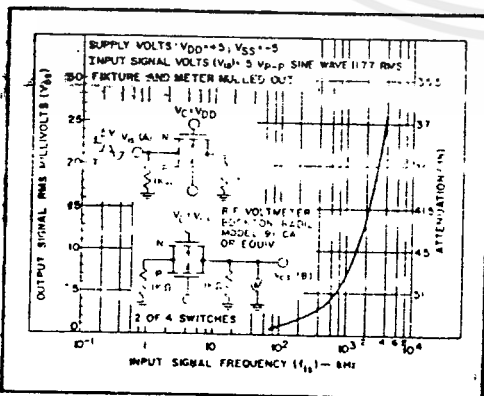
Typical ON characteristics for 1 of 4 channels.



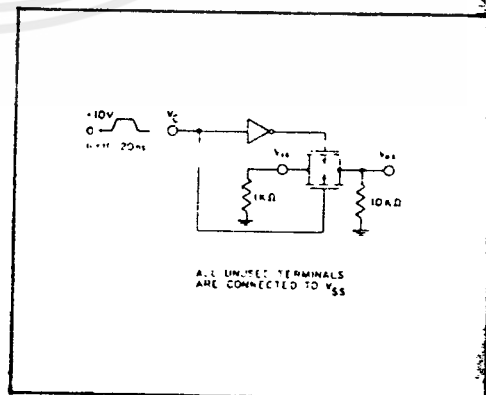
Typ. switch frequency response - switch "ON"



Typ. feedthru vs. freq. - switch "OFF"



Typ. crosstalk between switch circuits in the same package



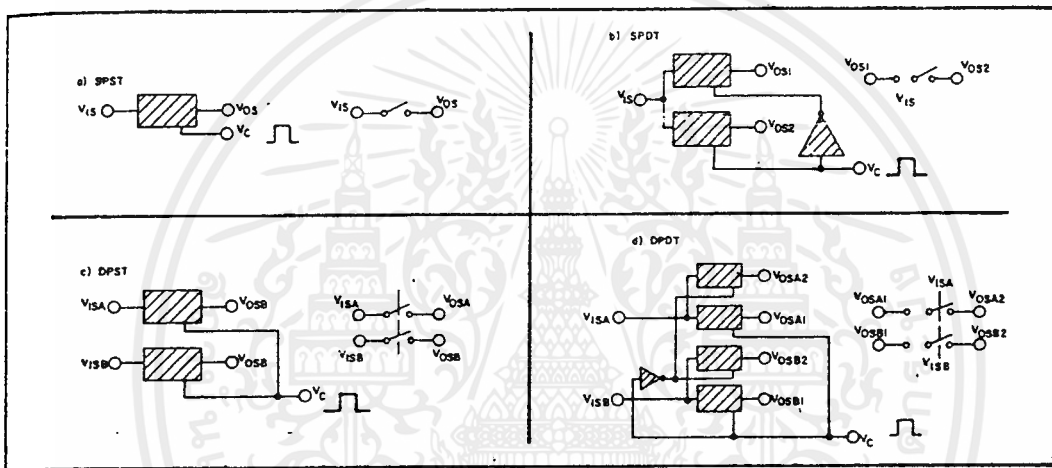
Test circuit, crosstalk-control input to signal output

เอกสารนี้เป็นเอกสารที่สงวนไว้สำหรับการใช้งานเพื่อการศึกษาเท่านั้น ไม่อนุญาตให้นำไปใช้ประโยชน์ด้านการค้า ไม่ว่าจะกรณีใดๆ ทั้งสิ้น อีกทั้งห้ามมิให้ดัดแปลงเนื้อหาและต้องอ้างอิงถึงเจ้าของเอกสารทุกครั้งที่มีการนำไปใช้

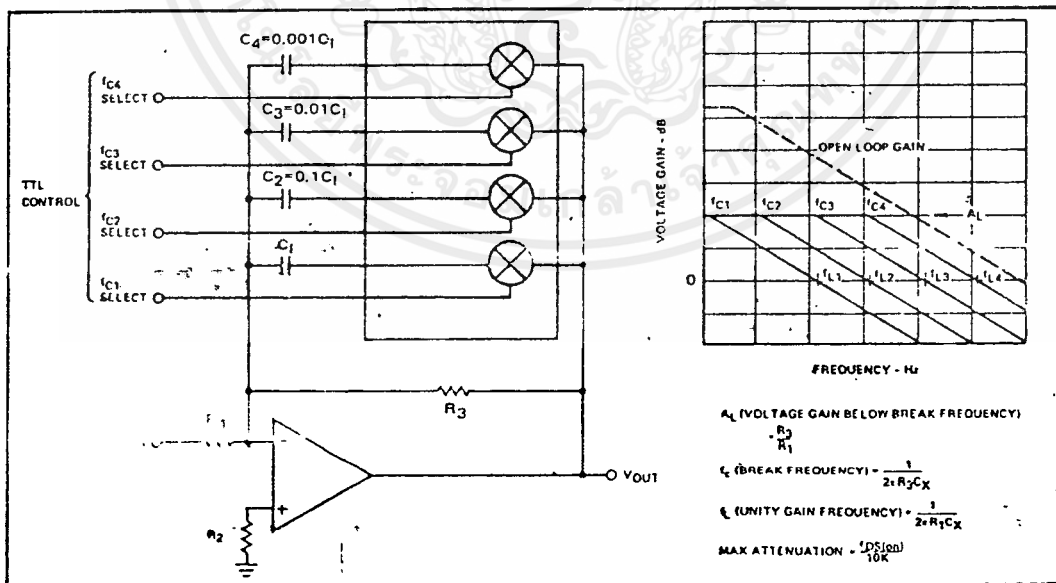
SPECIAL CONSIDERATIONS – SCL4066B

1. In applications where separate power sources are used to drive  $V_{DD}$  and the signal inputs, the  $V_{DD}$  current capability should exceed  $V_{DD}/R_L$  ( $R_L$  = effective external load of the 4 SCL4066B bilateral switches). This provision avoids any permanent current flow or clamp action on the  $V_{DD}$  supply when power is applied or removed from SCL4066B.
2. In certain applications, the external load-resistor current may include both  $V_{DD}$  and signal-line components. To avoid drawing  $V_{DD}$  current when switch current flows into terminals 1, 4, 8, or 11, the voltage drop across the bidirectional switch must not exceed 0.8 volt (calculated from  $R_{ON}$  values shown). No  $V_{DD}$  current will flow through  $R_L$  if the switch current flows into terminals 2, 3, 9, or 10. Failure to observe this condition may result in distortion of the signal.

APPLICATIONS INFORMATION



Basic Switch Functions using the SCL4066B



Active Low Pass Filter with Digitally Selected Break Frequency

# SCL4016AB

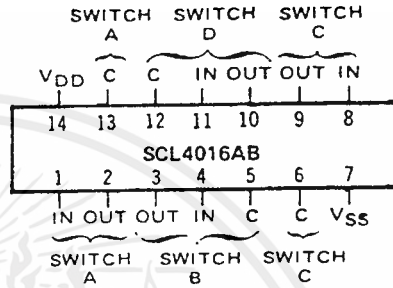


# CMOS QUAD ANALOG SWITCH

## FEATURES

- ◆ Wide Range of Digital and Analog Signal Levels - Digital or Analog Signals to 18 Volts peak
- ◆ Low ON Resistance - 200  $\Omega$  typ. over 15Vp-p Signal Input Range, @ 15Vdc
- ◆ Matched Switch Characteristics - 10 $\Omega$  typ. Difference between  $R_{ON}$  Values at a Fixed Bias Point over 15Vp-p Signal Input Range @ 15Vdc
- ◆ High On/Off Output Voltage Ratio - 65 dB typ. @  $f_{is} = 10\text{kHz}$ ,  $R_L = 10\text{k}\Omega$
- ◆ High degree of Linearity -  $\leq 0.4\%$  Distortion typ. @  $f_{is} = 1\text{kHz}$ ,  $V_{is} = 5\text{V}_{p-p}$ ,  $V_{DD} - V_{SS} \geq 10\text{V}$ ,  $R_L = 10\text{k}\Omega$
- ◆ Extremely Low OFF Switch Leakage Resulting in Very Low Offset Current and High Effective OFF resistance - 10pA typ. @  $V_{DD} - V_{SS} = 10\text{V}$ ,  $T_A = 25^\circ\text{C}$
- ◆ Extremely High Control Input Impedance (Control Circuit Isolated from Signal Circuit) -  $10^{12}\Omega$  typ.
- ◆ Low Crosstalk between Switches - -50dB typ. @  $f_{is} = 0.9\text{MHz}$ ,  $R_L = 1\text{k}\Omega$
- ◆ Matched Control-Input to Signal-Output Capacitances - Reduces Output Signal Transients
- ◆ Transmits Frequencies up to 40MHz

## CONNECTION DIAGRAM (all packages)



Add suffix for package:

- C 14-pin Cerdip
- D 14-pin Ceramic
- E 14-pin Epoxy
- F 14-pin Flat
- H Chip

## DESCRIPTION

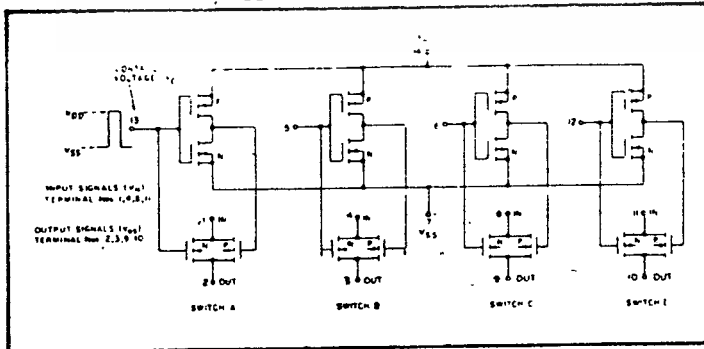
The SCL4016AB is a single-chip monolithic silicon integrated circuit containing eight N-channel and eight P-channel enhancement-mode MOS transistors connected to form four independent bilateral signal switches. Each switch consists of both P- and N-channel devices with common source and drain connections. A single control signal is required per switch. Both P and N devices in a given switch are biased ON or OFF by the control signal. The CMOS switch permits peak input-signal voltage swings equal to the full supply voltage, a considerable advantage over single-channel types.

## RECOMMENDED OPERATING CONDITIONS

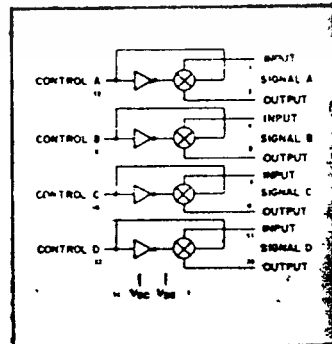
For maximum reliability:

DC Supply Voltage	$V_{DD} - V_{SS}$	3 to 15
Operating Temperature	$T_A$	-55 to +125
C, D, F, H Device		-40 to +85
E Device		

## SCHEMATIC DIAGRAM



## LOGIC DIAGRAM



เอกสารนี้เป็นเอกสารที่สงวนไว้สำหรับการใช้งานเพื่อการศึกษาเท่านั้น ไม่อนุญาตให้นำไปใช้ประโยชน์ด้านการค้า  
ไม่ว่ากรณีใดๆ ทั้งสิ้น อีกทั้งห้ามมิให้ดัดแปลงเนื้อหาและต้องอ้างอิงถึงเจ้าของเอกสารทุกครั้งที่มีการนำไปใช้

ELECTRICAL CHARACTERISTICS

STATIC CHARACTERISTICS<sup>1,3</sup>

PARAMETER	CONDITIONS	V <sub>SS</sub> (Vdc)	V <sub>DD</sub> (Vdc)	T <sub>LOW</sub> <sup>2</sup>		25°C			T <sub>HIGH</sub> <sup>2</sup>		Units	
				Min.	Max.	Min.	Typ.	Max.	Min.	Max.		
QUIESCENT DEVICE CURRENT	I <sub>DD</sub> V <sub>IN</sub> = V <sub>SS</sub> or V <sub>DD</sub> All valid input combinations	0	5	-	0.05	-	0.0005	0.05	-	1.5	μA <sub>dc</sub>	
		0	10	-	0.1	-	0.001	0.1	-	3.0		
		0	15	-	0.2	-	0.002	0.2	-	6.0		
MINIMUM INPUT HIGH VOLTAGE (Control Input)	V <sub>IH</sub> V <sub>IS</sub> = V <sub>SS</sub> V <sub>OS</sub> = V <sub>DD</sub> I <sub>OS</sub> = 10μA	0	5	-	2.0	-	1.5	2.9	-	2.4	Vdc	
		0	10	-	2.9	-	1.5	2.7	-	2.4		
		0	15	-	2.9	-	1.5	2.7	-	2.4		
MAXIMUM INPUT LOW VOLTAGE (Control Input)	V <sub>IL</sub> V <sub>IS</sub> = V <sub>SS</sub> V <sub>OS</sub> = V <sub>DD</sub> I <sub>OS</sub> = 10μA	0	5	0.9	-	0.7	1.5	-	0.4	-	Vdc	
		0	10	0.9	-	0.7	1.5	-	0.4	-		
		0	15	0.9	-	0.7	1.5	-	0.4	-		
SWITCH INPUT/OUTPUT LEAKAGE (Switch off)	I <sub>OFF</sub> V <sub>C</sub> = V <sub>SS</sub> V <sub>IS</sub>	-7.5	+7.5	-	±250	-	±0.1	±250	-	±2500	nA <sub>dc</sub>	
		±5	-5	-	±125	-	±0.01	±125	-	±1250		
ON-RESISTANCE C, D, F, H device	R <sub>ON</sub> V <sub>C</sub> = V <sub>DD</sub> R <sub>L</sub> = 10kΩ	V <sub>IS</sub> (Vdc) -7.5 -7.5 ±0.25	-7.5	+7.5	-	360	-	200	400	-	600	Ω
					-	360	-	200	400	-	600	
					-	775	-	280	850	-	1230	
		+5 -5 ±0.25	-5	+5	-	600	-	250	660	-	960	Ω
					-	600	-	250	660	-	960	
					-	1870	-	580	2000	-	2600	
		+15 +0.25 +9.3	0	+15	-	360	-	200	400	-	600	Ω
					-	360	-	200	400	-	600	
					-	775	-	300	850	-	1230	
		+10 +0.25 +5.6	0	+10	-	600	-	250	660	-	960	Ω
					-	600	-	250	660	-	960	
					-	1870	-	560	2000	-	2600	
E device	R <sub>ON</sub> V <sub>C</sub> = V <sub>DD</sub> R <sub>L</sub> = 10kΩ	V <sub>IS</sub> (Vdc) +7.5 -7.5 ±0.25	-7.5	+7.5	-	370	-	200	400	-	520	Ω
					-	370	-	200	400	-	520	
					-	790	-	260	850	-	1080	
		+5 -5 ±0.25	-5	+5	-	610	-	250	660	-	840	Ω
					-	610	-	250	660	-	840	
					-	1900	-	580	2000	-	2380	
		+15 +0.25 +9.3	0	+15	-	370	-	200	400	-	520	Ω
					-	370	-	200	400	-	520	
					-	790	-	300	850	-	1080	
		+10 +0.25 +5.6	0	+10	-	610	-	250	660	-	840	Ω
					-	610	-	250	660	-	840	
					-	1900	-	560	2000	-	2380	
ON-RESISTANCE MATCH (Same package)	ΔR <sub>ON</sub> V <sub>C</sub> = V <sub>DD</sub> R <sub>L</sub> = 10kΩ	V <sub>IS</sub> (Vdc) ±7.5 ±5	-7.5 -5	+7.5 +5	-	-	10	-	-	-	Ω	
					-	-	15	-	-	-		

NOTES: <sup>1</sup> Remaining Static Electrical Characteristics are listed under "SCL4000B Series Family Specifications"

<sup>2</sup> T<sub>LOW</sub> = -55°C for C, D, F, H device.

= -40°C for E device

T<sub>HIGH</sub> = +125°C for C, D, F, H device.

= + 85°C for E device.

<sup>3</sup> This device has been designed for balanced output drive current specifications. Consult Family Specifications.

DYNAMIC CHARACTERISTICS (C<sub>L</sub> = 50 pF, T<sub>L</sub> = 25°C)

PARAMETER	CONDITIONS	V <sub>IC</sub> (Vdc)	V <sub>DD</sub> (Vdc)	Min.	Typ.	Max.	UNIT
SIGNAL INPUTS (V <sub>IS</sub> ) AND OUTPUTS (V <sub>OS</sub> )							
PROPAGATION DELAY TIME Signal input to signal output	t <sub>PLH</sub> , t <sub>PHL</sub> V <sub>C</sub> = V <sub>DD</sub> V <sub>IS</sub> = square wave R <sub>L</sub> = 10kΩ	0	5	-	20	40	ns
		0	10	-	10	20	
		0	15	-	7.5	15	
BANDWIDTH (-3dB) (Sine Wave)	BW V <sub>C</sub> = V <sub>DD</sub> V <sub>IS</sub> = 5V <sub>pp</sub> centered @0.0Vdc	-5	+5	-	54	-	MHz
					40	-	
					36	-	
					37	-	
					37	-	

เอกสารนี้เป็นเอกสารที่สงวนไว้สำหรับการใช้งานเพื่อการศึกษาเท่านั้น ไม่อนุญาตให้นำไปใช้ประโยชน์ด้านการค้า  
ไม่ว่ากรณีใดๆ ทั้งสิ้น อีกทั้งห้ามมิให้ดัดแปลงเนื้อหาและต้องอ้างอิงถึงเจ้าของเอกสารทุกครั้งที่มีการนำไปใช้

SCL4016AB

**ELECTRICAL CHARACTERISTICS (Continued)**

DYNAMIC CHARACTERISTICS (C<sub>L</sub> = 50 pF, T<sub>A</sub> = 25°C) (Continued)

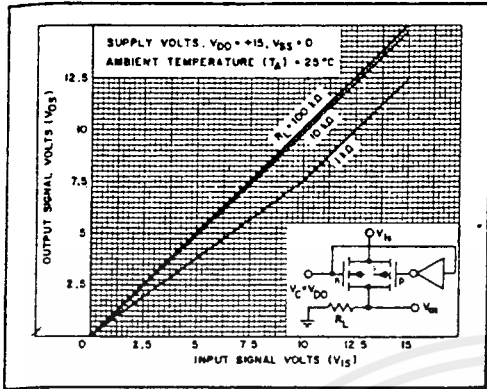
PARAMETER	CONDITIONS	V <sub>SS</sub> (Vdc)	V <sub>DD</sub> (Vdc)	Min.	Typ.	Max.	Units
SIGNAL INPUTS (V <sub>IS</sub> ) AND OUTPUTS (V <sub>OS</sub> ) (Continued)							
INSERTION LOSS ( = 20 log <sub>10</sub> $\frac{V_{OS}}{V_{IS}}$ )	V <sub>C</sub> = V <sub>DD</sub> V <sub>IS</sub> = 5V <sub>pp</sub> centered @0.0Vdc R <sub>L</sub> = 10kΩ	5	+5	-	2.3	-	dB
	R <sub>L</sub> = 1kΩ				0.2		
	R <sub>L</sub> = 100kΩ				0.1		
	R <sub>L</sub> = 1MΩ				0.05		
SIGNAL DISTORTION (Sine Wave)	V <sub>C</sub> = V <sub>DD</sub> V <sub>IS</sub> = 5V <sub>pp</sub> centered @0.0Vdc f <sub>IS</sub> = 1.0kHz R <sub>L</sub> = 10kΩ	-5	+5	-	0.4	-	%
FEEDTHROUGH (-50dB)	V <sub>C</sub> = V <sub>SS</sub> V <sub>IS</sub> = 5V <sub>pp</sub> centered @0.0Vdc R <sub>L</sub> = 10kΩ	-5	+5	-	1250	-	kHz
	R <sub>L</sub> = 1kΩ				140		
	R <sub>L</sub> = 100kΩ				18		
	R <sub>L</sub> = 1MΩ				2		
CROSSTALK (-50dB) (Between two switches)	V <sub>C</sub> (A) = V <sub>DD</sub> V <sub>C</sub> (B) = V <sub>SS</sub> V <sub>IS</sub> (A) = 5V <sub>pp</sub> centered @0.0Vdc R <sub>L</sub> = 1.0k	-5	+5	-	0.9	-	MHz
CAPACITANCE							
Input	C <sub>IS</sub>			-	4	-	pF
Output	C <sub>OS</sub>	V <sub>C</sub> = V <sub>SS</sub>	5	+5	-	4	pF
Feedthrough	C <sub>IOS</sub>				0.2	-	pF
CONTROL INPUT (V <sub>C</sub> )							
PROPAGATION DELAY TIME	t <sub>PLH</sub> , t <sub>MHL</sub>						
Turn on	V <sub>SS</sub> < V <sub>IS</sub> < V <sub>DD</sub> R <sub>L</sub> = 10kΩ	0	5	-	40	80	ns
		0	10	-	20	40	
		0	15	-	15	30	
MAXIMUM INPUT FREQUENCY	f <sub>C</sub>	V <sub>SS</sub> < V <sub>IS</sub> < V <sub>DD</sub> R <sub>L</sub> = 1.0kΩ	0	5	-	5	MHz
			0	10	-	10	
			0	15	-	12	
CROSSTALK (To signal port)	V <sub>C</sub> = Square wave R <sub>L</sub> = 10kΩ R <sub>IN</sub> = 1.0kΩ	0	5	-	30	-	mV
		0	10	-	50	-	
		0	15	-	100	-	

**TYPICAL ON-RESISTANCE CHARACTERISTICS**

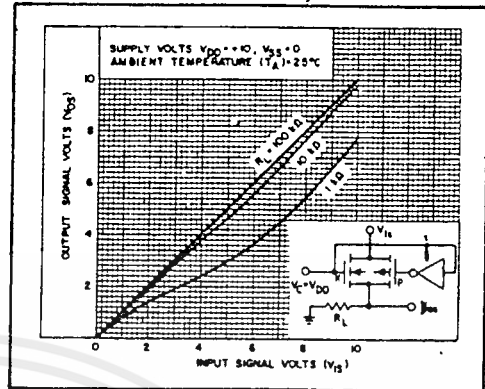
CHARACTERISTIC*	SUPPLY CONDITIONS		LOAD CONDITIONS					
	V <sub>DD</sub> (V)	V <sub>SS</sub> (V)	R <sub>L</sub> = 1kΩ		R <sub>L</sub> = 10kΩ		R <sub>L</sub> = 100kΩ	
			VALUE (Ω)	V <sub>IS</sub> (V)	VALUE (Ω)	V <sub>IS</sub> (V)	VALUE (Ω)	V <sub>IS</sub> (V)
R <sub>ON</sub>	+15	0	200	+15	200	+15	180	+15
			200	0	200	0	200	0
F <sub>UN</sub> ( <sub>0-10V</sub> )	+5	0	300	+5	300	+5	320	+5
R <sub>ON</sub>	+10	0	290	+10	250	+10	240	+10
			290	0	260	0	300	0
R <sub>ON</sub> (max.)	+10	0	300	+7.4	560	+5.0	610	+5.5
R <sub>ON</sub>	+5	0	860	+5	470	+5	450	+5
			800	0	580	0	800	0
R <sub>ON</sub> (max.)	+5	0	1.7k	+4.2	7k	+2.9	33k	+2.7
R <sub>ON</sub>	+7.5	-7.5	200	+7.5	200	+7.5	180	+7.5
			200	-7.5	200	-7.5	180	-7.5
R <sub>ON</sub> (max.)	+7.5	-7.5	290	±0.25	280	±0.25	400	±0.25
R <sub>ON</sub>	+5	-5	280	+5	250	+5	240	+5
			310	-5	250	-5	240	-5
R <sub>ON</sub> (max.)	+5	-5	800	±0.25	680	±0.25	780	±0.25
R <sub>ON</sub>	+2.5	-2.5	690	+2.5	450	+2.5	490	+2.5
			720	-2.5	520	-2.5	520	-2.5
R <sub>ON</sub> (max.)	+2.5	-2.5	232k	±0.25	300k	±0.25	870k	±0.25

\* Variation from a perfect switch. R<sub>ON</sub> = 0Ω.

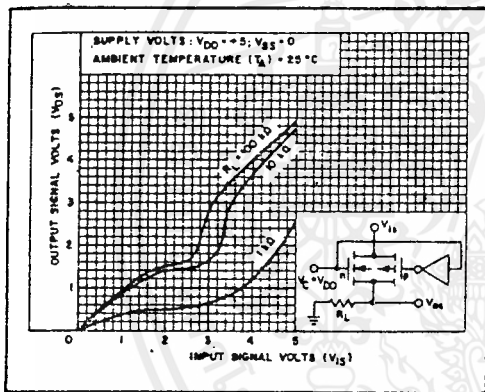
เอกสารนี้เป็นเอกสารที่สงวนไว้สำหรับการใช้งานเพื่อการศึกษาเท่านั้น ไม่อนุญาตให้นำไปใช้ประโยชน์ด้านการค้า ไม่ว่าจะกรณีใดๆ ทั้งสิ้น อีกทั้งห้ามมิให้ดัดแปลงเนื้อหาและต้องอ้างอิงถึงเจ้าของเอกสารทุกครั้งที่มีการนำไปใช้



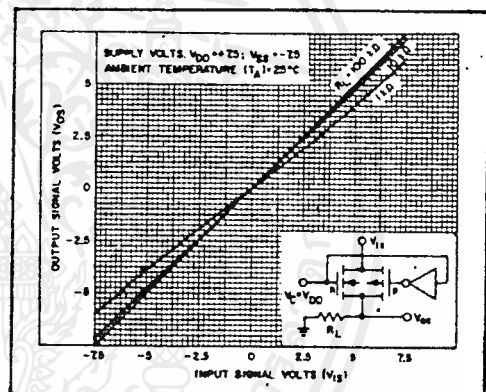
Typ. ON characteristics for 1 of 4 switches with  $V_{DD}=+15V$ ,  $V_{SS}=0V$



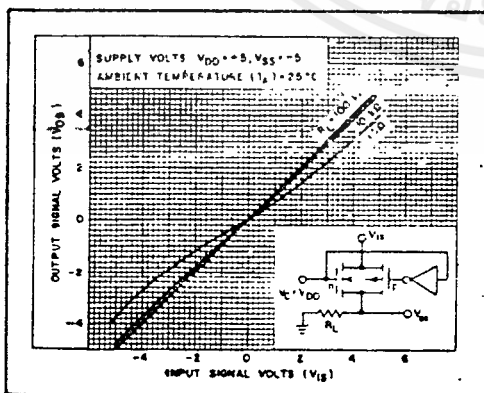
Typ. ON characteristics for 1 of 4 switches with  $V_{DD}=+10V$ ,  $V_{SS}=0V$



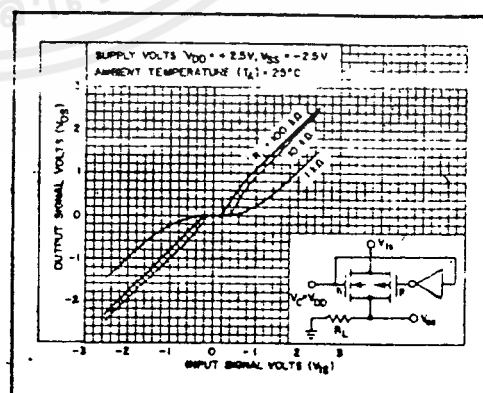
Typ. ON characteristics for 1 of 4 switches with  $V_{DD}=+5V$ ,  $V_{SS}=0V$



Typ. ON characteristics for 1 of 4 switches with  $V_{DD}=+7.5V$ ,  $V_{SS}=-7.5V$



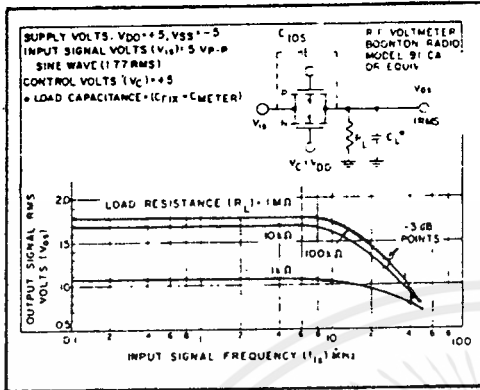
Typ. ON characteristics for 1 of 4 switches with  $V_{DD}=+5V$ ,  $V_{SS}=-5V$



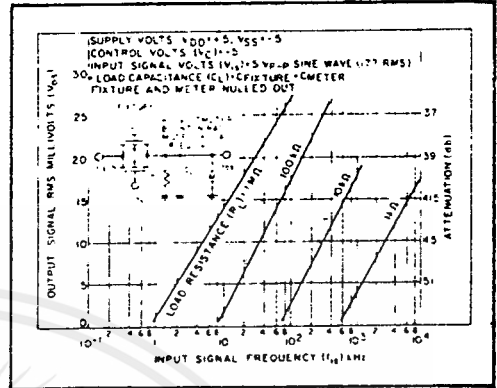
Typ. ON characteristics for 1 of 4 switches with  $V_{DD}=+2.5V$ ,  $V_{SS}=-2.5V$

เอกสารนี้เป็นเอกสารที่สงวนไว้สำหรับการใช้งานเพื่อการศึกษาเท่านั้น ไม่อนุญาตให้นำไปใช้ประโยชน์ด้านการค้า ไม่ว่าจะกรณีใดๆ ทั้งสิ้น อีกทั้งห้ามมิให้ดัดแปลงเนื้อหาและต้องอ้างอิงถึงเจ้าของเอกสารทุกครั้งที่มีการนำไปใช้

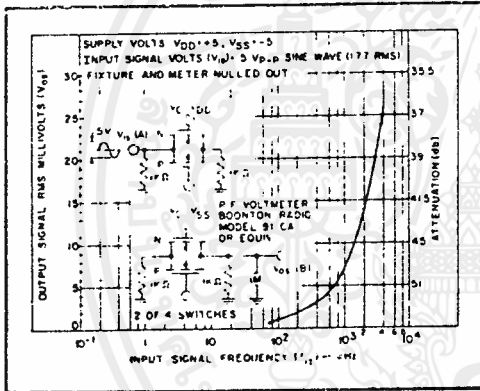
SCL4016AB



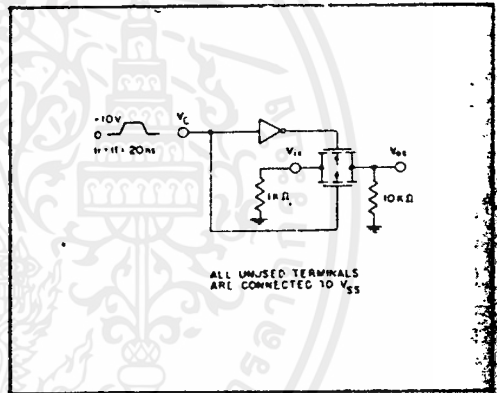
Typ. switch frequency response - switch ON



Typ. feedthru vs. freq. - switch OFF



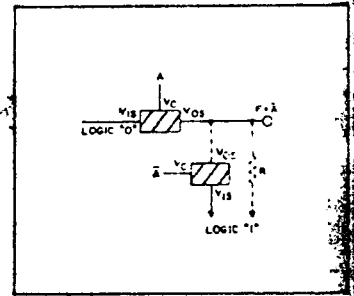
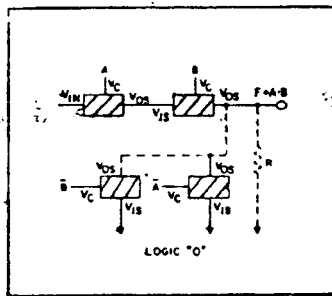
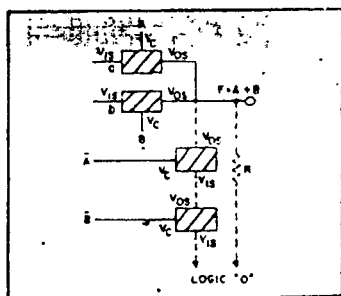
Typ. crosstalk between switch circuits in the same package



Crosstalk-control input to signal output

APPLICATIONS INFORMATION

LOGIC FUNCTIONS USING THE SCL4016AB



เอกสารนี้เป็นเอกสารที่สงวนไว้สำหรับการใช้งานเพื่อการศึกษาเท่านั้น ไม่อนุญาตให้นำไปใช้ประโยชน์ด้านการค้า ไม่ว่าจะกรณีใดๆ ทั้งสิ้น อีกทั้งห้ามมิให้ดัดแปลงเนื้อหาและต้องอ้างอิงถึงเจ้าของเอกสารทุกครั้งที่มีการนำไปใช้

**SCL4049UB Inverting**  
**SCL4050B Non-Inverting**



**CMOS**  
**HEX BUFFERS/CONVERTERS**

**FEATURES**

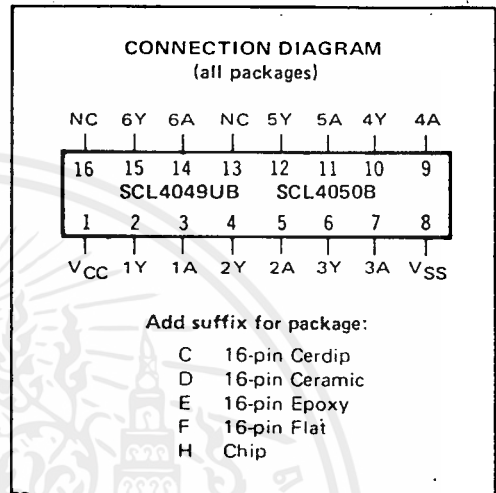
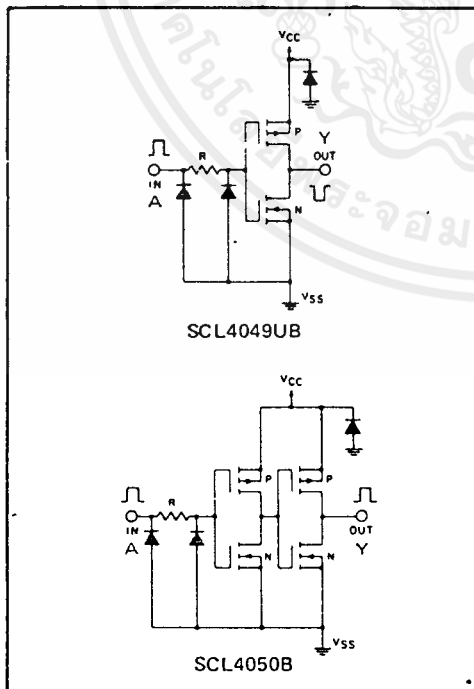
- ◆ Direct Drive of 2 TTL/DTL Loads
- ◆ Operation from Single Supply
- ◆ Pin-for Pin Replacements for SCL4009B, SCL4010B

**DESCRIPTION**

The SCL4049UB and SCL4050B are Inverting and Non-Inverting Hex Buffers, respectively, and feature logic-level conversion using only one supply voltage ( $V_{CC}$ ). The Input-signal high level ( $V_{IH}$ ) can exceed the  $V_{CC}$  supply voltage when these devices are used for logic-level conversions. These devices are intended for use as CMOS-to-DTL/TTL converters and can drive directly two DTL/TTL Loads.

The SCL4049UB and SCL4050B are interchangeable with SCL4009UB and SCL4010B devices, respectively. In these applications the SCL4049UB and SCL4050B are pin-compatible with the SCL4009UB and SCL4010B, respectively, and can be substituted for these devices in existing as well as in new designs. Terminal No. 16 is not connected internally on the SCL4049UB or SCL4050B; therefore, connection to this terminal is of no consequence to circuit operation.

**SCHEMATIC DIAGRAMS**



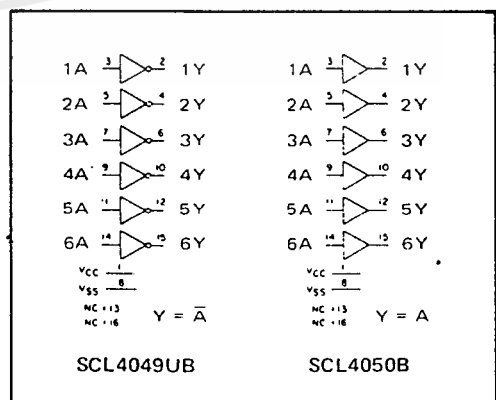
**RECOMMENDED OPERATING CONDITIONS**

For maximum reliability:

DC Supply Voltage	$V_{CC} - V_{SS}$	3 to 15	Vdc
Operating Temperature	$T_A$		
C, D, F, H Device		-55 to +125	°C
E Device		-40 to +85	°C

**Note:** These devices contain input protection networks to  $V_{SS}$  only. Therefore,  $V_{IH}$  (max) may exceed  $V_{CC}$  without damage (subject to absolute maximum ratings).

**LOGIC DIAGRAMS**



## ELECTRICAL CHARACTERISTICS

### STATIC CHARACTERISTICS

PARAMETER	V <sub>CC</sub> (Vdc)	CONDITIONS	T <sub>LOW</sub> <sup>1</sup>		+25°C			T <sub>HIGH</sub> <sup>2</sup>		Units		
			Min.	Max.	Min.	Typ.	Max.	Min.	Max.			
QUIESCENT DEVICE CURRENT	I <sub>CC</sub>	V <sub>IN</sub> = V <sub>SS</sub> or V <sub>DD</sub> All valid input combinations	–	1.0	–	0.005	1.0	–	30	μA <sub>dc</sub>		
			–	2.0	–	0.01	2.0	–	60			
			–	4.0	–	0.02	4.0	–	120			
MINIMUM INPUT HIGH VOLTAGE SCL4049UB	V <sub>IH</sub>	V <sub>OL</sub> = 0.5V V <sub>OL</sub> = 1.0V V <sub>OL</sub> = 1.5V	–	4.0	–	2.75	4.0	–	4.0	Vdc		
			–	8.0	–	5.5	8.0	–	8.0			
			–	12.0	–	8.25	12.0	–	12.0			
MAXIMUM INPUT LOW VOLTAGE SCL4049UB	V <sub>IL</sub>	V <sub>OH</sub> = 3.6V V <sub>OH</sub> = 7.2V V <sub>OH</sub> = 10.8V	1.0	–	1.0	2.25	–	1.0	–	Vdc		
			2.0	–	2.0	4.5	–	2.0	–			
			3.0	–	3.0	6.75	–	3.0	–			
OUTPUT LOW (SINK) CURRENT C, D, F, H devices	I <sub>OL</sub>	V <sub>OL</sub> = 0.4V V <sub>OL</sub> = 0.5V V <sub>OL</sub> = 1.5V V <sub>IN</sub> = V <sub>SS</sub> or V <sub>DD</sub>	4.0	–	3.2	6.4	–	2.4	–	mA <sub>dc</sub>		
			10	–	8.0	16	–	5.6	–			
			30	–	24.0	40	–	16.8	–			
			E device	V <sub>OL</sub> = 0.4V V <sub>OL</sub> = 0.5V V <sub>OL</sub> = 1.5V V <sub>IN</sub> = V <sub>SS</sub> or V <sub>DD</sub>	3.8	–	3.2	6.4	–	2.6	–	mA <sub>dc</sub>
					9.6	–	8.0	16	–	6.4	–	
					28	–	24.0	40	–	19	–	

NOTES: <sup>1</sup> Remaining Static Electrical Characteristics are listed under "SCL4000B Series Family Specifications".

<sup>2</sup> T<sub>LOW</sub> = -55°C for C, D, F, H device.  
= -40°C for E device.

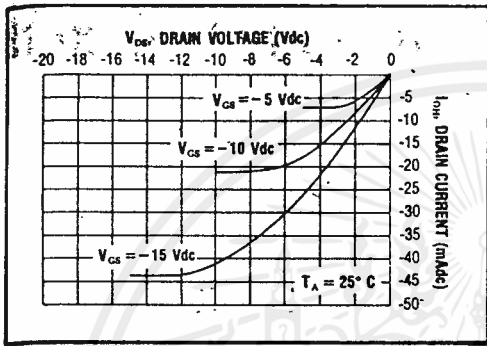
T<sub>HIGH</sub> = +125°C for C, D, F, H device.  
= + 85°C for E device.

<sup>3</sup> These devices have been designed to meet the balanced output drive current specifications for Output High (Source) Current. Consult Family Specifications.

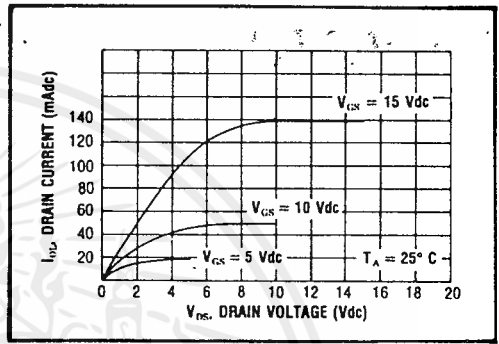
### DYNAMIC CHARACTERISTICS (C<sub>L</sub> = 50pF, T<sub>A</sub> = 25°C)

PARAMETER	V <sub>IN</sub> (Vdc)	V <sub>CC</sub> (Vdc)	Min.	Typ.	Max.	Units		
PROPAGATION DELAY TIME SCL4049UB	I <sub>PLH</sub>	5	5	–	60	120	ns	
		10	10	–	32	65		
		15	15	–	25	50		
		10	5	–	45	90		
		15	5	–	45	90		
		10	10	–	45	90		
	SCL4050B	I <sub>PLH</sub>	5	5	–	70	140	ns
			10	10	–	40	80	
			15	15	–	30	60	
		I <sub>PHL</sub>	10	5	–	45	90	ns
			15	5	–	40	80	
			10	10	–	45	90	
SCL4049UB	I <sub>PHL</sub>	5	5	–	32	65	ns	
		10	10	–	20	40		
		15	15	–	15	30		
	I <sub>PLH</sub>	10	5	–	15	30	ns	
		15	5	–	10	20		
		10	10	–	15	30		
SCL4050B	I <sub>PHL</sub>	5	5	–	55	110	ns	
		10	10	–	27	55		
		15	15	–	15	30		
	I <sub>PLH</sub>	10	5	–	50	100	ns	
		15	5	–	50	100		
		10	10	–	50	100		
OUTPUT TRANSITION TIME	I <sub>TLH</sub>	5	5	–	80	160	ns	
		10	10	–	40	80		
		15	15	–	30	60		
	I <sub>THL</sub>	5	5	–	30	60	ns	
		10	10	–	20	40		
		15	15	–	15	30		
INPUT CAPACITANCE SCL4049UB	C <sub>IN</sub>	–	–	–	15	22.5	pF	

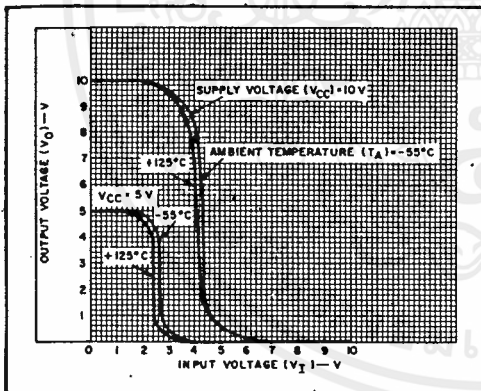
เอกสารนี้เป็นเอกสารที่สงวนไว้สำหรับการใช้งานเพื่อการศึกษาเท่านั้น ไม่อนุญาตให้นำไปใช้ประโยชน์ด้านการค้า  
ไม่ว่ากรณีใดๆ ทั้งสิ้น อีกทั้งห้ามมิให้ดัดแปลงเนื้อหาและต้องอ้างอิงถึงเจ้าของเอกสารทุกครั้งที่มีการนำไปใช้



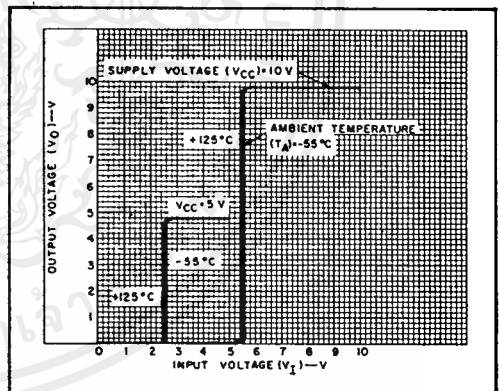
Typical P-Channel Source Current Characteristics



Typical N-Channel Sink Current Characteristics



Typical voltage transfer characteristics as a function of temperature for SCL4049UB.



Typical voltage transfer characteristics as a function of temperature for SCL4050B.

เอกสารนี้เป็นเอกสารที่สงวนไว้สำหรับการใช้งานเพื่อการศึกษาเท่านั้น ไม่อนุญาตให้นำไปใช้ประโยชน์ด้านการค้า ไม่ว่าจะกรณีใดๆ ทั้งสิ้น อีกทั้งห้ามมิให้ดัดแปลงเนื้อหาและต้องอ้างอิงถึงเจ้าของเอกสารทุกครั้งที่มีการนำไปใช้



## MM54HC139/MM74HC139 Dual 2-To-4 Line Decoder

### General Description

This decoder utilizes advanced silicon-gate CMOS technology, and is well suited to memory address decoding or data routing applications. It possesses the high noise immunity and low power consumption usually associated with CMOS circuitry, yet has speeds comparable to low power Schottky TTL logic.

The MM54HC139/MM74HC139 contain two independent one-of-four decoders each with a single active low enable input (G1, or G2). Data on the select inputs (A1, and B1 or A2, and B2) cause one of the four normally high outputs to go low.

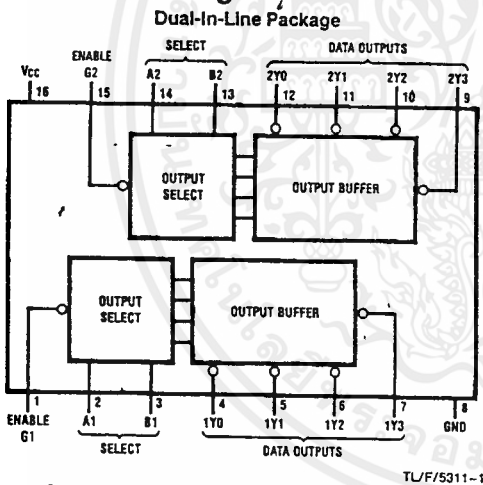
The decoder's outputs can drive 10 low power Schottky TTL equivalent loads, and are functionally as well as pin equivalent

to the 54LS139/74LS139. All inputs are protected from damage due to static discharge by diodes to V<sub>CC</sub> and ground.

### Features

- Typical propagation delays —  
Select to outputs (4 delays): 18 ns  
Select to output (5 delays): 28 ns  
Enable to output: 20 ns
- Low power: 40  $\mu$ W quiescent supply power
- Fanout of 10 LS-TTL devices
- Input current maximum 1  $\mu$ A, typical 10 pA

### Connection Diagram



### Truth Table

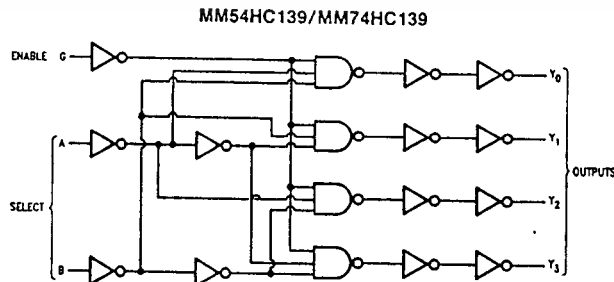
Inputs		Outputs			
Enable	Select	Y0	Y1	Y2	Y3
H	X X	H	H	H	H
L	L L	L	H	H	H
L	L H	H	L	H	H
L	H L	H	H	L	H
L	H H	H	H	H	L

H = high level, L = low level, X = don't care

Order Number MM54HC139\* or MM74HC139\*

\*Please look into Section 8, Appendix D for availability of various package types.

### Logic Diagram



(1 of 2)

TL/F/5311-2

เอกสารนี้เป็นเอกสารที่สงวนไว้สำหรับการใช้งานเพื่อการศึกษาเท่านั้น ไม่อนุญาตให้นำไปใช้ประโยชน์ด้านการค้า  
ไม่ว่ากรณีใดๆ ทั้งสิ้น อีกทั้งห้ามมิให้ดัดแปลงเนื้อหาและต้องอ้างอิงถึงเจ้าของเอกสารทุกครั้งที่มีการนำไปใช้

**Absolute Maximum Ratings** (Notes 1 & 2)

If Military/Aerospace specified devices are required, contact the National Semiconductor Sales Office/Distributors for availability and specifications.

Supply Voltage ( $V_{CC}$ )	-0.5 to +7.0V
DC Input Voltage ( $V_{IN}$ )	-1.5 to $V_{CC} + 1.5V$
DC Output Voltage ( $V_{OUT}$ )	-0.5 to $V_{CC} + 0.5V$
Clamp Diode Current ( $I_{IK}, I_{OK}$ )	$\pm 20$ mA
DC Output Current, per pin ( $I_{OUT}$ )	$\pm 25$ mA
DC $V_{CC}$ or GND Current, per pin ( $I_{CC}$ )	$\pm 50$ mA
Storage Temperature Range ( $T_{STG}$ )	-65°C to +150°C
Power Dissipation ( $P_D$ )	
(Note 3)	600 mW
S.O. Package only	500 mW
Lead Temp. ( $T_L$ ) (Soldering 10 seconds)	260°C

**Operating Conditions**

	Min	Max	Units
Supply Voltage ( $V_{CC}$ )	2	6	V
DC Input or Output Voltage ( $V_{IN}, V_{OUT}$ )	0	$V_{CC}$	V
Operating Temp. Range ( $T_A$ )			
MM74HC	-40	+85	°C
MM54HC	-55	+125	°C
Input Rise or Fall Times ( $t_r, t_f$ )			
$V_{CC} = 2.0V$		1000	ns
$V_{CC} = 4.5V$		500	ns
$V_{CC} = 6.0V$		400	ns

**DC Electrical Characteristics** (Note 4)

Symbol	Parameter	Conditions	$V_{CC}$	$T_A = 25^\circ C$		74HC	54HC	Units
				Typ	Guaranteed Limits		$T_A = -40$ to $85^\circ C$	
$V_{IH}$	Minimum High Level Input Voltage		2.0V	1.5	1.5	1.5	V	
			4.5V	3.15	3.15	3.15	V	
			6.0V	4.2	4.2	4.2	V	
$V_{IL}$	Maximum Low Level Input Voltage**		2.0V	0.5	0.5	0.5	V	
			4.5V	1.35	1.35	1.35	V	
			6.0V	1.8	1.8	1.8	V	
$V_{OH}$	Minimum High Level Output Voltage	$V_{IN} = V_{IH}$ or $V_{IL}$ $ I_{OUT}  \leq 20 \mu A$	2.0V	2.0	1.9	1.9	V	
			4.5V	4.5	4.4	4.4	V	
			6.0V	6.0	5.9	5.9	V	
		$V_{IN} = V_{IH}$ or $V_{IL}$ $ I_{OUT}  \leq 4.0$ mA $ I_{OUT}  \leq 5.2$ mA	4.5V	4.2	3.98	3.84	3.7	V
			6.0V	5.7	5.48	5.34	5.2	V
$V_{OL}$	Maximum Low Level Output Voltage	$V_{IN} = V_{IH}$ or $V_{IL}$ $ I_{OUT}  \leq 20 \mu A$	2.0V	0	0.1	0.1	0.1	V
			4.5V	0	0.1	0.1	0.1	V
			6.0V	0	0.1	0.1	0.1	V
		$V_{IN} = V_{IH}$ or $V_{IL}$ $ I_{OUT}  \leq 4.0$ mA $ I_{OUT}  \leq 5.2$ mA	4.5V	0.2	0.26	0.33	0.4	V
			6.0V	0.2	0.26	0.33	0.4	V
$I_{IN}$	Maximum Input Current	$V_{IN} = V_{CC}$ or GND	6.0V		$\pm 0.1$	$\pm 1.0$	$\pm 1.0$	$\mu A$
$I_{CC}$	Maximum Quiescent Supply Current	$V_{IN} = V_{CC}$ or GND $I_{OUT} = 0 \mu A$	6.0V		8.0	80	160	$\mu A$

Note 1: Absolute Maximum Ratings are those values beyond which damage to the device may occur.

Note 2: Unless otherwise specified all voltages are referenced to ground.

Note 3: Power Dissipation temperature derating — plastic "N" package: -12 mW/°C from 65°C to 85°C; ceramic "J" package: -12 mW/°C from 100°C to 125°C.

Note 4: For a power supply of 5V  $\pm 10\%$  the worst case output voltages ( $V_{OH}$ , and  $V_{OL}$ ) occur for HC at 4.5V. Thus the 4.5V values should be used when designing with this supply. Worst case  $V_{IH}$  and  $V_{IL}$  occur at  $V_{CC} = 5.5V$  and 4.5V respectively. (The  $V_{IH}$  value at 5.5V is 3.85V.) The worst case leakage current ( $I_{IN}$ ,  $I_{CC}$ , and  $I_{OZ}$ ) occur for CMOS at the higher voltage and so the 6.0V values should be used.

\*\* $V_{IL}$  limits are currently tested at 20% of  $V_{CC}$ . The above  $V_{IL}$  specification (30% of  $V_{CC}$ ) will be implemented no later than Q1, CY'89.

### AC Electrical Characteristics

$V_{CC} = 5V, T_A = 25^\circ C, C_L = 15 pF, t_r = t_f = 6 ns$

Symbol	Parameter	Conditions	Typ	Guaranteed Limit	Units
$t_{PHL}, t_{PLH}$	Maximum Propagation Delay, Binary Select to any Output 4 levels of delay		18	30	ns
$t_{PHL}, t_{PLH}$	Maximum Propagation Delay, Binary Select to any Output 5 levels of delay		28	38	ns
$t_{PHL}, t_{PLH}$	Maximum Propagation Delay, Enable to any Output		19	30	ns

### AC Electrical Characteristics $C_L = 50 pF, t_r = t_f = 6 ns$ (unless otherwise specified)

Symbol	Parameter	Conditions	V <sub>CC</sub>	T <sub>A</sub> = 25°C		74HC	54HC	Units
						T <sub>A</sub> = -40 to 85°C	T <sub>A</sub> = -55 to 125°C	
				Typ		Guaranteed Limits		
$t_{PHL}, t_{PLH}$	Maximum Propagation Delay Binary Select to any Output 4 levels of delay	(Note 6)	2.0V	110	175	219	254	ns
			4.5V	22	35	44	51	ns
			6.0V	18	30	38	44	ns
$t_{PHL}, t_{PLH}$	Maximum Propagation Delay Binary Select to any Output 5 levels of delay	(Note 7)	2.0V	165	220	275	320	ns
			4.5V	33	44	55	64	ns
			6.0V	28	38	47	54	ns
$t_{PHL}, t_{PLH}$	Maximum Propagation Delay Enable to any Output		2.0V	115	175	219	254	ns
			4.5V	23	35	44	51	ns
			6.0V	19	30	38	44	ns
$t_{TLR}, t_{TLH}$	Maximum Output Rise and Fall Time		2.0V	30	75	95	110	ns
			4.5V	8	15	19	22	ns
			6.0V	7	13	16	19	ns
C <sub>IN</sub>	Maximum Input Capacitance			3	10	10	10	pF
C <sub>PD</sub>	Power Dissipation Capacitance (Note 5)	(Note 5)		75				pF

Note 5: C<sub>PD</sub> determines the no load dynamic power consumption, P<sub>D</sub> = C<sub>PD</sub> V<sub>CC</sub><sup>2</sup> f + I<sub>CC</sub> V<sub>CC</sub>, and the no load dynamic current consumption, I<sub>S</sub> = C<sub>PD</sub> V<sub>CC</sub> f + I<sub>CC</sub>.

Note 6: 4 levels of delay are A to Y1, Y3 and B to Y2, Y3.

Note 7: 5 levels of delay are A to Y0, Y2 and B to Y0, Y1.



# MM54HC147/MM74HC147 10-to-4 Line Priority Encoder

## General Description

This high speed 10-to-4 Line Priority Encoder utilizes advanced silicon-gate CMOS technology. It possesses the high noise immunity and low power consumption of standard CMOS integrated circuits. This device is fully buffered, giving it a fanout of 10 LS-TTL loads.

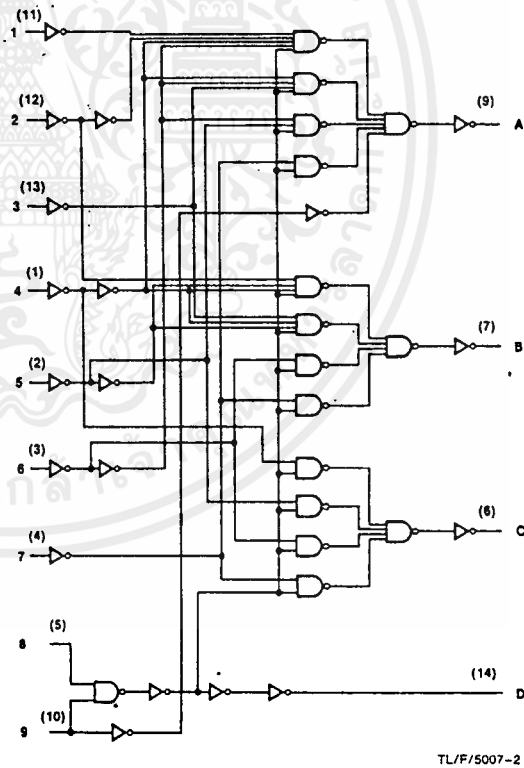
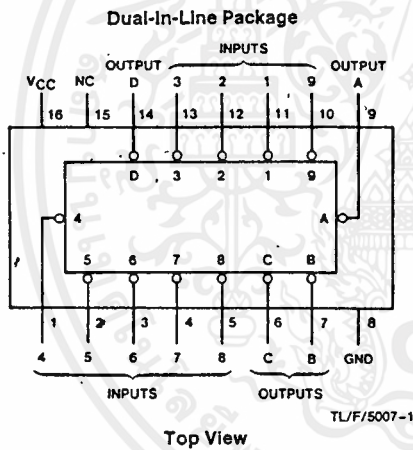
The MM54HC147/MM74HC147 features priority encoding of the inputs to ensure that only the highest order data line is encoded. Nine input lines are encoded to a four line BCD output. The implied decimal zero condition requires no input condition as zero is encoded when all nine data lines are at a high logic level. All data inputs and outputs are active at the low logic level.

The 54HC/74HC logic family is functionally as well as pin-out compatible with the standard 54LS/74LS logic family. All inputs are protected from damage due to static discharge by internal diode clamps to  $V_{CC}$  and ground.

## Features

- Low quiescent power consumption: 40  $\mu$ W maximum at 25°C
- High speed: 31 ns propagation delay (typical)
- Low input current: 1  $\mu$ A maximum
- Wide supply range: 2V to 6V

## Connection and Logic Diagrams



## Truth Table

Inputs									Outputs			
1	2	3	4	5	6	7	8	9	D	C	B	A
H	H	H	H	H	H	H	H	H	H	H	H	H
X	X	X	X	X	X	X	X	L	L	H	H	L
X	X	X	X	X	X	X	L	H	L	H	H	H
X	X	X	X	X	L	H	H	H	H	L	L	L
X	X	X	X	X	L	H	H	H	H	L	L	H
X	X	X	X	L	H	H	H	H	H	L	H	L
X	X	X	L	H	H	H	H	H	H	L	H	H
X	X	L	H	H	H	H	H	H	H	H	L	L
X	L	H	H	H	H	H	H	H	H	H	L	H
L	H	H	H	H	H	H	H	H	H	H	H	L

H = High Logic Level, L = Low Logic Level, X = Irrelevant

### Absolute Maximum Ratings (Notes 1 & 2)

† Military/Aerospace specified devices are required, contact the National Semiconductor Sales Office/Distributors for availability and specifications.

Supply Voltage ( $V_{CC}$ )	-0.5 to +7.0V
DC Input Voltage ( $V_{IN}$ )	-1.5 to $V_{CC} + 1.5V$
DC Output Voltage ( $V_{OUT}$ )	-0.5 to $V_{CC} + 0.5V$
Clamp Diode Current ( $I_{IK}, I_{OK}$ )	$\pm 20$ mA
DC Output Current, per pin ( $I_{OUT}$ )	$\pm 25$ mA
DC $V_{CC}$ or GND Current, per pin ( $I_{CC}$ )	$\pm 50$ mA
Storage Temperature Range ( $T_{STG}$ )	-65°C to +150°C
Power Dissipation ( $P_D$ )	
(Note 3)	600 mW
S.O. Package only	500 mW
Lead Temp. ( $T_L$ ) (Soldering 10 seconds)	260°C

### Operating Conditions

	Min	Max	Units
Supply Voltage ( $V_{CC}$ )	2	6	V
DC Input or Output Voltage ( $V_{IN}, V_{OUT}$ )	0	$V_{CC}$	V
Operating Temp. Range ( $T_A$ )			
MM74HC	-40	+85	°C
MM54HC	-55	+125	°C
Input Rise or Fall Times ( $t_r, t_f$ )			
$V_{CC} = 2.0V$		1000	ns
$V_{CC} = 4.5V$		500	ns
$V_{CC} = 6.0V$		400	ns

### DC Electrical Characteristics (Note 4)

Symbol	Parameter	Conditions	$V_{CC}$	$T_A = 25^\circ C$			$T_A = -40$ to $85^\circ C$		$T_A = -55$ to $125^\circ C$		Units
				Typ		- Guaranteed Limits					
$V_{IH}^*$	Minimum High Level Input Voltage		2.0V		1.5	1.5	1.5			V	
			4.5V		3.15	3.15	3.15		V		
			6.0V		4.2	4.2	4.2		V		
$V_{IL}$	Maximum Low Level Input Voltage**		2.0V		0.5	0.5	0.5			V	
			4.5V		1.35	1.35	1.35		V		
			6.0V		1.8	1.8	1.8		V		
$V_{OH}$	Minimum High Level Output Voltage	$V_{IN} = V_{IH}$ or $V_{IL}$ $ I_{OUT}  \leq 20 \mu A$	2.0V	2.0	1.9	1.9	1.9			V	
			4.5V	4.5	4.4	4.4	4.4		V		
			6.0V	6.0	5.9	5.9	5.9		V		
		$V_{IN} = V_{IH}$ or $V_{IL}$ $ I_{OUT}  \leq 4.0$ mA $ I_{OUT}  \leq 5.2$ mA	4.5V	4.7	3.98	3.84	3.7		V		
			6.0V	5.2	5.48	5.34	5.2		V		
$V_{OL}$	Maximum Low Level Output Voltage	$V_{IN} = V_{IH}$ or $V_{IL}$ $ I_{OUT}  \leq 20 \mu A$	2.0V	0	0.1	0.1	0.1			V	
			4.5V	0	0.1	0.1	0.1		V		
			6.0V	0	0.1	0.1	0.1		V		
		$V_{IN} = V_{IH}$ or $V_{IL}$ $ I_{OUT}  \leq 4.0$ mA $ I_{OUT}  \leq 5.2$ mA	4.5V	0.2	0.26	0.33	0.4		V		
			6.0V	0.2	0.26	0.33	0.4		V		
$I_{IN}$	Maximum Input Current	$V_{IN} = V_{CC}$ or GND	6.0V		$\pm 0.1$	$\pm 1.0$	$\pm 1.0$		$\mu A$		
$I_{CC}$	Maximum Quiescent Supply Current	$V_{IN} = V_{CC}$ or GND $I_{OUT} = 0 \mu A$	6.0V		8.0	80	160		$\mu A$		

Note 1: Absolute Maximum Ratings are those values beyond which damage to the device may occur.

Note 2: Unless otherwise specified all voltages are referenced to ground.

Note 3: Power Dissipation temperature derating — plastic "N" package: -12 mW/°C from 65°C to 85°C; ceramic "J" package: -12 mW/°C from 100°C to 125°C.

Note 4: For a power supply of 5V  $\pm 10\%$  the worst case output voltages ( $V_{OH}$  and  $V_{OL}$ ) occur for HC at 4.5V. Thus the 4.5V values should be used when designing with this supply. Worst case  $V_{IH}$  and  $V_{IL}$  occur at  $V_{CC} = 5.5V$  and 4.5V respectively. (The  $V_{IH}$  value at 5.5V is 3.85V.) The worst case leakage current ( $I_{IN}$ ,  $I_{CC}$ , and  $I_{OZ}$ ) occur for CMOS at the higher voltage and so the 6.0V values should be used.

\*\* $V_{IL}$  limits are currently tested at 20% of  $V_{CC}$ . The above  $V_{IL}$  specification (30% of  $V_{CC}$ ) will be implemented no later than Q1, CY'89.

เอกสารนี้เป็นเอกสารที่สงวนไว้สำหรับการใช้งานเพื่อการศึกษาเท่านั้น ไม่อนุญาตให้นำไปใช้ประโยชน์ด้านการค้า  
ไม่ว่ากรณีใดๆ ทั้งสิ้น อีกทั้งห้ามมิให้ดัดแปลงเนื้อหาและต้องอ้างอิงถึงเจ้าของเอกสารทุกครั้งที่มีการนำไปใช้

**AC Electrical Characteristics**  $V_{CC}=5V, T_A=25^\circ C, C_L=15\text{ pF}, t_r=t_f=6\text{ ns}$ 

Symbol	Parameter	Conditions	Typ	Guaranteed Limit	Units
$t_{PHL}, t_{PLH}$	Maximum Propagation Delay		31	38	ns

**AC Electrical Characteristics**  $V_{CC}=2.0V\text{ to }6.0V, C_L=50\text{ pF}, t_r=t_f=6\text{ ns}$  (unless otherwise specified)

Symbol	Parameter	Conditions	$V_{CC}$	$T_A=25^\circ C$		74HC	54HC	Units
						$T_A=-40\text{ to }85^\circ C$	$T_A=-55\text{ to }125^\circ C$	
				Typ				
				Guaranteed Limits				
$t_{PHL}, t_{PLH}$	Maximum Propagation Delay		2.0V	181	220	275	319	ns
			4.5V	36	44	55	64	ns
			6.0V	31	37	47	54	ns
$t_{TLH}, t_{THL}$	Maximum Output Rise and Fall Time		2.0V	30	75	95	110	ns
			4.5V	8	15	19	22	ns
			6.0V	7	13	16	19	ns
$C_{PD}$	Power Dissipation Capacitance (Note 5)	(per package)		180				pF
$C_{IN}$	Maximum Input Capacitance			5	10	10	10	pF

Note 5:  $C_{PD}$  determines the no load dynamic power consumption,  $P_D = C_{PD} V_{CC}^2 f + I_{CC} V_{CC}$ , and the no load dynamic current consumption,  $I_S = C_{PD} V_{CC} f + I_{CC}$



## MM54HC245A/MM74HC245A Octal TRI-STATE® Transceiver

### General Description

This TRI-STATE bidirectional buffer utilizes advanced silicon-gate CMOS technology, and is intended for two-way asynchronous communication between data buses. It has high drive current outputs which enable high speed operation even when driving large bus capacitances. This circuit possesses the low power consumption and high noise immunity usually associated with CMOS circuitry, yet has speeds comparable to low power Schottky TTL circuits.

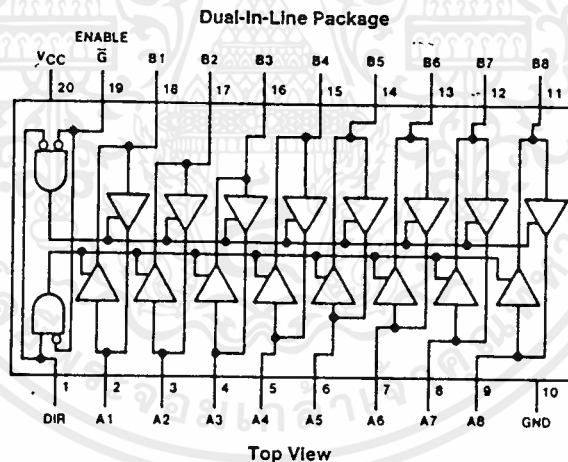
This device has an active low enable input  $\bar{G}$  and a direction control input, DIR. When DIR is high, data flows from the A inputs to the B outputs. When DIR is low, data flows from the B inputs to the A outputs. The MM54HC245A/MM74HC245A transfers true data from one bus to the other.

This device can drive up to 15 LS-TTL Loads, and does not have Schmitt trigger inputs. All inputs are protected from damage due to static discharge by diodes to  $V_{CC}$  and ground.

### Features

- Typical propagation delay: 13 ns
- Wide power supply range: 2–6V
- Low quiescent current: 80  $\mu$ A maximum (74 HC)
- TRI-STATE outputs for connection to bus oriented systems
- High output drive: 6 mA (minimum)
- Same as the '645

### Connection Diagram



TL/F/5165-1

Order Number MM54HC245A\* or MM74HC245A\*

\*Please look into Section 8, Appendix D for availability of various package types.

### Truth Table

Control Inputs		Operation
$\bar{G}$	DIR	
L	L	B data to A bus
L	H	A data to B bus
H	X	Isolation

H = high level, L = low level, X = irrelevant

### Absolute Maximum Ratings (Notes 1 & 2)

Military/Aerospace specified devices are required, contact the National Semiconductor Sales Office/Distributors for availability and specifications.

Supply Voltage ( $V_{CC}$ )	-0.5 to +7.0V
DC Input Voltage DIR and $\bar{G}$ pins ( $V_{IN}$ )	-1.5 to $V_{CC} + 1.5V$
DC Input/Output Voltage ( $V_{IN}, V_{OUT}$ )	-0.5 to $V_{CC} + 0.5V$
Clamp Diode Current ( $I_{CD}$ )	$\pm 20$ mA
DC Output Current, per pin ( $I_{OUT}$ )	$\pm 35$ mA
DC $V_{CC}$ or GND Current, per pin ( $I_{CC}$ )	$\pm 70$ mA
Storage Temperature Range ( $T_{STG}$ )	-65°C to +150°C
Power Dissipation ( $P_D$ )	
(Note 3)	600 mW
S.O. Package only	500 mW
Lead Temp. ( $T_L$ ) (Soldering 10 seconds)	260°C

### Operating Conditions

	Min	Max	Units
Supply Voltage ( $V_{CC}$ )	2	6	V
DC Input or Output Voltage ( $V_{IN}, V_{OUT}$ )	0	$V_{CC}$	V
Operating Temp. Range ( $T_A$ )			
MM74HC	-40	+85	°C
MM54HC	-55	+125	°C
Input Rise/Fall Times ( $t_r, t_f$ )			
$V_{CC} = 2.0V$		1000	ns
$V_{CC} = 4.5V$		500	ns
$V_{CC} = 6.0V$		400	ns

### DC Electrical Characteristics (Note 4)

Symbol	Parameter	Conditions	$V_{CC}$	$T_A = 25^\circ C$			74HC		54HC		Units
				Typ	Guaranteed Limits		$T_A = -40$ to $85^\circ C$		$T_A = -55$ to $125^\circ C$		
$V_{IH}$	Minimum High Level Input Voltage		2.0V	1.5	1.5	1.5	1.5	V			
			4.5V	3.15	3.15	3.15	V				
			6.0V	4.2	4.2	4.2	V				
$V_{IL}$	Maximum Low Level Input Voltage**		2.0V	0.5	0.5	0.5	V				
			4.5V	1.35	1.35	1.35	V				
			6.0V	1.8	1.8	1.8	V				
$V_{OH}$	Minimum High Level Output Voltage	$V_{IN} = V_{IH}$ or $V_{IL}$ $ I_{OUT}  \leq 20 \mu A$	2.0V	2.0	1.9	1.9	V				
			4.5V	4.5	4.4	4.4	V				
			6.0V	6.0	5.9	5.9	V				
		$V_{IN} = V_{IH}$ or $V_{IL}$ $ I_{OUT}  \leq 6.0$ mA $ I_{OUT}  \leq 7.8$ mA	4.5V	4.2	3.98	3.84	V				
			6.0V	5.7	5.48	5.34	V				
			6.0V	5.7	5.48	5.34	V				
$V_{OL}$	Maximum Low Level Output Voltage	$V_{IN} = V_{IH}$ or $V_{IL}$ $ I_{OUT}  \leq 20 \mu A$	2.0V	0	0.1	0.1	V				
			4.5V	0	0.1	0.1	V				
			6.0V	0	0.1	0.1	V				
		$V_{IN} = V_{IH}$ or $V_{IL}$ $ I_{OUT}  \leq 6.0$ mA $ I_{OUT}  \leq 7.8$ mA	4.5V	0.2	0.26	0.33	V				
			6.0V	0.2	0.26	0.33	V				
			6.0V	0.2	0.26	0.33	V				
$I_{IN}$	Input Leakage Current ( $\bar{G}$ and DIR)	$V_{IN} = V_{CC}$ to GND	6.0V		$\pm 0.1$	$\pm 1.0$	$\pm 1.0$	$\mu A$			
$I_{OZ}$	Maximum TRI-STATE Output Leakage Current	$V_{OUT} = V_{CC}$ or GND Enable $\bar{G} = V_{IH}$	6.0V		$\pm 0.5$	$\pm 5.0$	$\pm 10$	$\mu A$			
$I_{CC}$	Maximum Quiescent Supply Current	$V_{IN} = V_{CC}$ or GND $I_{OUT} = 0 \mu A$	6.0V		8.0	80	160	$\mu A$			

Note 1: Maximum Ratings are those values beyond which damage to the device may occur.

Note 2: Unless otherwise specified all voltages are referenced to ground.

Note 3: Power Dissipation temperature derating — plastic "N" package: -12 mW/°C from 65°C to 85°C; ceramic "J" package: -12 mW/°C from 100°C to 125°C.

Note 4: For a power supply of 5V  $\pm 10\%$  the worst case output voltages ( $V_{OH}$  and  $V_{OL}$ ) occur for HC at 4.5V. Thus the 4.5V values should be used when designing with this supply. Worst case  $V_{IH}$  and  $V_{IL}$  occur at  $V_{CC} = 5.5V$  and 4.5V respectively. (The  $V_{IH}$  value at 5.5V is 3.85V.) The worst case leakage current ( $I_{IN}$ ,  $I_{CC}$ , and  $I_{OZ}$ ) occur for CMOS at the higher voltage and so the 6.0V values should be used.

\*\* $V_{IL}$  limits are currently tested at 20% of  $V_{CC}$ . The above  $V_{IL}$  specification (30% of  $V_{CC}$ ) will be implemented no later than Q1, CY'89.  $O = V_{IL}$ .

MM54HC245A/MM74HC245A

**AC Electrical Characteristics**  $V_{CC}=5V, T_A=25^\circ C, t_r=t_f=6\text{ ns}$ 

Symbol	Parameter	Conditions	Typ	Guaranteed Limit	Units
$t_{PHL}, t_{PLH}$	Maximum Propagation Delay	$C_L = 45\text{ pF}$	12	17	ns
$t_{PZH}, t_{PZL}$	Maximum Output Enable Time	$R_L = 1\text{ k}\Omega$ $C_L = 45\text{ pF}$	24	35	ns
$t_{PHZ}, t_{PLZ}$	Maximum Output Disable Time	$R_L = 1\text{ k}\Omega$ $C_L = 5\text{ pF}$	18	25	ns

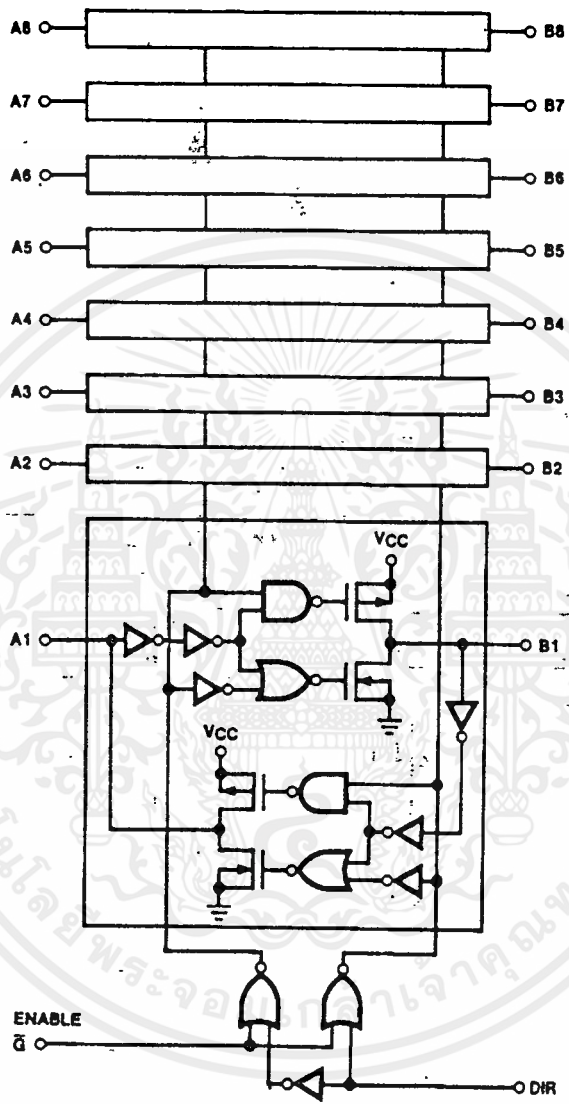
**AC Electrical Characteristics**  $V_{CC}=2.0V\text{ to }6.0V, C_L=50\text{ pF}, t_r=t_f=6\text{ ns}$  (unless otherwise specified)

Symbol	Parameter	Conditions	$V_{CC}$	74HC				Units
				$T_A = 25^\circ C$		$T_A = -40\text{ to }85^\circ C$		
				Typ	Guaranteed Limits			
$t_{PHL}, t_{PLH}$	Maximum Propagation Delay	$C_L = 50\text{ pF}$	2.0V	31	90	113	135	ns
			2.0V	41	96	116	128	ns
		$C_L = 150\text{ pF}$	4.5V	13	18	23	27	ns
			4.5V	17	22	28	33	ns
$t_{PZH}, t_{PZL}$	Maximum Output Enable Time	$R_L = 1\text{ k}\Omega$	2.0V	71	190	240	285	ns
			2.0V	81	240	300	360	ns
		$C_L = 50\text{ pF}$	4.5V	26	38	48	57	ns
			4.5V	31	48	60	72	ns
$t_{PHZ}, t_{PLZ}$	Maximum Output Disable Time	$R_L = 1\text{ k}\Omega$	2.0V	39	135	169	203	ns
			4.5V	20	27	34	41	ns
		$C_L = 50\text{ pF}$	6.0V	18	23	29	34	ns
			6.0V	25	41	51	61	ns
$t_{TLH}, t_{THL}$	Output Rise and Fall Time	$C_L = 50\text{ pF}$	2.0V	20	60	75	90	ns
			4.5V	6	12	15	18	ns
			6.0V	5	10	13	15	ns
$C_{PD}$	Power Dissipation Capacitance (Note 5)	$\bar{G} = V_{IL}$ $\bar{G} = V_{IH}$		50				pF
$C_{IN}$	Maximum Input Capacitance			5	10	10	10	pF
$C_{IN/OUT}$	Maximum Input/Output Capacitance, A or B			15	20	20	20	pF

Note 5:  $C_{PD}$  determines the no load dynamic power consumption,  $P_D = C_{PD} V_{CC}^2 f + I_{CC} V_{CC}$ , and the no load dynamic current consumption,  $I_S = C_{PD} V_{CC} f + I_{CC}$ .

เอกสารนี้เป็นเอกสารที่สงวนไว้สำหรับการใช้งานเพื่อการศึกษาเท่านั้น ไม่อนุญาตให้นำไปใช้ประโยชน์ด้านการค้า  
ไม่ว่ากรณีใดๆ ทั้งสิ้น อีกทั้งห้ามมิให้ดัดแปลงเนื้อหาและต้องอ้างอิงถึงเจ้าของเอกสารทุกครั้งที่มีการนำไปใช้

Logic Diagram



TL/F/5165-2

เอกสารนี้เป็นเอกสารที่สงวนไว้สำหรับการใช้งานเพื่อการศึกษาเท่านั้น ไม่อนุญาตให้นำไปใช้ประโยชน์ด้านการค้า  
ไม่ว่ากรณีใดๆ ทั้งสิ้น อีกทั้งห้ามมิให้ดัดแปลงเนื้อหาและต้องอ้างอิงถึงเจ้าของเอกสารทุกครั้งที่มีการนำไปใช้



## MM54HC688/MM74HC688 8-Bit Magnitude Comparator (Equality Detector)

### General Description

This equality detector utilizes advanced silicon-gate CMOS technology to compare bit for bit two 8-bit words and indicates whether or not they are equal. The  $\overline{P=Q}$  output indicates equality when it is low. A single active low enable is provided to facilitate cascading of several packages and enable comparison of words greater than 8 bits.

This device is useful in memory block decoding applications, where memory block enable signals must be generated from computer address information.

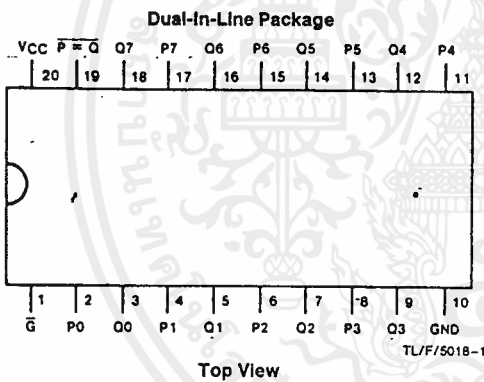
The comparator's output can drive 10 low power Schottky equivalent loads. This comparator is functionally and pin

compatible to the 54LS688/74LS688. All inputs are protected from damage due to static discharge by diodes to  $V_{CC}$  and ground.

### Features

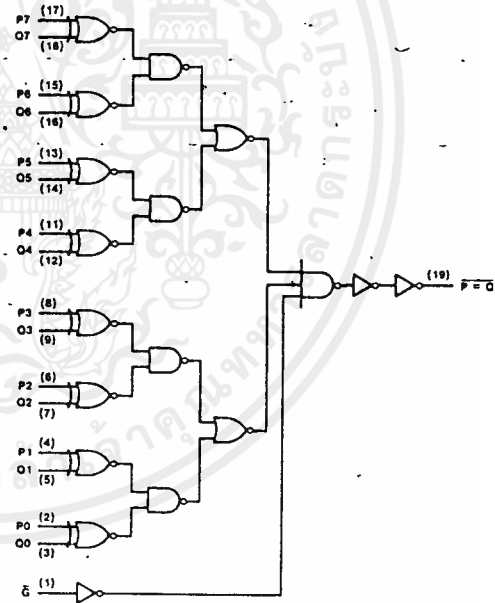
- Typical propagation delay: 20 ns
- Wide power supply range: 2–6V
- Low quiescent current: 80  $\mu$ A (74 Series)
- Large output current: 4 mA (74 Series)
- Same as 'HC521

### Connection and Logic Diagrams



Order Number MM54HC688\* or MM74HC688\*

\*Please look into Section 8, Appendix D for availability of various package types.



### Truth Table

Inputs		$\overline{P=Q}$
Data P,Q	Enable $\overline{G}$	
P = Q	L	L
P > Q	L	H
P < Q	L	H
X	H	H

**Absolute Maximum Ratings** (Notes 1 and 2)

If Military/Aerospace specified devices are required, contact the National Semiconductor Sales Office/Distributors for availability and specifications.

Supply Voltage ( $V_{CC}$ )	-0.5 to +7.0V
DC Input Voltage ( $V_{IN}$ )	-1.5 to $V_{CC} + 1.5V$
DC Output Voltage ( $V_{OUT}$ )	-0.5 to $V_{CC} + 0.5V$
Clamp Diode Current ( $I_{IK}, I_{OK}$ )	$\pm 20$ mA
DC Output Current, per pin ( $I_{OUT}$ )	$\pm 25$ mA
DC $V_{CC}$ or GND Current, per pin ( $I_{CC}$ )	$\pm 50$ mA
Storage Temperature Range ( $T_{STG}$ )	-65°C to +150°C
Power Dissipation ( $P_D$ )	
(Note 3)	600 mW
S.O. Package only	500 mW
Lead Temp. ( $T_L$ ) (Soldering 10 seconds)	260°C

**Operating Conditions**

Supply Voltage ( $V_{CC}$ )	Min 2	Max 6	Units V
DC Input or Output Voltage ( $V_{IN}, V_{OUT}$ )	0	$V_{CC}$	V
Operating Temp. Range ( $T_A$ )			
MM74HC	-40	+85	°C
MM54HC	-55	+125	°C
Input Rise or Fall Times ( $t_r, t_f$ )			
$V_{CC} = 2.0V$		1000	ns
$V_{CC} = 4.5V$		500	ns
$V_{CC} = 6.0V$		400	ns

**DC Electrical Characteristics** (Note 4)

Symbol	Parameter	Conditions	$V_{CC}$	$T_A = 25^\circ C$			Units	
				Typ	.74HC $T_A = -40$ to $85^\circ C$	54HC $T_A = -55$ to $125^\circ C$		
$V_{IH}$	Minimum High Level Input Voltage		2.0V	1.5	1.5	1.5	V	
			4.5V	3.15	3.15	3.15	V	
			6.0V	4.2	4.2	4.2	V	
$V_{IL}$	Maximum Low Level Input Voltage**		2.0V	0.5	0.5	0.5	V	
			4.5V	1.35	1.35	1.35	V	
			6.0V	1.8	1.8	1.8	V	
$V_{OH}$	Minimum High Level Output Voltage	$V_{IN} = V_{IH}$ or $V_{IL}$ $ I_{OUT}  \leq 20 \mu A$	2.0V	2.0	1.9	1.9	V	
			4.5V	4.5	4.4	4.4	V	
			6.0V	6.0	5.9	5.9	V	
		$V_{IN} = V_{IH}$ or $V_{IL}$ $ I_{OUT}  \leq 4.0$ mA $ I_{OUT}  \leq 5.2$ mA	4.5V	4.2	3.98	3.84	3.7	V
			6.0V	5.7	5.48	5.34	5.2	V
$V_{OL}$	Maximum Low Level Output Voltage	$V_{IN} = V_{IH}$ or $V_{IL}$ $ I_{OUT}  \leq 20 \mu A$	2.0V	0	0.1	0.1	V	
			4.5V	0	0.1	0.1	V	
			6.0V	0	0.1	0.1	V	
		$V_{IN} = V_{IH}$ or $V_{IL}$ $ I_{OUT}  \leq 4.0$ mA $ I_{OUT}  \leq 5.2$ mA	4.5V	0.2	0.26	0.33	0.4	V
			6.0V	0.2	0.26	0.33	0.4	V
$I_{IN}$	Maximum Input Current	$V_{IN} = V_{CC}$ or GND	6.0V		$\pm 0.1$	$\pm 1.0$	$\pm 1.0$	$\mu A$
$I_{CC}$	Maximum Quiescent Supply Current	$V_{IN} = V_{CC}$ or GND $I_{OUT} = 0 \mu A$	6.0V		8.0	80	160	$\mu A$

Note 1: Absolute Maximum Ratings are those values beyond which damage to the device may occur.

Note 2: Unless otherwise specified all voltages are referenced to ground.

Note 3: Power Dissipation temperature derating — plastic "N" package: -12 mW/°C from 65°C to 85°C; ceramic "J" package: -12 mW/°C from 100°C to 125°C.

Note 4: For a power supply of 5V  $\pm 10\%$  the worst case output voltages ( $V_{OL}$  and  $V_{OH}$ ) occur for HC at 4.5V. Thus the 4.5V values should be used when designing with this supply. Worst case  $V_{IH}$  and  $V_{IL}$  occur at  $V_{CC} = 5.5V$  and 4.5V respectively. (The  $V_{IH}$  value at 5.5V is 3.85V.) The worst case leakage current ( $I_{IN}, I_{CC}$  and  $I_{OZ}$ ) occur for CMOS at the higher voltage and so the 6.0V values should be used.

\*\* $V_{IL}$  limits are currently tested at 20% of  $V_{CC}$ . The above  $V_{IL}$  specification (30% of  $V_{CC}$ ) will be implemented no later than O1, CY'89.

**AC Electrical Characteristics** $V_{CC} = 5V$ ,  $T_A = 25^\circ C$ ,  $C_L = 15$  pF,  $t_r = t_f = 6$  ns

Symbol	Parameter	Conditions	Typ	Guaranteed Limit	Units
$t_{PLH}$ , $t_{PLH}$	Maximum Propagation Delay, any P or Q to Output		21	30	ns
$t_{PLH}$ , $t_{PHL}$	Maximum Propagation Delay, Enable to any Output		14	20	ns

**AC Electrical Characteristics** $V_{CC} = 2.0V$  to  $6.0V$ ,  $C_L = 50$  pF,  $t_r = t_f = 6$  ns (unless otherwise specified)

Symbol	Parameter	Conditions	$V_{CC}$	$T_A = 25^\circ C$		74HC	54HC	Units
				Typ	Guaranteed Limits	$T_A = -40$ to $85^\circ C$	$T_A = -55$ to $125^\circ C$	
$t_{PLH}$	Maximum Propagation Delay, P or Q to Output		2.0V	60	175	220	263	ns
			4.5V	22	35	44	53	ns
			6.0V	19	30	38	45	ns
$t_{PLH}$	Maximum Propagation Delay, Enable to Output		2.0V	45	120	150	180	ns
			4.5V	15	24	30	36	ns
			6.0V	13	20	25	30	ns
$t_{PLH}$	Maximum Output Rise and Fall Time		2.0V	30	75	95	110	ns
			4.5V	8	15	19	22	ns
			6.0V	7	13	16	19	ns
$C_{PD}$	Power Dissipation Capacitance (Note 5)		45					pF
$C_{IN}$	Maximum Input Capacitance		5	10	10	10		pF

Note 5:  $C_{PD}$  determines the no load dynamic power consumption,  $P_D = C_{PD} V_{CC}^2 f + I_{CC} V_{CC}$ , and the no load dynamic current consumption,  $I_S = C_{PD} V_{CC} f + I_{CC}$ .



## 54AC/74AC244 • 54ACT/74ACT244 Octal Buffer/Line Driver with TRI-STATE® Outputs

### General Description

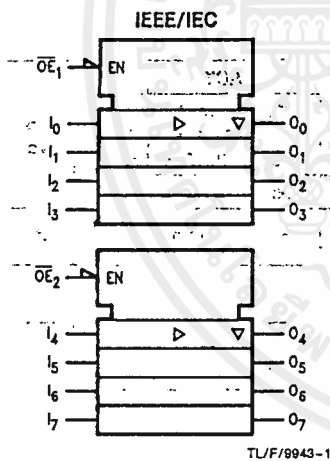
The 'AC/'ACT244 is an octal buffer and line driver designed to be employed as a memory address driver, clock driver and bus-oriented transmitter/receiver which provides improved PC board density.

### Features

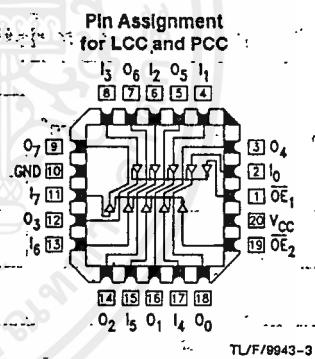
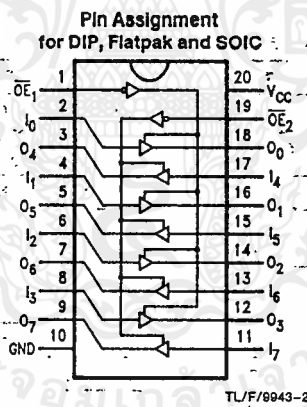
- TRI-STATE outputs drive bus lines or buffer memory address registers
- Outputs source/sink 24 mA
- 'ACT244 has TTL-compatible inputs
- Standard Military Drawing (SMD)
  - 'AC244: 5962-87552
  - 'ACT244: 5962-87760

**Ordering Code:** See Section 8

### Logic Symbol



### Connection Diagrams



### Truth Tables

Pin Names	Description
$\overline{OE}_1, \overline{OE}_2$	TRI-STATE Output Enable Inputs
$I_0-I_7$	Inputs
$O_0-O_7$	Outputs

Inputs		Outputs (Pins 12, 14, 16, 18)
$\overline{OE}_1$	$I_n$	
L	L	L
L	H	H
H	X	Z

Inputs		Outputs (Pins 3, 5, 7, 9)
$\overline{OE}_2$	$I_n$	
L	L	L
L	H	H
H	X	Z

H = HIGH Voltage Level  
L = LOW Voltage Level  
X = Immaterial  
Z = High Impedance

เอกสารนี้เป็นเอกสารที่สงวนไว้สำหรับการใช้งานเพื่อการศึกษาเท่านั้น ไม่นอนุญาตให้นำไปใช้ประโยชน์ทางการค้า  
ไม่ว่ากรณีใดๆ ทั้งสิ้น อีกทั้งห้ามมิให้ดัดแปลงเนื้อหาและต้องอ้างอิงถึงเจ้าของเอกสารทุกครั้งที่มีการนำไปใช้